

Федеральное государственное автономное
образовательное учреждение
высшего образования
«СИБИРСКИЙ ФЕДЕРАЛЬНЫЙ УНИВЕРСИТЕТ»
САЯНО-ШУШЕНСКИЙ ФИЛИАЛ

Кафедра «Гидроэнергетики, гидроэлектростанций, электроэнергетических
систем и электрических сетей»

УТВЕРЖДАЮ

Заведующий кафедрой

И.Ю. Погоняйченко

подпись

«15» 06 2018 г.

БАКАЛАВРСКАЯ РАБОТА

13.03.02- Электроэнергетика и электротехника

Проектирование Петровской ГЭС на реке Медведица. Система
АИИС КУЭ, требования, схемы, датчики, системы сбора,
обработки и представление данных, отчетов, взаимодействие с
СО ЕЭС, НП АТС

Руководитель

30.06.18г.

ст. преподаватель кафедры

подпись, дата

ГГЭЭС СИФ СФУ

должность

А. М. Волошин

инициалы, фамилия

Выпускник

13.06.18г.

подпись, дата

М. Л. Шеломенцева

инициалы, фамилия

Продолжение титульного листа БР по теме «Проектирование Петровской ГЭС на реке Медведица. Система АИИС КУЭ, требования, схемы, датчики, системы сбора, обработки и представление данных, отчетов, взаимодействие с СО ЕЭС, НПАТС».

Консультанты по разделам:

Водноэнергетические расчёты

Зад 13.05.18 Е.Ю.Зинченко
подпись, дата
инициалы, фамилия

Основное и вспомогательное
оборудование

Майкл.05.18 А.В.Макеев
подпись, дата
инициалы, фамилия

Электрическая часть

18.05.18 Н.Н.Логинов
подпись, дата
инициалы, фамилия

Устройства РЭиД

18.05.18 А.Г.Карачев
подпись, дата
инициалы, фамилия

Компоновка и сооружения
гидроузла

18.05.18 Н.П.Чебесов
подпись, дата
инициалы, фамилия

Охрана труда. Пожарная
безопасность. Охрана окружающей
среды

18.05.18 Н.Н.Логинов
подпись, дата
инициалы, фамилия

Технико-экономические показатели

18.05.18 В.В.Балашов
подпись, дата
инициалы, фамилия

Нормоконтролёр

М.Н.Кир Н.Н.Чебесов
подпись, дата
инициалы, фамилия

СОДЕРЖАНИЕ

ВВЕДЕНИЕ.....	6
СОКРАЩЕННЫЙ ПАСПОРТ ПЕТРОВСКОЙ ГЭС	7
1 Анализ исходных данных и определение внешних условий функционирования ГЭС	9
1.1 Природные условия	9
1.1.1 Географические сведения.....	9
1.1.2 Климатические условия.....	9
1.1.3 Гидрологические особенности	9
1.2 Энерго–экономическая характеристика региона.....	12
2 Водно-энергетический расчёт.....	14
2.1 Гидрологические расчёты	14
2.2 Выбор расчётных гидрографов маловодного и средневодного годов при заданной обеспеченности стока.....	15
2.2.1 Выбор расчётного маловодного года ($P=90\%$) и средневодного года ($P=50\%$)	16
2.3 Обработка данных по энергосистеме.....	18
2.3.1 Построение суточных графиков нагрузки.....	18
2.3.2 Построение годовых графиков максимальных и среднемесячных нагрузок энергосистемы.....	19
2.4 Расчёт режимов работы ГЭС без регулирования с учётом требований водохозяйственной системы	21
2.5 Водно-энергетические расчёты режима работы ГЭС в маловодном году	22
2.6 Расчет резервов и определение установленной мощности проектируемой ГЭС, расчет баланса мощностей.....	25
3 Выбор основного и вспомогательного оборудования.....	27
3.1 Выбор числа и типа агрегатов	27
3.2 Проверка работы гидротурбины при ограничении по минимальному расходу	32
3.3 Определение отметки расположения рабочего колеса гидротурбины для обеспечения ее бескавитационной работы	32
– работа одного агрегата при H_{min} на линии ограничения по турбине ..	33
3.3.1 Работа одного агрегата с расчётной мощностью при H_{max}	33
3.3.2 Работа одного агрегата с расчётной мощностью при H_p	34
3.3.3 Работа одного агрегата при H_{tip} и максимальном открытии направляющего аппарата	34
3.4 Выбор типа и габаритных размеров маслонапорной установки и колонки управления	35
3.5 Выбор типа серийного гидрогенератора	35
3.6 Определение установленной мощности ГЭС	36
4 Электрическая часть	37
4.1 Выбор номинального напряжения линий.....	37
4.2 Выбор количества линий РУ ВН и сечения проводов	38

4.3 Выбор структурной схемы электрических соединений.....	39
4.4 Выбор основного оборудования главной схемы	39
4.4.1 Выбор синхронных генераторов	39
4.4.2 Выбор повышающих трансформаторов	39
4.4.3 Выбор трансформаторов собственных нужд	41
4.5 Выбор главной схемы ГЭС	42
4.6 Расчёт токов трехфазного и однофазного короткого замыкания в главной схеме с помощью программного обеспечения RastrWin3	44
4.6.1 Расчет исходных данных.....	44
4.6.2 Внесение исходных данных в программный комплекс RastrWin3....	45
4.6.3 Расчет токов короткого замыкания на сборных шинах и генераторном напряжении в программном комплексе RastrWin3	46
4.7 Выбор электрических аппаратов	47
4.7.1 Выбор коммутационных аппаратов генератора	48
5 Релейная защита и автоматика.....	51
5.1 Перечень защит основного оборудования	51
5.2 Описание защит и расчет их уставок	52
5.2.1 Продольная дифференциальная защита генератора ($\Pi\Delta G$)	52
5.2.2 Защита от замыканий на землю обмотки статора генератора ($U_N (U_o)$)	54
5.2.3 Защита от повышения напряжения ($U1 >$), ($U2 >$)	57
5.2.4 Защита обратной последовательности от несимметричных перегрузок и внешних несимметричных коротких замыканий ($I2$)	57
5.2.5 Защита от симметричных перегрузок($I1$)	61
5.2.6 Дистанционная защита генератора $Z1 <, Z2 <$	63
5.2.6 Защита от перегрузки обмотки ротора	65
6 Компоновка гидроузла, выбор типа и расчёт основных сооружений.	68
6.1 Проектирование сооружений напорного фронта	68
6.1.1 Определение отметки гребня плотины	68
6.2 Гидравлические расчёты	71
6.2.1 Определение ширины водосливного фронта	72
6.2.2 Определение отметки гребня водослива	73
6.2.3 Построения профиля водосливной грани по координатам Кригера – Офицерова.....	75
6.2.4 Расчёт сопряжения потока в нижнем бьефе.....	76
6.2.5 Расчёт гасителей энергии	78
6.3 Конструирование плотины.....	80
6.3.1 Определение ширины подошвы плотины	80
6.3.2 Разрезка плотины швами, быки, устои	82
6.4 Фильтрационные расчёты	83
6.5 Статические расчёты плотины	84
6.5.1 Определение основных нагрузок на плотину	84
6.5.2 Сила гидростатического давления	85
6.5.3 Равнодействующая взвешивающего давления	86

6.5.4 Сила фильтрационного давления	86
6.5.1 Давление грунта	86
6.5.6 Волновое давление.....	88
6.6 Расчёт прочности плотины	89
6.6.1 Критерии прочности плотины и её основания.....	91
6.6.2 Расчёт устойчивости плотины	93
7 Охрана труда, пожарная безопасность и охрана природы.....	95
7.1 Безопасность гидротехнических сооружений.....	95
7.2 Пожарная безопасность.....	95
7.3 Охрана труда и техника безопасности.....	97
7.4 Мероприятия по охране природы	100
8 Технико-экономические показатели строительства ГЭС	101
8.1Объёмы производства электроэнергии и расходы в период эксплуатации.....	101
8.1.1 Оценка объёмов реализации электроэнергии	101
8.1.2 Текущие расходы по гидроузлу.....	101
8.1.3 Налоговые расходы.....	104
8.2 Оценка суммы прибыли от реализации электроэнергии и мощности ..	104
8.3 Оценка инвестиционного проекта (новые сценарные условия)	105
8.3.1 Методология, исходные данные.....	105
8.3.2 Коммерческая эффективность	106
8.3.3 Бюджетная эффективность	107
8.4 Анализ чувствительности	107
9 Система АИИС КУЭ, требования, схемы, датчики, системы сбора, обработки и представления данных, отчетов, взаимодействие с СО ЕЭС, НП АТС.	110
9.1 Назначение системы	110
9.2 Требования к системе	110
9.3 Выбор основных устройств системы	111
9.4 Структурная схема АИИС КУЭ Петровской ГЭС.....	116
9.5 Система АИИС КУЭ на оптовом рынке. Взаимодействие с НП АТС. ...	118
ЗАКЛЮЧЕНИЕ	120
СПИСОК ИСПОЛЬЗОВАННЫХ ИСТОЧНИКОВ	122
ПРИЛОЖЕНИЕ А – П	124

ВВЕДЕНИЕ

Наша страна обладает одним из самых мощных гидропотенциалов в мире. Энергию рек используют Китай, РФ, Бразилия, Канада, Индия, США. Гидроресурсы России оцениваются сегодня без малого в 900 млрд. кВт·ч, однако, по степени освоения экономически эффективных гидроресурсов Россия на сегодняшний день значительно уступает экономически развитым странам, этот показатель в нашей стране немногим превышает 20 %, в то время как в США и Канаде составляет 50-55%, а в ряде стран Западной Европы и Японии – от 60% до 90 %. Гидропотенциал России используется на 50 % в европейской части, на 20% в Сибири и всего лишь на 3 % - на Дальнем Востоке.

Себестоимость производства электроэнергии в кВтч на ГЭС в 7-10 раз, то есть на порядок ниже, чем на тепловых и атомных станциях. Источник энергии – текущая вода, постоянно возобновляемая, в отличие от нефти, газа, твердого топлива и ядерного горючего. В условиях медленного прогресса в создании альтернативных источников электроэнергии доля гидроэнергетики в энергетическом балансе страны со временем будет только возрастать, а уровень развития энергетики в свою очередь отражает достигнутый технико-экономический потенциал страны. Поэтому, на мой взгляд, структурным лидером в развитии электроэнергетики на ближайшие десятилетия должна стать гидроэнергетика, как наиболее развитая, экологически безопасная и инвестиционно привлекательная отрасль народного хозяйства.

Целью моего дипломного проекта является проработка основных этапов проектирования гидроэлектростанции, с применением и закреплением теоретических знаний, а также путем инженерной мысли и творческого подхода к решению конкретных задач, найти правильные проектные решения.

СОКРАЩЕННЫЙ ПАСПОРТ ПЕТРОВСКОЙ ГЭС

1. Наименование реки Медведица
2. Местонахождение ГЭС Волгоградская область
3. Тип проектируемой установки ГЭС
4. Характерные расходы воды:
 - а) среднемноголетний 595 м³/с
 - б) всех турбин 901 м³/с
 - в) максимальный с учетом трансформации паводка обеспеченностью 0,01% 3467 м³/с
 - г) минимальный 450 м³/с
5. Параметры водохранилища:
 - а) характер регулирования стока годовой
 - б) отметки: НПУ 179,0 м УМО 172,22 м
 - в) объемы: полный 10,18 км³ полезный 4,07 км³
6. Напоры ГЭС:
 - а) максимальный 27,2 м
 - б) расчетный 22,0 м
 - в) минимальный 18,5 м
7. Энергетические характеристики:
 - а) мощность:
 - установленная 171 МВт
 - гарантированная 123,5 МВт
 - б) среднемноголетняя выработка энергии 1,029 млрд.кВт·ч
 - в) число часов использования установленной мощности 6000 ч
8. Плотины:
 - а) русловая гравитационная материал бетон
 - б) правобережная гравитационная материал гравий
 - в) левобережная гравитационная материал гравий
 - г) общая длина 849,8 м
 - д) максимальная высота 42 м
9. Водосбросные сооружения
 - а) тип поверхностный водослив
 - б) число и размер пролетов 8 отверстий 12 м×5 м
 - в) общая длина 96,0 м
 - г) максимальная высота 33,0 м
10. Здание ГЭС:
 - а) тип здания руслоное число агрегатов 2
 - б) грунты в основании песчано-гравийное
 - в) тип спиральной камеры бетонная, таврового сечения с плоским потолком
 - г) тип отсасывающей трубы изогнутая
 - д) расстояние между осями агрегатов 28 м
 - е) размеры: общая длина 234,0 м ширина 50,00 м

11. Основное оборудование:

- а) тип турбины ПЛ30 – В – 850 их диаметр 8,5 м
- б) тип генератора СВ 1450/83-82 их мощность 85,5 МВт
- в) частота вращения 73,2 об/мин
- г) тип трансформаторов ТДЦ-125000/220-У1, УХЛ1 их число 2

12. Технико-экономические показатели:

- а) удельные капиталовложения 19907,1 руб/кВт
- б) себестоимость энергии 0,148 коп/кВт·ч
- в) показатели эффективности
 - NPV 8048,6 млн. руб.
 - PI 1,77
 - Срок окупаемости 6 лет 8 месяца

1 Анализ исходных данных и определение внешних условий функционирования ГЭС

1.1 Природные условия

1.1.1 Географические сведения

Медведица – река в Волгоградской области, правый приток реки Дон. Длина 745 км, ширина от 100 до 200 м. Медведица берёт начало в Саратовской области из двух ручьёв, в селе Старые Бурысы. Первый крупный населённый пункт — город Петровск. Площадь бассейна – 34,7 тыс. км².

1.1.2 Климатические условия

В районе проектируемой ГЭС климат умеренно континентальный, достаточно влажный, лето тёплое с небольшими изменениями температуры от месяца к месяцу, зима умеренно холодная и продолжительная. Средняя температура воздуха в Волгограде, по данным многолетних наблюдений, составляет +8,2 °C. Самый холодный месяц в городе — февраль со средней температурой −6,6 °C. Самый тёплый месяц — июль, его среднесуточная температура +23,6 °C. Самая высокая температура, отмеченная в Волгограде за весь период наблюдений, +42,6 °C (1940 год), а самая низкая −33 °C (1940 год). Среднее количество осадков: 406 мм.

1.1.3 Гидрологические особенности

Основные расходы воды в проектируемом створе:

- Среднемноголетний - 595 м³/с;
- расчётный расход паводка обеспеченностью 0,01% - 3467 м³/с и 0,1% - 2879 м³/с;
- отметка НПУ 179,0 м.

Кривая зависимости объёмов Петровского водохранилища от уровня верхнего бьефа представлены в таблице 1.1 и на рисунке 1.1.

Таблица 1.1 - Координаты кривой объемов Петровской водохранилища

Q , м ³ /с	$Z_{НБ}$, м
0	146
0,83	154,1
1,66	159,1
2,49	162,7
3,32	165,6
4,15	168,0
4,98	170,1
5,81	171,9

Продолжение таблицы 1.1

$Q, \text{м}^3/\text{с}$	$Z_{\text{нб}}, \text{м}$
6,64	173,5
7,47	175,0
8,3	176,3
9,13	177,6
9,96	178,7
10,79	179,8

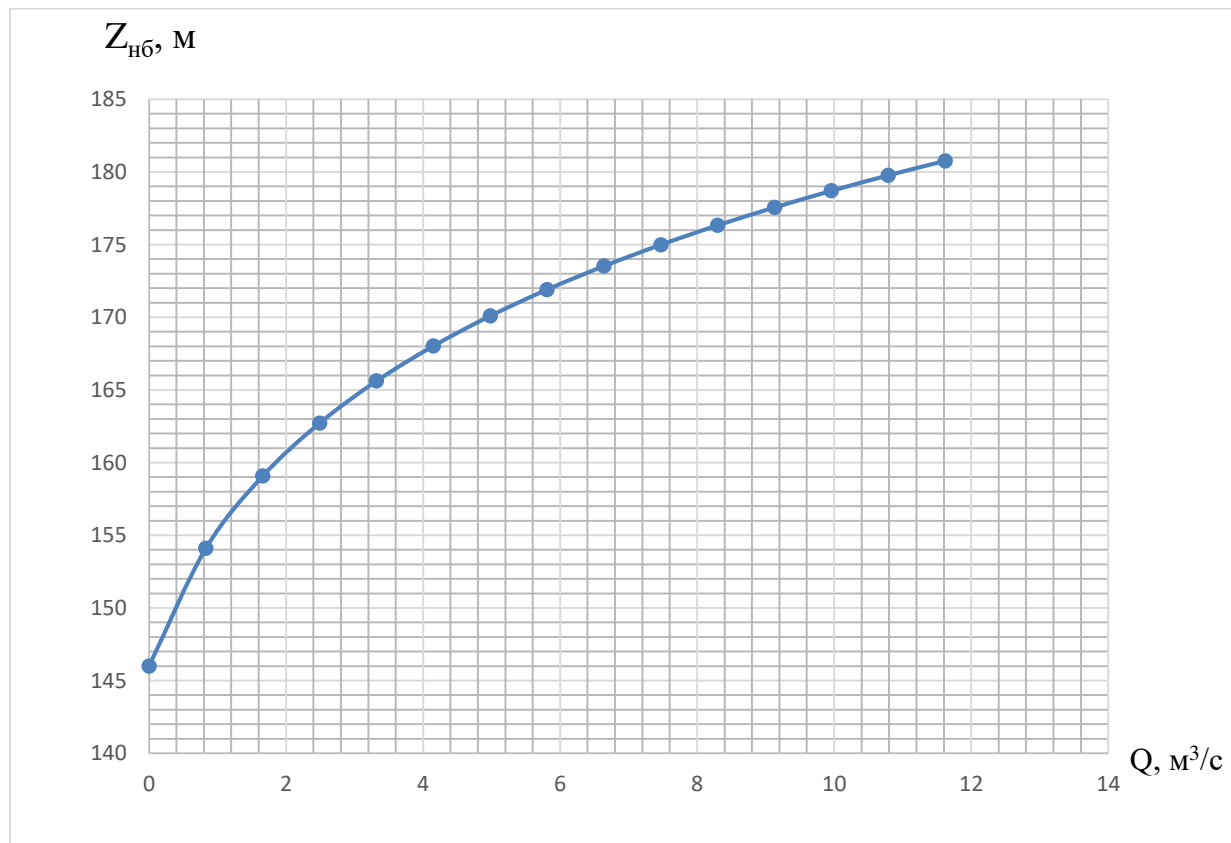


Рисунок 1.1 – Кривая зависимости объёмов водохранилища от уровня верхнего бьефа

Кривая связи расходов и уровней в нижнем бьефе ГЭС приведена в таблице 1.2 и на рисунке 1.2.

Таблица 1.2 – Кривая связи расходов и уровней в нижнем бьефе ГЭС

$Z_{\text{нб}}, \text{м}$	$Q_{\text{лето}}, \text{м}^3/\text{с}$	$Q_{\text{зима}}, \text{м}^3/\text{с}$
146	0	0
148,7	178	151,3
150,4	356	302,6
151,6	534	453,9
152,6	712	605,2
153,4	890	756,5
154,0	1068	907,8

Продолжение таблицы 1.2

$Z_{\text{НБ}}, \text{м}$	$Q_{\text{лето}}, \text{м}^3/\text{с}$	$Q_{\text{зима}}, \text{м}^3/\text{с}$
154,6	1246	1059,1
155,2	1424	1210,4
155,6	1602	1361,7
156,1	1780	1513
156,5	1958	1664,3
156,8	2136	1815,6
157,2	2314	1966,9
157,5	2492	2118,2

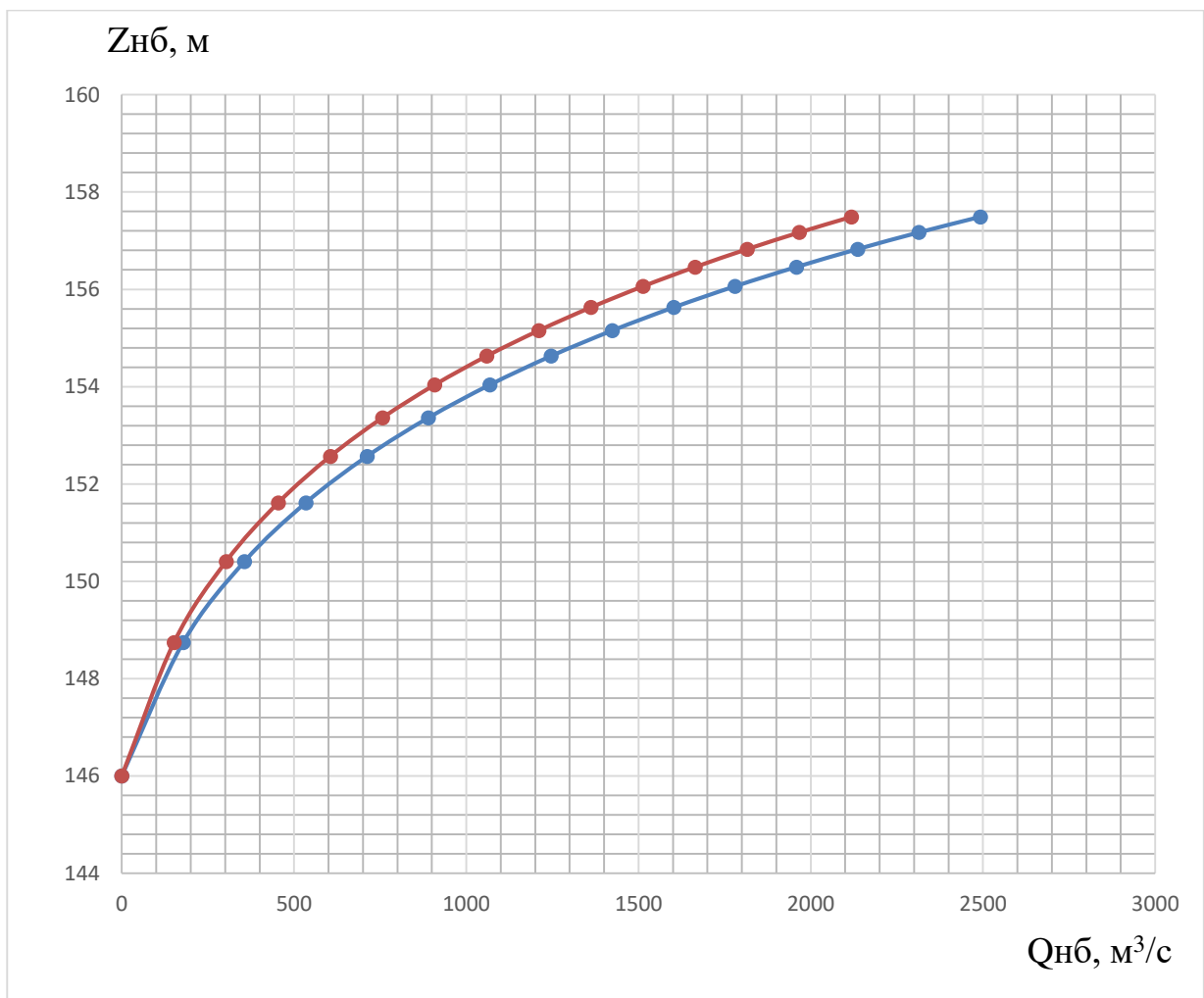


Рисунок 1.2 – Кривая связи расходов и уровней в нижнем бьефе

Зимний коэффициент кривой связи расходов и уровней в нижнем бьефе: 0,81. Требования участников ВХК и потери воды приведены в таблице 1.3.

Таблица 1.3 – Требования участников ВХК и потери воды

Q , м ³ /с	Месяц											
	I	II	III	IV	V	VI	VII	VIII	IX	X	XI	XII
ВХК	450	450	450	450	450	450	450	450	450	450	450	450
Потребление	1	1	1	1	1	1	1	1	1	1	1	1
Фильтрация	1	1	1	1	1	1	1	1	1	1	1	1
Испарение	0	0	1	2	2	3	3	3	2	1	0	0
Льдообразование	-5	0	1	2	2	1	1	1	1	0	0	-4

Расчетный гидрологический ряд наблюдений среднемесячных расходов воды (м³/с) р. Медведица в створе Петровской ГЭС с 1927 по 2013 гг. представлен в приложении А.

1.2 Энерго–экономическая характеристика региона

Проектируемая Петровская ГЭС относится к энергосистеме Юга, филиал АО «СО ЕЭС Приморское РДУ».

В управлении и ведении Филиала АО «СО ЕЭС» Волгоградское РДУ находятся объекты генерации установленной электрической мощностью 4016,55 МВт. Наиболее крупными из них являются: Волжская ГЭС (2671 МВт) – ПАО «РусГидро»; Волгоградская ТЭЦ-2 и Волгоградская ТЭЦ-3, Волжская ТЭЦ и Волжская ТЭЦ-2 – ООО «ЛУКОЙЛ-Волгоградэнерго».

В электроэнергетический комплекс Волгоградской области входят также 378 линий электропередачи класса напряжения 110-500 кВ, общей протяженностью 11658,344 км, 354 трансформаторных подстанций и распределительных устройств электростанций напряжением 110-500 кВ, с суммарной мощностью трансформаторов 21485,66 МВА.

Проектирование Петровской ГЭС способствует частичному покрытию полупиковых нагрузок энергосистемы.

Особенности ЕЭС ОДУ Юга:

- годовой максимум нагрузки 8036 МВт;
- число часов использования установленной мощности 6000 ч;
- установленная мощность существующих ГЭС 5462,7 МВт;
- резервы энергосистемы: нагрузочный – 1,5 %; аварийный – 7 %.

Суточные графики нагрузки Приморского РДУ представлены в таблице 1.4.

Таблица 1.4 – Суточные графики нагрузки Приморского РДУ за лето и зиму

Лето		Зима	
Время Мск.	Мощность генерации, МВт	Время Мск.	Мощность генерации, МВт
0:00	9980	0:00	10387
1:00	9279	1:00	10045
2:00	9194	2:00	9801
3:00	8830	3:00	9878

Продолжение таблицы 1.4

Лето		Зима	
Время Мск.	Мощность генерации, МВт	Время Мск.	Мощность генерации, МВт
4:00	8747	4:00	9995
5:00	9318	5:00	10088
6:00	9962	6:00	10419
7:00	10375	7:00	11160
8:00	11339	8:00	11806
9:00	11880	9:00	12204
10:00	12166	10:00	12197
11:00	11961	11:00	12146
12:00	12102	12:00	12270
13:00	12187	13:00	12308
14:00	12027	14:00	12738
15:00	11855	15:00	13049
16:00	11738	16:00	14218
17:00	11685	17:00	14965
18:00	11648	18:00	14435
19:00	11750	19:00	14320
20:00	12547	20:00	13938
21:00	12538	21:00	13437
22:00	11106	22:00	12671
23:00	10562	23:00	11701

2 Водно-энергетический расчёт

2.1 Гидрологические расчёты

Рассчитаем коэффициент зарегулированности стока

$$\beta = \frac{V_{\text{полезный}}}{\bar{W}}, \quad (2.1)$$

где $V_{\text{полезный}}$ – полезный объём водохранилища;
 \bar{W} - среднемноголетний сток в заданном створе.

Для вычисления полезного объёма водохранилища, зададим приблизительное значение уровня мёртвого объёма (УМО) водохранилища. На начальном этапе принимаем, что УМО соответствует снижению УВБ на 20%, т.е.

$$H = \nabla \text{НПУ} - \nabla \text{ДНО} = 179,0 - 146,0 = 33 \text{ м}, \quad (2.2)$$

$$\Delta H = 20\%H = 0,2 \cdot 33 = 6,6 \text{ м}, \quad (2.3)$$

$$\nabla \text{УМО} = \nabla \text{УВБ} - \Delta H = 179 - 6,6 = 172,7 \text{ м}. \quad (2.4)$$

Тогда полезный объём:

$$V_{\text{полезный}} = V_{\text{НПУ}} - V_{\text{УМО}} = 10,19 - 6,12 = 4,07 \text{ км}^3, \quad (2.5)$$

где $V_{\text{НПУ}}$ – объём водохранилища при НПУ;
 $V_{\text{УМО}}$ – объём водохранилища при УМО. Определены по кривой связи объёма водохранилища и уровней верхнего бьефа (рисунок 1.1).

Определим среднемноголетний сток

$$\bar{W} = 593 \cdot 365 \cdot 24 \cdot 3600 \cdot 10^{-9} = 18,7 \text{ км}^3.$$

Коэффициент зарегулированности стока равен

$$\beta = \frac{4,07}{18,7} = 0,22,$$

что соответствует годовому регулированию стока реки ($\beta < 0,3$).

2.2 Выбор расчётных гидрографов маловодного и средневодного годов при заданной обеспеченности стока

Необходимо разделить год на два основных периода: многоводный (половодье) и маловодный (межень). Для всех лет заданного ряда принимаем одинаковые месяцы, относящиеся к периоду межени и половодья (к периоду половодья относятся VI, VII, VIII, IX месяцы; к периоду межени относятся X, XI, XII, I, II, III, IV, V месяцы). Начало года считаем с первого месяца половодья.

Определив границы сезонов, вычисляем для всех лет ряда средние расходы за год, лимитирующий сезон и период половодья. Выстраиваем каждую последовательность в порядке убывания. По полученным результатам строятся эмпирические кривые обеспеченности.

$$P = \frac{m}{n+1} \cdot 100\%, \quad (2.6)$$

где m - порядковый номер члена ряда расходов, ранжированного в убывающем порядке;

n – общее число членов ряда, в нашем случае $n = 86$.

Результаты расчётов представлены в ПРИЛОЖЕНИИ Б.

Эмпирические кривые обеспеченности для средних расходов за год, половодье и межень представлены на рисунке 2.1.

Расчётные значения обеспеченности для выбора маловодного и средневодного года принимаем равными 90% и 50% соответственно.

При заданной расчетной обеспеченности по кривой среднегодовых расходов определим соответствующий расчетный год и гидрограф. Проверим выполнение критерия одинаковой обеспеченности выбранного расчетного года по трем кривым, т.е. на трех кривых должен фигурировать один и тот же год. В противном случае необходимо выполнить приведение расчетного года к заданной обеспеченности посредством коэффициента приведения (корректировки).

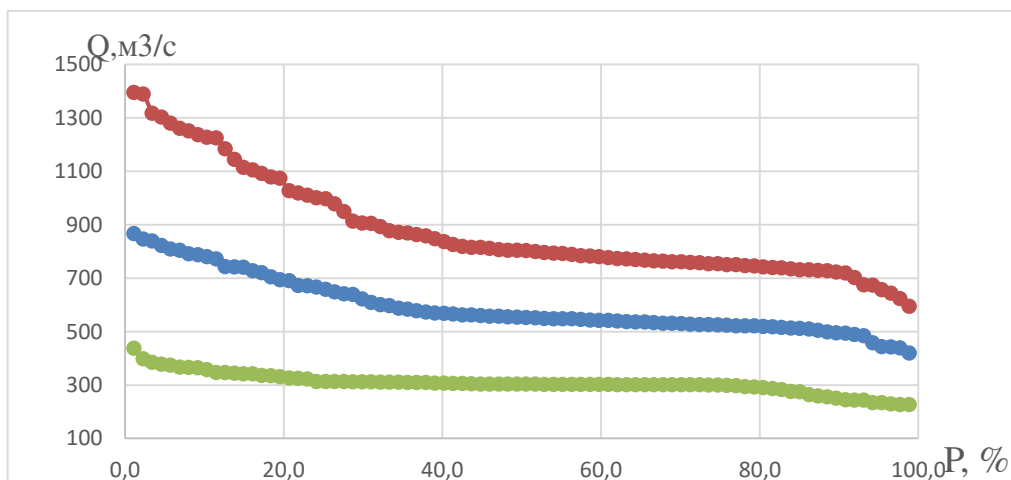


Рисунок 2.1 – Эмпирические кривые обеспеченности

2.2.1 Выбор расчётного маловодного года (Р=90%) и средневодного года (Р=50%)

По расчетным обеспеченностям определяются маловодный и средневодный год.

За маловодный принимается год со среднегодовой обеспеченностью 90%, т.е. в данном случае принимаем 1983-1984 гг. с расходом $Q = 180 \text{ м}^3/\text{с}$

Для 1983-1984 гг. коэффициент приведения

$$\alpha_{\text{п}} = \frac{Q_{\text{п}1927-1928}}{Q_{\text{п}1983-1984}} = \frac{719}{731} = 0,98;$$

$$\alpha_{\text{м}} = \frac{Q_{\text{м}1991-1992}}{Q_{\text{м}1983-1984}} = \frac{244}{255} = 0,95.$$

Для заданной расчетной обеспеченности на кривых обеспеченности отсутствует конкретный базисный год. По кривой обеспеченности годовых расходов определяем ближайшие годы справа и слева от расчетной обеспеченности 50% 1949-1950 гг.. Вычисляем коэффициенты приведения по межени и половодью.

1949-1950 гг.:

$$\alpha_{\text{п}} = \frac{Q_{\text{п}1961-1962}}{Q_{\text{п}1957-1958}} = \frac{804}{804} = 1,0;$$

$$\alpha_{\text{м}} = \frac{Q_{\text{м}1947-1948}}{Q_{\text{м}1949-1950}} = \frac{303}{303} = 1,0.$$

Выбрав окончательно расчётные гидрографы средневодного и маловодного годов, необходимо уточнить годовой сток, умножив среднемесячные расходы на вычисленные выше коэффициенты. Скорректированные расходы внутри сезонов представлены в таблице 2.1-2.3.

Таблица 2.1 – Расчётный гидрограф маловодного года без приведения и с приведением

Q	Месяц											
	Межень			Половодье						Межень		
	I	II	III	IV	V	VI	VII	VIII	IX	X	XI	XII
$Q_i^{90\%}, \text{ м}^3/\text{с}$	313	227	462	604	650	778	984	520	851	198	168	165
$Q_{\text{пр}}^{90\%}, \text{ м}^3/\text{с}$	299	216	441	594	640	765	968	511	837	189	160	158

Таблица 2.2 – Расчётный гидрограф средневодного года без приведения и с приведением

Q	Месяц											
	Межень			Половодье						Межень		
	I	II	III	IV	V	VI	VII	VIII	IX	X	XI	XII
$Q_i^{50\%}$, м ³ /с	272	256	353	624	747	804	968	887	788	384	306	247
$Q_{\text{пр}}^{50\%}$, м ³ /с	272	256	353	624	748	805	969	888	788	384	306	247

Таблица 2.3 – Расчётный гидрограф средневодного года без корректировки и с корректировкой

Q	Месяц											
	Межень			Половодье						Межень		
	I	II	III	IV	V	VI	VII	VIII	IX	X	XI	XII
$Q_{\text{пр}}^{50\%}$, м ³ /с	272	256	353	624	748	805	969	888	788	384	306	247
$Q_{\text{кор}}^{50\%}$, м ³ /с	322	306	453	624	698	800	974	868	858	284	247	206

График маловодного и среднего по водности годов представлен на рисунке 2.2.

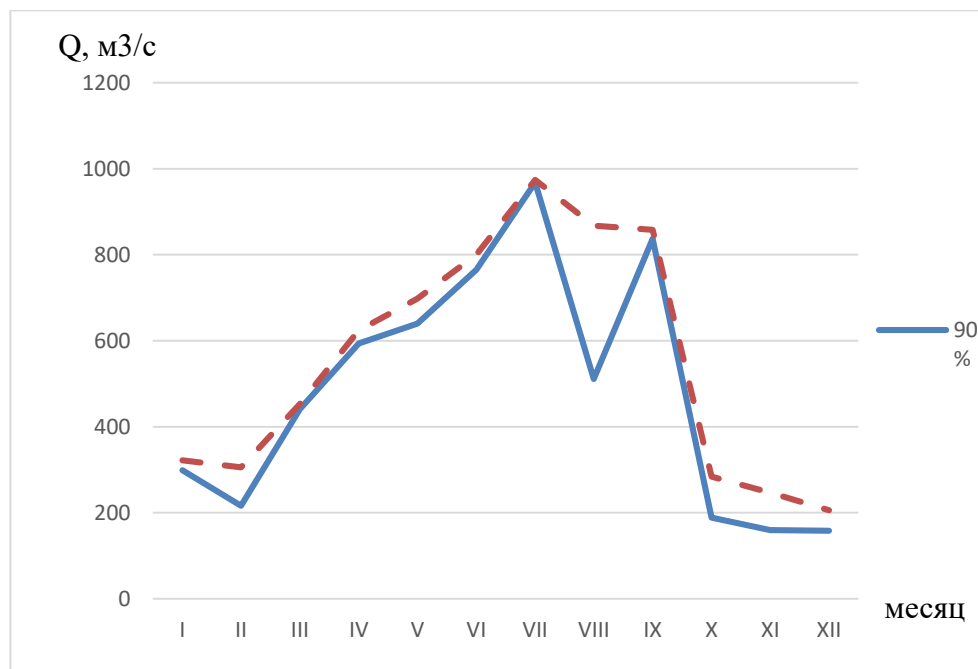


Рисунок 2.2 – График маловодного и среднего по водности годов.

2.3 Обработка данных по энергосистеме

2.3.1 Построение суточных графиков нагрузки

Рассмотрим суточные графики нагрузки для двух периодов Приморского РДУ: летнего и зимнего. Расчёты координат ИКН представлены в таблице 2.4 и 2.5.

Таблица 2.4 – Суточный график нагрузки энергосистемы для летнего периода

P, МВт	Δt	ΔP , МВт	$\Delta \mathcal{E}$, МВт*ч	Координаты P, МВт	Координаты Э, МВт
12547	1	0	0	0	0
12538	2	9	9	9	9
12187	3	360	711	369	720
12166	4	381	774	750	1494
12102	5	445	1030	1195	2524
12027	6	520	1405	1715	3929
11961	7	586	1801	2301	5730
11880	8	667	2368	2968	8098
11855	9	692	2568	3660	10666
11750	10	797	3513	4457	14179
11738	11	809	3633	5266	17812
11685	12	862	4216	6128	22028
11648	13	899	4660	7027	26688
11339	14	1208	8677	8235	35365
11106	15	1441	11939	9676	47304
10562	16	1985	20099	11661	67403
10375	17	2172	23091	13833	90494
9980	18	2567	29806	16400	120300
9962	19	2585	41722	18985	162022
9318	20	3229	42366	22214	204388
9279	21	3268	43146	25482	247534
9194	22	3353	44931	28835	292465
8830	23	3717	52939	32552	345404
8747	24	3800	54848	36352	400252

Таблица 2.5 – Суточный график нагрузки энергосистемы для зимнего периода

P, МВт	Δt	ΔP , МВт	$\Delta \mathcal{E}$, МВт*ч	Координаты P, МВт	Координаты Э, МВт
14965	1	0	0	0	0
14435	2	530	530	530	530
14320	3	645	760	1175	1290
14218	4	747	1066	1922	2356
13938	5	1027	2186	2949	4542
13437	6	1528	4691	4477	9233
13049	7	1916	7019	6393	16252
12738	8	0	2	68	222
12671	9	21	186	89	409

Продолжение таблицы 2.5

P, МВт	Δt	ΔP , МВт	$\Delta \mathcal{E}$, МВт*ч	Координаты P, МВт	Координаты Э, МВт
12308	10	2657	12999	13571	48179
12270	11	2695	13379	16266	61558
12204	12	2761	14105	19027	75663
12197	13	2768	14189	21795	89852
12146	14	2819	14852	24614	104704
11806	15	3159	19612	27773	124316
11701	16	3264	21187	31037	145503
11160	17	3805	29843	34842	175346
10419	18	4546	42440	39388	217786
10387	19	4578	43016	43966	260802
10088	20	4877	49514	48843	310316
10045	21	4920	49557	53763	359873
9995	22	4970	50607	58733	410480
9878	23	5087	53181	63820	463661
9801	24	5164	54952	68984	518613

Строим суточные графики нагрузки и их интегральные кривые представлены в приложении В.

2.3.2 Построение годовых графиков максимальных и среднемесячных нагрузок энергосистемы

Максимальная нагрузка энергосистемы для рабочего дня каждого месяца без учета годового прироста нагрузки находится следующим образом:

$$P_t^{max} = a + b \cdot \cos\left(|30^\circ t - 15^\circ| \cdot \frac{\pi}{180^\circ}\right), \quad (2.7)$$

где t – порядковый номер месяца в году;

a, b – коэффициенты, которые определяются по формулам [1]:

$$a = \frac{P_c^{max} + P_\lambda^{max}}{2} = \frac{14965 + 12547}{2} = 13756 \text{ МВт}, \quad (2.8)$$

$$b = \frac{P_c^{max} - P_\lambda^{max}}{2} = \frac{14965 - 12547}{2} = 1209 \text{ МВт}, \quad (2.9)$$

где $P_c^{max}, P_\lambda^{max}$ – максимальные значения нагрузки лета и зимы.

Среднемесячная нагрузка энергосистемы

$$P_t^{cp} = a + b \cdot \cos\left(|30^\circ t - 15^\circ| \cdot \frac{\pi}{180^\circ}\right), \quad (2.10)$$

где t – порядковый номер месяца в году;
 a, b – коэффициенты, которые определяются по формулам [1]:

Результаты расчёта максимальной и среднемесячной нагрузки энергосистемы представлены в таблице 2.6 и на рисунке 2.3.

Таблица 2.6 – Максимальная и среднемесячная нагрузка энергосистемы

Месяц	P^{max}	\bar{P}_{cp}
I	14924	12073
II	14611	11936
III	14070	11699
IV	13444	11425
V	12902	11188
VI	12589	11051
VII	12588	11050
VIII	12899	11187
IX	13440	11423
X	14066	11697
XI	14609	11935
XII	14923	12072

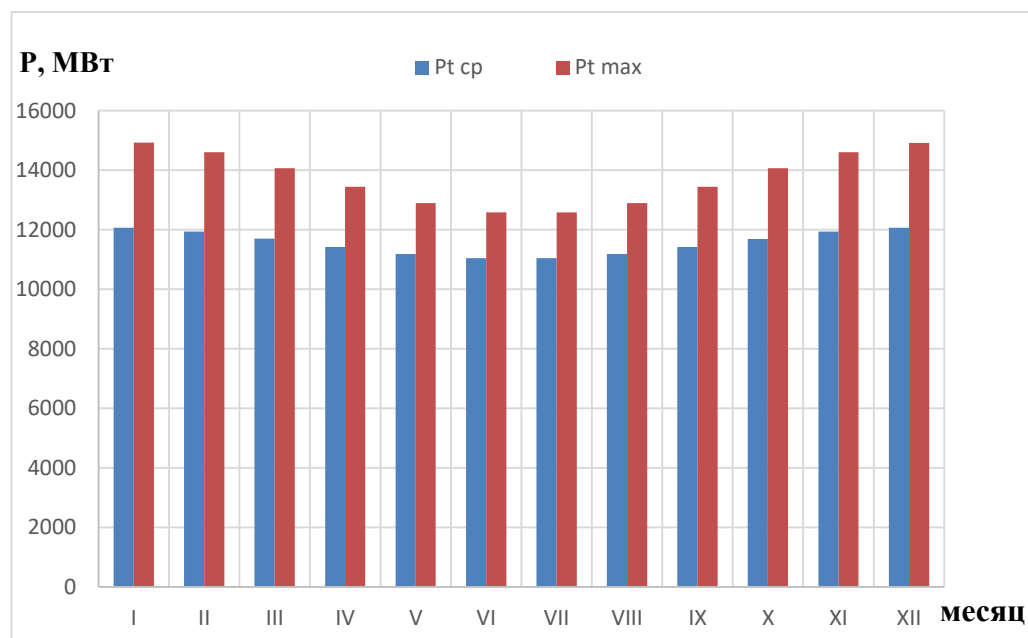


Рисунок 2.3 – Годовой график максимальной и среднемесячной нагрузки энергосистемы

2.4 Расчёт режимов работы ГЭС без регулирования с учётом требований водохозяйственной системы

В процессе перераспределения стока, в зависимости от того, какой объем воды удастся аккумулировать в водохранилище, определим, в том числе, гарантированную энергоотдачу для января, декабря.

Определение гарантированной энергоотдачи по условиям маловодного года проводится поэтапно. Сначала на графике среднемесячных мощностей обозначается зона работы существующей в энергосистеме ГЭС. Ниже вписываются два режима работы проектируемой ГЭС:

- 1) работа ГЭС на бытовом стоке при УВБ равном НПУ;
- 2) работа ГЭС исключительно по требованиям ВХК.

Для выбранного расчётного маловодного года и принятой обеспеченности вычисляются мощности на бытовом стоке для каждого месяца

$$N_{ГЭС} = k_N \cdot Q_{\text{пол}} \cdot H_{ГЭС}^{\text{подв}}, \quad (2.11)$$

где $k_N = 8,6$ - коэффициент мощности;

$Q_i^{\text{пр90%}}$ - бытовой расход расчетного маловодного года;

$H_{ГЭС}^{\text{подв}}$ - подведенный напор ГЭС.

Подведённый напор определяется, как

$$H_{ГЭС}^{\text{подв}} = Z_{\text{ВБ}} - Z_{\text{НБ}}(Q_{\text{НБ}}(t)) - \Delta h, \quad (2.12)$$

где $Z_{\text{ВБ}}$ - отметка верхнего бьефа, соответствующая отметке НПУ = 118,0 м;

$Z_{\text{НБ}}(Q_{\text{НБ}}(t))$ – уровень нижнего бьефа, соответствующий среднемесячным бытовым расходам воды, определенным по летней или зимней кривым связи;

$\Delta h = 0,6$ м – потери напора в водоподводящем тракте.

Мощность ГЭС в режиме работы по требованиям ВХК

$$N_{\text{ВХК}} = k_N \cdot Q_{\text{ВХК}} \cdot H_{ГЭС}^{\text{подв}}, \quad (2.13)$$

где $k_N, H_{ГЭС}^{\text{подв}}$ – то же, что и в формуле (2.12);

$Q_{\text{ВХК}}$ - расход воды по требованиям участников ВХК.

Результаты расчетов приведены в ПРИЛОЖЕНИИ Г

В зимнее время $N_{\text{ВХК}} > N_{\text{быт}}$, поэтому, необходимо увеличить зимнюю энергоотдачу сверх бытовой, что может быть достигнуто за счет сработки водохранилища. Избыток бытовой мощности распределяем на зимний период.

В данном случае этих излишков хватило на выдачу гарантированной мощности в четырех месяцах. В месяцы, не попавшие под регулирование, работаем по мощности ВХК..

Данный расчёт выполняется с целью определения месяцев, в которые ГЭС будет работать на расходах, превышающих требования ВХК.

На рисунке 2.4 представлен баланс энергии с линией гарантированной мощности. На данном рисунке можно наглядно увидеть излишки бытовой мощности в половодный период, которые переносятся на зиму и вытесняют тепловые мощности системы.

Вытесняются не рабочие мощности а средние, эквивалентные выработке электроэнергии.

По результатам расчёта мы определили приблизительно какой мощностью мы располагаем в течении года.

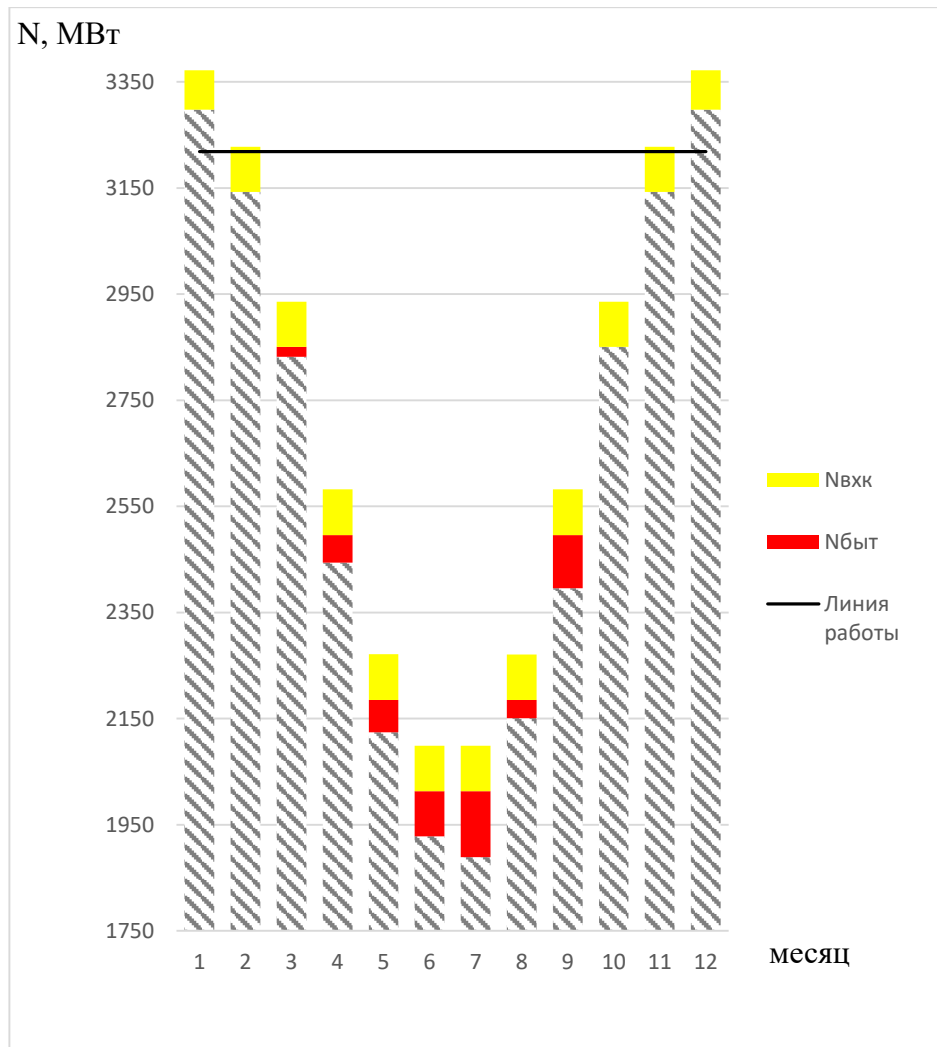


Рисунок 2.4 –Баланс энергии

2.5 Водно-энергетические расчёты режима работы ГЭС в маловодном году

В водно–энергетическом расчете определяется режим сработки ГЭС по активной мощности. Сработка водохранилища начинается с октября, когда мы вынуждены использовать воду из водохранилища на покрытие требований ВХК. Сработка водохранилища производится от отметки НПУ. Методом последовательных итераций определяется отметка ВБ в конце месячного

интервала, при которой использованной из водохранилища воды будет достаточно для выработки заданной мощности. Конечная отметка ВБ текущего месяца является начальной для расчета режима следующего месяца. После расчета полного годового цикла сработки – наполнения водохранилища отметка водохранилища должна соответствовать НПУ (118,0м). Если после завершения полного цикла отметка НПУ не достигнута, либо превышена, необходимо произвести корректировку.

Полезный бытовой приток

$$Q_{\text{пол}} = Q_{\text{быт}} - Q_{\Phi} - Q_{\text{исп}} - Q_{\text{л}}, \quad (2.14)$$

где $Q_{\text{быт}}$ – бытовой расход реки;
 Q_{Φ} – потери расхода на фильтрацию;
 $Q_{\text{исп}}$ – потери расхода на испарение;
 $Q_{\text{л}}$ – потери на ледообразование.
Расход воды в нижний бьеф

$$Q_{\text{НБ}} = Q_{\text{ГЭС}} + Q_{\Phi}, \quad (2.15)$$

где $Q_{\text{ГЭС}}$ – расход через гидроагрегаты.
Приращение объема водохранилища

$$\pm \Delta V_{\text{в}} = \pm Q_{\text{вдх}} \cdot \Delta t, \quad (2.16)$$

где Δt - число секунд в месяце;
 $Q_{\text{вдх}}$ - расход воды из водохранилища.
Расход воды через ГЭС

$$Q_{\text{ГЭС}} = Q_{\text{пол}} + Q_{\text{вдх}}. \quad (2.17)$$

Уровень воды в водохранилище, соответствующий объему ВБ, определяется по кривой связи объемов и уровней в ВБ $Z_{\text{ВБ}} = Z_{\text{ВБ}}(V_{\text{ВБ}})$. Средний уровень ВБ

$$Z_{\text{ВБср}} = \frac{(Z_{\text{ВБ}}^{\text{Н}} + Z_{\text{ВБ}}^{\text{К}})}{2}. \quad (2.18)$$

Уровень нижнего бьефа, соответствующий расходу в нижний бьеф гидроузла, определяется по кривой связи расходов и уровней в НБ $Z_{\text{НБ}} = Z_{\text{НБ}}(Q_{\text{НБ}})$.

Напор ГЭС

$$H_{\text{ГЭС}} = Z_{\text{ВБ}} - Z_{\text{НБ}} - \Delta h, \quad (2.19)$$

где Δh - потери напора в подводящих сооружениях, $\Delta h = 0,6$ м.
Среднемесячная мощность ГЭС

$$N_{\text{ГЭС}} = k_N \cdot Q_{\text{ГЭС}} \cdot H_{\text{ГЭС}}, \quad (2.20)$$

где k_N - коэффициент мощности, $k_N = 8,8$.

Результат водно-энергетического расчёта проектируемой ГЭС в маловодном и средневодном году приведён в ПРИЛОЖЕНИИ Д, график сработки-наполнения представлен на рис. 2.5.

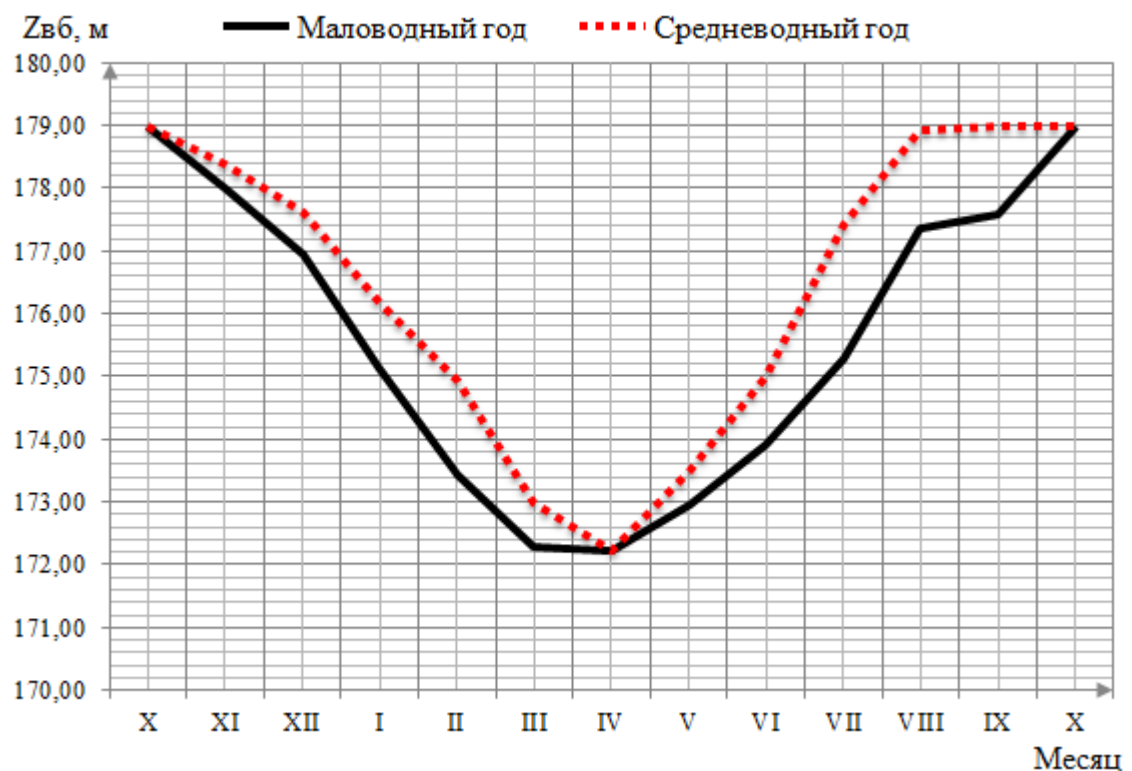


Рисунок 2.5 – График сработки и наполнения водохранилища проектируемой ГЭС в средневодном и маловодном году

Определяем рабочую мощность ГЭС в энергосистеме по условию максимального вытеснения тепловых мощностей. В ИКН января (декабря, что одно и то же для принятой нами энергосистемы) вписываются треугольники, характеризующие работу проектируемой ГЭС.

Гарантированная мощность проектируемой ГЭС берём равной мощности декабря (января), а так же необходима мощность ВХК этого же месяца.

$$N_{\text{Гар}}^{\text{ГЭС}} = 123,5 \text{ МВт} \text{ и } N_{\text{ВХК}}^{\text{ГЭС}} = 106 \text{ МВт.}$$

Выработка энергии

$$\mathcal{E}_{\text{ГЭС}}^{\text{ГЭС}} = N_{\text{ГЭС}}^{\text{ГЭС}} \cdot 24 = 123,5 \cdot 24 = 2964 \text{ МВт} \cdot \text{ч.} \quad (2.21)$$

Треугольник, характеризующий работу ГЭС в базовой зоне суточного графика нагрузки, соответствует работе по мощности ВХК, тогда выработка в базовой зоне составит

$$\mathcal{E}_{\text{Баз}}^{\text{ГЭС}} = N_{\text{ВХК}}^{\text{ГЭС}} \cdot 24 = 106 \cdot 24 = 2544 \text{ МВт} \cdot \text{ч.} \quad (2.22)$$

Оставшейся мощностью разместимся в полуниковой зоне суточного графика нагрузки

$$\mathcal{E}_{\text{пик}}^{\text{ГЭС}} = \mathcal{E}_{\text{ГЭС}}^{\text{ГЭС}} - \mathcal{E}_{\text{Баз}}^{\text{ГЭС}} = 2964 - 2544 = 420 \text{ МВт} \cdot \text{ч.} \quad (2.23)$$

Рабочая мощность в пиковой зоне, с учетом 14 часовой работы, составит

$$N_{\text{пик}}^{\text{ГЭС}} = \frac{\mathcal{E}_{\text{пик}}^{\text{ГЭС}}}{14} = \frac{420}{14} = 30 \text{ МВт.} \quad (2.24)$$

Рабочая (вытесняющая) мощность проектируемой ГЭС в зимний период составит

$$N_{\text{выт.раб.}}^{\text{ГЭС}} = N_{\text{пик}}^{\text{ГЭС}} + N_{\text{ВХК}}^{\text{ГЭС}} = 30 + 106 = 136 \text{ МВт.} \quad (2.25)$$

что не превышает гарантированную мощность более, чем в 2 раза.

2.6 Расчет резервов и определение установленной мощности проектируемой ГЭС, расчет баланса мощностей

Установленная мощность проектируемой ГЭС определяется как сумма ее максимальной рабочей мощности и резерва, отнесенного на эту станцию

$$N_{\text{уст}}^{\text{пр ГЭС}} = N_{\text{раб}} + N_{\text{рез}}, \quad (2.26)$$

где $N_{\text{раб}}$ – вытесняющая рабочая мощность;

$N_{\text{рез}}$ – мощность нагрузочного резерва, которая составляет.

Ремонт оборудования ГЭС осуществляется в те месяцы, когда оно не полностью используется в энергосистеме. При этом продолжительность ремонта агрегатов ГЭС принимается равной 30 дням, а частота их проведения 1 раз в 4 года.

Ремонтная площадь проектируемой ГЭС

$$F_{\text{рем}}^{\text{пр.ГЭС}} = \frac{1 \cdot N_{\text{уст}}^{\text{пр.ГЭС}}}{4} \cdot 1 = \frac{171}{4} = 42,75 \text{ МВт} \frac{\text{мес.}}{\text{год}}. \quad (2.27)$$

Капитальный ремонт оборудования ТЭС можно планировать, исходя из расчета останова каждого агрегата на период ремонта в среднем 1 раз в 2 года. Предусмотрены следующие нормы простоя оборудования: ТЭС с поперечными связями – 15 дней; блочные ТЭС – 30 дней.

$$F_{\text{рем}}^{T\mathcal{E}C} = \frac{N_{\text{уст}}^{T\mathcal{E}C}}{2} \cdot \frac{1}{2} + \frac{N_{\text{уст}}^{T\mathcal{E}C}}{2} \cdot 1 = \frac{7039}{4} + \frac{7039}{2} = 5279,25 \text{ МВт} \frac{\text{мес.}}{\text{год}}. \quad (2.28)$$

Результаты расчетов баланса мощности энергосистемы в маловодном году приведены в ПРИЛОЖЕНИИ Е.

Баланс мощности энергосистемы в маловодном году показан на рисунке 2.6.

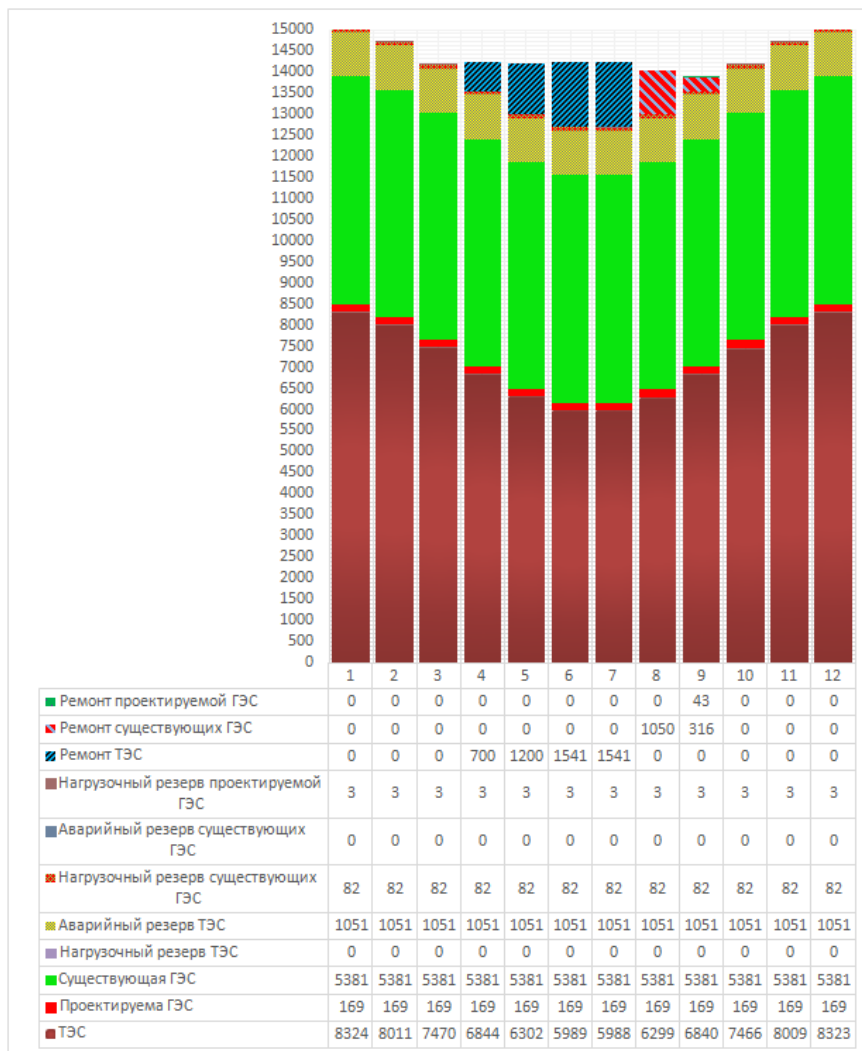


Рисунок 2.6 - Баланс мощности энергосистемы в маловодном году

3 Выбор основного и вспомогательного оборудования

3.1 Выбор числа и типа агрегатов

Выбор оборудования начинается с построения режимного поля или напорных характеристик станции. Эти характеристики строятся в осях $Z_{\text{вб}}$ и $Q_{\text{ГЭС}}$.

Рабочее поле – это пространство, ограниченное линиями H ($Z_{\text{нпп}}, Q_{\text{ГЭС}}$) и H ($Z_{\text{умо}}, Q_{\text{ГЭС}}$). Слева наносится ограничение по минимальному расходу (в данном случае – это санитарный попуск, равный $Q_{\text{сан.поп.}} = 450 \text{ м}^3/\text{с}$), справа – ограничения по турбине и генератору. Максимальная мощность должна выдаваться станцией при расчётном напоре и всех напорах, выше расчетного. Линия расчётного напора строится от отметки водохранилища, характерной для середины января.

Построение этих характеристик выполняется по следующему уравнению

$$H_{\text{ГЭС}}(Q_{\text{ГЭС}}) = Z_{\text{вб}}(V_{\text{сраб}}) - Z_{\text{нб}}(Q_{\text{нб}}) - \Delta h, \quad (3.1)$$

где $Z_{\text{вб}}(V_{\text{сраб}})$ – отметка уровня воды в водохранилище, которая изменяется в зависимости от объема сработки $V_{\text{сраб}}$ от НПУ до УМО .

$Z_{\text{нб}}(Q_{\text{нб}})$ – отметка нижнего бьефа, определяемая по кривой связи расходов и отметок в НБ;

Δh – потери напора в подводящих сооружениях.

Ограничением слева на режимном поле является минимальный расход воды, определяемый заданным ограничением по условиям функционирования водохозяйственного комплекса - $Q_{\text{ГЭС}}^{\min} = 450 \text{ м}^3/\text{с}$, или минимальная мощность, определяемая особенностями режимов ГЭС в графиках нагрузки.

Определение ограничения работы турбин:

- ограничение по расчетной установленной мощности, определяемое уравнением

$$N_{\text{уст.расч}} = k_N \cdot H_{\text{ГЭС}} \cdot Q_{\text{ГЭС}}, \quad (3.2)$$

где k_N – коэффициент мощности.

- ограничение по пропускной способности ГЭС, которую до выбора турбинного оборудования строим по зависимости

$$Q_{\text{ГЭС}} = \frac{Q_{\text{ГЭС}}^{\max}}{\sqrt{H_{\text{расч}}^N}}, \quad (3.3)$$

где $Q_{\text{ГЭС}}^{\max}$ – максимальная пропускная способность ГЭС, соответствующая работе гидростанции при расчётном напоре H_p (рис. 3.1).

Расчет режимного поля представлен в таблице 3.1. По полученным значениям построено режимное поле с учетом заданных ограничений по расходу, мощности и пропускной способности рисунок 3.1.

Таблица 3.1 – Результаты расчёта режимного поля проектируемой ГЭС

Кривая связи НБ			Напорные характеристики			Линия огр. по расчётной Нуст		Линия огр. по проп. способн. ГЭС	
$Q, \text{м}^3/\text{с}$	$Z_{\text{НБЛ}}, \text{м}$	$Z_{\text{НБЗ}}, \text{м}$	$H_{\text{НПУ}}, \text{м}$	$H_{\text{УМО}}, \text{м}$	$H_{Z \text{НБ}}, \text{м}$	$H, \text{м}$	$Q, \text{м}^3/\text{с}$	$H, \text{м}$	$Q, \text{м}^3/\text{с}$
0	146	146,0	32,39	25,61	29,42	25,5	777	22,06	901
178	148,7	148,7	29,70	22,92	26,73	25,07	791	18,50	826
356	150,4	150,4	27,97	21,19	25,00	24,64	805	0,00	0
534	151,6	151,6	26,77	19,99	23,79	24,21	819	0,00	0
712	152,6	152,6	25,84	19,06	22,87	23,78	834	0,00	0
890	153,4	153,3	25,06	18,28	22,09	23,35	850	0,00	0
1068	154,0	154,0	24,38	17,60	21,40	22,92	866	0,00	0
1246	154,6	154,6	23,77	16,99	20,79	22,49	883	0,00	0
1424	155,2	155,2	23,23	16,45	20,26	22,06	901	0,00	0
1602	155,6	155,6	22,76	15,98	19,79	21,63	0	0,00	0
1780	156,1	156,1	22,35	15,57	19,37	0,00	0	0,00	0
1958	156,5	156,4	21,96	15,18	18,99	0,00	0	0,00	0

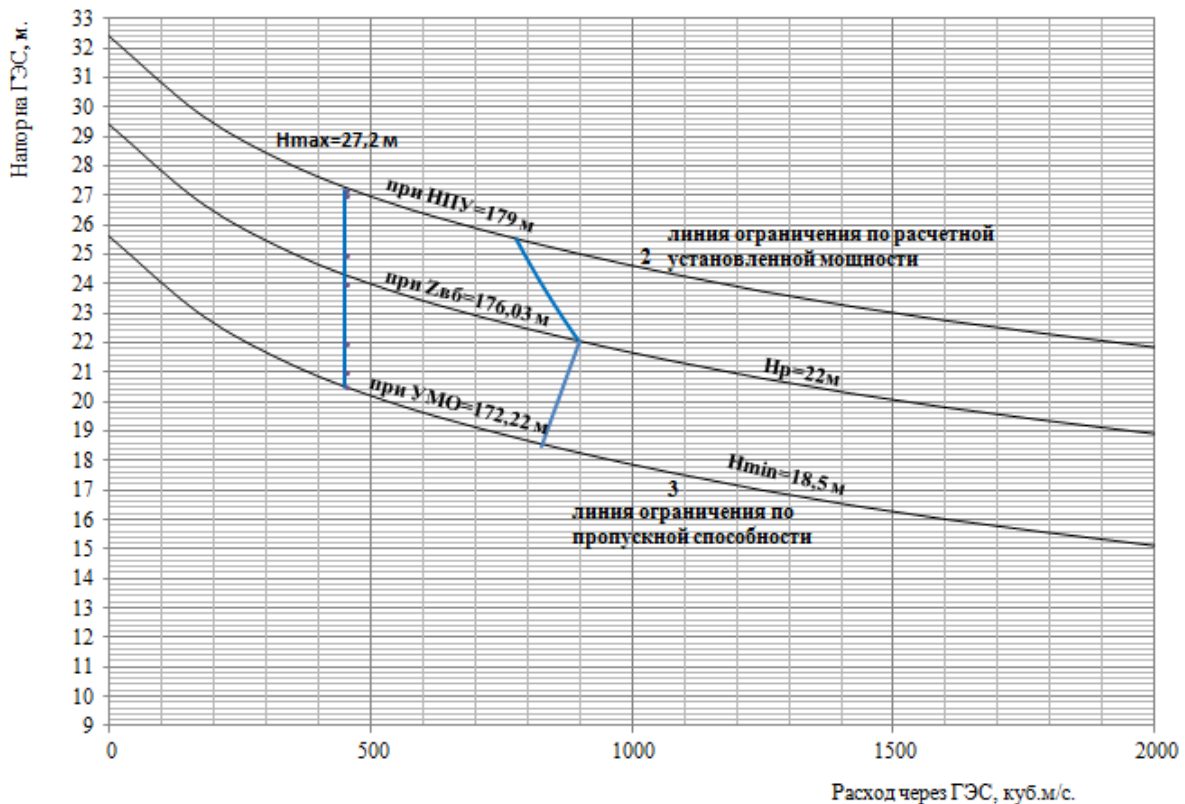


Рисунок 3.1 – Режимное поле проектируемой ГЭС

По режимному полю определяем следующие параметры:

– расчетный напор $H_p = 22,0 \text{ м}$;

- минимальный напор $H_{min} = 18,5$ м; – максимальный напор $H_{max} = 27,2$ м;
- максимальный расход $Q_{max} = 901 \text{ м}^3/\text{с}$.

Для полученного диапазона изменения напора по справочным материалам подбираем все возможные типы гидротурбин, исходя из следующих условий:

1) значение предельного напора не должно быть меньше максимального расчетного;

2) отношение $H_{min}/H_{max} = 18,5/30,0 = 0,62$ должно быть не меньше справочных данных;

3) максимальный диаметр рабочего колеса гидротурбин должен выбираться с учетом транспортировки к месту монтажа.

Диапазону напоров соответствует ПЛ30а – В, ПЛ30б – В со следующими параметрами, представленными в таблице 3.2.

Таблица 3.2 – Параметры турбинного оборудования

Параметр		ПЛ30а – В	ПЛ30б – В
Наименование	Обозначение		
Максимальный напор гидротурбины	$H_{max}, \text{м}$	30	30
Диапазон регулирования	H_{min}/H_{max}	0,5	0,5
Оптимальная приведенная частота вращения	$n'_{lo}, \text{мин}^{-1}$	126	130
Оптимальный приведенный расход	$Q'_{lo}, \text{л/с}$	890	1270
Оптимальный КПД модели	η_{mo}	0,912	0,911
Приведенный максимальный расход	$Q'_{lmax}, \text{л/с}$	1950	1900
Коэффициент кавитации	σ при Q'_{lmax}	1	1
Приведенный диаметр рабочего колеса	$D_{1m}, \text{м}$	0,46	0,46
Напор модельной турбины	$H_m, \text{м}$	4	8
Температура воды при испытании	$t_m, ^\circ\text{C}$	5	21

На главной универсальной характеристике турбины ПЛ30б – В намечаем расчётную точку P_1 , предварительно проведя линию $n'_{l opt}$ через оптимум КПД. Приведенный расход воды в расчётной точке $Q'_{1p} = 1,327 \text{ м}^3/\text{с}$.

Для более обоснованного выбора параметров гидротурбины выполняем расчеты для ряда стандартных диаметров (начиная с максимально возможного для каждого типа турбин [1, с.145]).

КПД натурной турбины η_t определим по формуле

$$\eta_{\text{т}} = 1 - (1 - \eta_{\text{м}}) \cdot \left[(1 - \varepsilon) + \varepsilon \cdot \sqrt[5]{\frac{D_{1\text{м}}}{D_1}} \cdot \sqrt[10]{\frac{H_{\text{м}}}{H_{\text{р}}} \cdot \sqrt[5]{\frac{\vartheta_{\text{н}}}{\vartheta_{\text{м}}}}} \right], \quad (3.4)$$

где $\eta_{\text{м}}, D_{1\text{м}}, H_{\text{м}}$ – КПД, диаметр и напор модельной турбины;
 $D_1, H_{\text{р}}$ – диаметр и расчетный напор натурной турбины;

$\vartheta_{\text{н}}, \vartheta_{\text{м}}$ – коэффициенты кинематической вязкости воды для натурной и модельной турбины соответственно, зависящие от температуры воды для натурных и модельных условий $t_{\text{н}}$ и $t_{\text{м}}$ (по [1, с.145] $\vartheta_{\text{н}} = 1,3 \cdot 10^5 \text{ м}^2/\text{с}$, $\vartheta_{\text{м}} = 0,987 \cdot 10^5 \text{ м}^2/\text{с}$);

ε – коэффициент, выражающий отношение потерь трения ко всем гидравлическим потерям (по [1, с.66] $\varepsilon = 0,75$).

Мощность одного агрегата, кВт

$$N_{\text{а}}^* = 9,81 \cdot D_1^2 \cdot Q'_1 \cdot H_{\text{р}} \cdot \sqrt{H_{\text{р}}} \cdot \eta_{\text{т}} \cdot \eta_{\text{г}}, \quad (3.5)$$

где Q'_1 – приведенный расход в расчетной точке;
 $\eta_{\text{г}}$ – средний КПД генератора (предварительно принимаем $\eta_{\text{г}} = 0,97$ [1, с.66]).

Число устанавливаемых на ГЭС агрегатов находим по формуле

$$Z_{\text{а}}^* = \frac{N_{\text{уст}}}{N_{\text{а}}^*}, \quad (3.6)$$

где $N_{\text{уст}} = 171 \text{ МВт}$ – расчетная установленная мощность.

Рассчитанное число агрегатов $Z_{\text{а}}^*$ округляется в большую сторону ($Z_{\text{а}}$).
После чего уточняется мощность агрегата

$$N_{\text{а}} = \frac{N_{\text{уст}}}{Z_{\text{а}}}. \quad (3.7)$$

Синхронная частота вращения, об/с

$$n_c^* = \frac{n_p' \cdot \sqrt{\Delta p \cdot H_{\text{р}}}}{D_1}, \quad (3.8)$$

где n_p' – приведенная частота в расчётной точке на ГУХ;

$\Delta p = \frac{\eta_{\text{г}}}{\eta_{\text{м}}}$ – поправка на приведённую частоту вращения при переходе от модели к натуре.

По полученной синхронной частоте вращения принимаем ближайшее большее стандартное значение n_c [1, с.145].

Приведенные частоты вращения, соответствующие известным напорам – максимальному, расчетному и минимальному находятся по следующим формулам

$$n'_{I\max} = \frac{n_c \cdot D_1}{\sqrt{H_{\max} \cdot \Delta p}}, \quad (3.9)$$

$$n'_{Ip} = \frac{n_c \cdot D_1}{\sqrt{H_p \cdot \Delta p}}, \quad (3.10)$$

$$n'_{I\min} = \frac{n_c \cdot D_1}{\sqrt{H_{\min} \cdot \Delta p}}. \quad (3.11)$$

Результаты расчета приведены в таблицах 3.3.

Таблица 3.3 – Результаты расчета параметров оборудования для различных значений D_1 гидротурбины ПЛ30б – В

$D_1, \text{м}$	6	6,3	6,7	7,1	7,5	8	8,5
η_T	0,944	0,944	0,944	0,945	0,945	0,946	0,946
$N_a^*, \text{МВт}$	42	47	53	59	66	75	85
$Z_a^*, \text{шт}$	4,0	3,7	3,2	2,9	2,6	2,3	2,0
$Z_a, \text{шт}$	4	4	3	3	3	2	2
$N_a, \text{МВт}$	42,8	42,8	42,8	57,0	57,0	57,0	85,5
Δp	1,04	1,04	1,04	1,04	1,04	1,04	1,04
$n_c^*, \text{об/мин}$	103,4	98,5	92,7	87,5	82,8	77,6	73,1
$n_c, \text{об/мин}$	107,1	100	93,8	88,2	83,3	78,9	73,2
$n'_{I\max}, \text{об/мин}$	121,1	118,7	118,4	117,9	117,6	118,8	117,1
$n'_{Ip}, \text{об/мин}$	134,6	132,0	131,6	131,1	130,8	132,1	130,2
$n'_{I\min}, \text{об/мин}$	146,8	143,9	143,5	143,0	142,6	144,0	142,0

На главных универсальных характеристиках проводим линии $n'_{I\max}, n'_{Ip}, n'_{I\min}$. (ПРИЛОЖЕНИЕ Ж). Определяем окончательно положение расчетной точки. Для этого на универсальной характеристике на линии n'_{Ip} подбираем такое сочетание η_T и Q'_I , чтобы выполнялось равенство

$$Q'_I \cdot \eta_T = \frac{N_a \cdot 10^3}{9,81 \cdot D_1^2 \cdot H_p \cdot \sqrt{H_p} \cdot \eta_r}. \quad (3.12)$$

Для полученной расчетной точки строим линию ограничения по установленной мощности генератора. Для этого на линии $n'_{I\max}$ соответствующей напору H_{\max} , аналогичным образом, подставив в уравнение (3.12) вместо H_p максимальный напор.

Линия ограничения по турбине соответствует открытию направляющего аппарата в расчётной точке таблица 3.4.

Полученные координаты расчётных точек и точек ограничения по генератору сведём в таблицу 3.4.

Таблица 3.4 – Координаты расчётных точек и точек ограничения по генератору

Тип турбины	$D_1, \text{м}$	В расчётной точке			В точке ограничения по генератору			$a_{opI}, \text{мм}$
		$Q'_I \cdot \eta_T$	$Q'_I, \text{м}^3/\text{с}$	$\eta_T, \text{o. e.}$	$Q'_I \cdot \eta_T$	$Q'_I, \text{м}^3/\text{с}$	$\eta_T, \text{o. e.}$	
ПЛ30б – В	8,5	1,205	1,327	0,908	0,877	0,974	0,900	30,5

Диаметры рабочих колес, не вошедших в таблицу 3.4 рассматривать не будем, т.к. на главной универсальной характеристике отсутствуют расчётные точки.

3.2 Проверка работы гидротурбины при ограничении по минимальному расходу

Линию ограничения по минимальному расходу с режимного поля пересчитаем в координату универсальной характеристики для двух значений напора $H_{max} = 27,2 \text{ м}$ и $H_{min} = 18,5 \text{ м}$ по формуле

$$Q'_I = \frac{Q_{min}}{z_a \cdot D_1^2 \cdot \sqrt{\Delta p \cdot H}} \quad (3.13)$$

Число агрегатов для ПЛ30б–В обеспечивающих минимальный попуск, принимаем 1

$$Q'_1 = \frac{Q_{min}}{z_a \cdot D_1^2 \cdot \sqrt{\Delta p \cdot H_{max}}} = \frac{30}{1 \cdot 8,5^2 \cdot \sqrt{1,04 \cdot 27,2}} = 0,078 \text{ (м}^3/\text{с}),$$

$$Q'_1 = \frac{Q_{min}}{z_a \cdot D_1^2 \cdot \sqrt{\Delta p \cdot H_{min}}} = \frac{30}{1 \cdot 8,5^2 \cdot \sqrt{1,04 \cdot 18,5}} = 0,095 \text{ (м}^3/\text{с}).$$

Линии ограничения по минимальному расходу показаны в ПРИЛОЖЕНИЕ Ж.

3.3 Определение отметки расположения рабочего колеса гидротурбины для обеспечения ее бескавитационной работы

Отметка рабочего колеса находится по формуле

$$\nabla Z_{P.K.} = Z_{H6}(Q_{H6}) + H_s, \quad (3.14)$$

где $Z_{H6}(Q_{H6})$ – отметка уровня воды в НБ при Q_{H6} , соответствующем расчётному значению высоты отсасывания H_s .

Глубина отсасывания рассчитывается для трех наиболее опасных с точки зрения кавитации случаев, то есть требующими наибольшего заглубления рабочего колеса:

- работа одного агрегата установленной мощностью при отметке НПУ;
- работа одного агрегата с расчетной мощностью при H_p ;
- работа одного агрегата при H_{min} на линии ограничения по турбине.

Высоту отсасывания определим по формуле

$$H_{dopS} = 10 - \frac{\nabla Z_{H6}}{900} - \sigma \cdot H_p - \Delta H_s + \Delta Z_{x, пл}, \quad (3.15)$$

где $B = 10$ м вод. ст. – барометрическое давление;

$\nabla Z_{H6}(Q_{H6})$ – отметка НБ при данном расходе;

$k_\sigma = 1,05 - 1,15$ – коэффициент запаса по кавитации при переходе от модельной гидротурбины к натурной (принимаем $k_\sigma = 1,1$);

σ – коэффициент кавитации, определяемый по универсальной характеристике для расчетных условий;

$\Delta Z_{x, пл}$ – разность отметок характерных плоскостей модельной и натурной турбин, которая для ПЛ – турбин $\Delta Z_{x, пл} = 0$.

Пример расчёта представим для одного рабочего колеса, остальные рассчитываются аналогичным образом.

3.3.1 Работа одного агрегата с расчётной мощностью при H_{max}

На режимном поле проектируемой ГЭС (рисунок 3.1) находим точку 1, соответствующую известной величине установленной мощности агрегата

$$\frac{N_a}{k_N} = Q_a \cdot H_a, \quad (3.16)$$

Гидротурбина ПЛ30 – В – 850

Получим координаты точки 1: $Q_a = 387,5 \text{ м}^3/\text{с}$, $H_a = 27,7 \text{ м}$.

Пересчитаем эту точку в координаты n'_I

$$n'_I = \frac{n_c \cdot D_1}{\sqrt{\Delta p \cdot H_a}} = \frac{73,2 \cdot 8,5}{\sqrt{1,04 \cdot 27,7}} = 115,9 \frac{\text{об}}{\text{мин}}. \quad (3.17)$$

В точке определяем $\sigma = 0,05$. По кривой связи нижнего бьефа определяем $Z_{H6}(Q_a) = 4,68 \text{ м}$.

Определяем высоту отсасывания по формуле (3.15)

$$H_S = 10 - \frac{4,67}{900} - 0,05 \cdot 27,7 - 1,5 + 0 = +7,11 \text{ м.}$$

3.3.2 Работа одного агрегата с расчётной мощностью при H_p

На главной универсальной характеристике этому режиму соответствует расчетная точка при H_p определяем значение приведенного расхода Q'_I и коэффициента кавитации.

Гидротурбина ПЛ30 – В – 850

Далее рассчитываем аналогично п.п.3.2.1

$$n'_I = \frac{n_c \cdot D_1}{\sqrt{\Delta_p \cdot H_a}} = \frac{73,2 \cdot 8,5}{\sqrt{1,04 \cdot 24,3}} = 123,8 \text{ об/мин},$$

$$\sigma = 0,07; Z_{HB}(Q_a) = 5,11 \text{ м},$$

$$H_S = 10 - \frac{5,11}{900} - 0,07 \cdot 24,3 - 1,5 = +6,79 \text{ м.}$$

3.3.3 Работа одного агрегата при H_{min} и максимальном открытии направляющего аппарата

На главной универсальной характеристике этому режиму соответствует точка пересечения максимальной частоты вращения при H_{min} и линии ограничения по турбине. В данной точке определяем значение приведенного расхода Q'_I и коэффициента кавитации.

Гидротурбина ПЛ30 – В – 850

Далее рассчитываем аналогично п.п.3.3.1

$$n'_I = \frac{n_c \cdot D_1}{\sqrt{\Delta_p \cdot H_a}} = \frac{73,2 \cdot 8,5}{\sqrt{1,04 \cdot 20,9}} = 133,5 \text{ об/мин},$$

$$\sigma = 0,05; Z_{HB}(Q_a) = 4,63 \text{ м},$$

$$H_S = 10 - \frac{4,63}{900} - 0,05 \cdot 20,9 - 1,5 = +7,45 \text{ м.}$$

Полученные результаты представлены в таблице 3.5.

Таблица 3.5 – Результаты расчета высоты отсасывания гидротурбины

Тип турбины	$D_1, \text{м}$	$Z_a, \text{шт}$	$n_c, \text{об/мин}$	$N_a, \text{МВт}$	$H_{S1}, \text{м}$	$H_{S2}, \text{м}$	$H_{S3}, \text{м}$
ПЛ30 – В	8,5	2	73,2	85,5	+7,11	+6,79	+7,45

3.4 Выбор типа и габаритных размеров маслонапорной установки и колонки управления

По диаметру рабочего колеса $D_1 = 8,5$ м и напору $H_{\text{пред}} = 27,2$ м определяем по номограмме [2, с.144] для турбины ПЛ30 – В тип маслонапорной установки МНУ 20/2-40-20-3 с гидроаккумулятором ГА 20/2 – 40.

Маслонапорная установка МНУ 20/2-40-20-3

Гидроаккумулятор –	ГА 20/2 – 40;
вместимость	20 м ³ ;
число сосудов	2;
давление	4 МПа (40 кгс/см ²);
Маслонасосный агрегат	МА 20–3;
вместимость бака	20 м ³ ;
количество насосов	3 шт.;
Насос	3В80/40ГТ:
число сосудов	2 шт.;
подача	34 л/с;
мощность	180 кВт;
Электродвигатель	4А280S4:
мощность	110 кВт;
частота вращения	1450 об/мин;
масса	2,53 т.

По справочным данным [4, стр.104] выберем электрогидравлический регулятор ЭГРК – МП – 100 – 4.

3.5 Выбор типа серийного гидрогенератора

Гидрогенератор подбирается по справочным данным серийных типов по расчетному значению его номинальной мощности и синхронной частоте вращения.

Номинальная мощность гидрогенератора:

$$S_{\text{ном}} = \frac{N_a}{\cos\varphi} = \frac{85,5}{0,85} = 100,6 \text{ МВ} \cdot \text{А}, \quad (3.17)$$

где $\cos\varphi$ - коэффициент мощности генератора, предварительно принимаемый $\cos\varphi = 0,85$.

По справочным данным выбираем синхронный вертикальный гидрогенератор СВ 1450/83-82. Номинальные данные гидрогенератора представлены в таблице 3.6.

Таблица 3.6 – Номинальные данные гидрогенератора СВ 1450/83-82

Элемент генератора	Параметр	Зависимость	Значение
Статор	Высота корпуса $h_{\text{ст}}$	$(1,7 \div 1,9)l_a$	1,44 м
	Диаметр корпуса $D_{\text{ст}}$	$(1,05 + 0,0017n_c)D_i$	14,56 м
	Диаметр активной стали D_a	$D_i + (0,5 \div 0,9)$	13,1 м
Верхняя крестовина	Высота $h_{\text{в.к.}}$	$(0,1 \div 0,12)D_i$	1,36 м
	Диаметр лучей $D_{\text{в.к.}}$	$D_{\text{ст}}$	14,56 м
Подпятник	Высота $h_{\text{пп}}$	$(0,15 \div 0,2)D_i$	2,2 м
	Диаметр кожуха $D_{\text{пп}}$	$(0,4 \div 0,5)D_i$	4,96 м
Нижняя крестовина	Высота $h_{\text{н.к.}}$	$(0,25 \div 0,30)D_{\text{ш}}$	3,6 м
	Диаметр лучей $D_{\text{н.к.}}$	$D_{\text{ш}} + 0,4$	12,4 м
Надстройка	Высота h_0	$0,3 \div 0,5$	0,40 м
	Диаметр d_0	$(0,2 \div 0,25)D_i$	2,73 м
Кратер	Диаметр $D_{\text{кр}}$	$(1,4 \div 1,5)D_i$	17,36 м
	Минимальная ширина прохода b	$0,4 \div 0,5$	0,45 м

3.6 Определение установленной мощности ГЭС

Окончательно установленная мощность проектируемой ГЭС складывается из мощности четырёх генераторов СВ 1450/83-82

$$P_{\text{уст}} = n_G \cdot P_G = 2 \cdot 85,5 = 171,0 \text{ МВт.} \quad (3.18)$$

где $n_G = 2$ - количество генераторов;

$P_G = 85,5 \text{ МВт}$ - активная мощность генератора.

4 Электрическая часть

4.1 Выбор номинального напряжения линий

Выбор главной схемы электрических соединений является одним из самых ответственных этапов проектирования электрических станций, так как от этого зависит надежность работы электроустановок, ее экономичность, оперативная гибкость, удобство эксплуатации, безопасность обслуживания и возможность дальнейшего расширения. На выбор схемы электрических соединений влияют основные факторы:

- величина, вид, характер, размещения и динамика роста нагрузок;
- категория потребителей;
- роль электроустановки в энергосистеме, величина системного резерва, пропускная способность внутрисистемных и межсистемных связей;
- схемы и напряжения прилегающих сетей;
- уровень токов короткого замыкания и т.д.

В проектируемом районе передача электроэнергии осуществляется на напряжении 110 - 500 кВ .

Определим напряжение, на котором будет осуществляться передача ЭЭ проектируемой гидроэлектростанции, по формуле Заллесского А.М., применяемая при условии $P > 60 \text{ МВт}$ и $L < 100 \text{ км}$

$$U_{\text{ном}} = \sqrt{P(0,1 + 0,015\sqrt{L})} = \sqrt{171 \cdot (0,1 + 0,015\sqrt{40})} = 182,6 \text{ кВ.} \quad (4.1)$$

где P - активная мощность передаваемая по 1 линии;
 L -длина линии.

Выдача мощности проектируемой ГЭС будет осуществляться на напряжении 220 кВ.

Основные параметры проектируемой станции и энергосистемы представлены в таблице 4.1.

Таблица 4.1 – Особенности электрической части проектируемой станции и энергосистемы

Генераторы			Система			
Число и мощность	$U_{\text{ном}}$	$\cos \varphi_{\text{ном}}$	$U_{\text{ном}}$	l	S_6	$S_{\text{к.з.}}$
шт×МВт	кВ	о.е.	кВ	км	МВА	МВА
2×85,5	13,8	0,9	220	40	125	200

1. $T_{\text{max}} = 6000$ час/год.
2. Потребители относятся к I и II категориям.
3. Мощность собственных нужд $P_{\text{сн}} = 0,01P_{\text{уст.ГЭС}}$.
4. Коэффициент мощности собственных нужд $\cos \varphi_{\text{сн}} = \cos \varphi_{\text{ном.}}$

4.2 Выбор количества линий РУ ВН и сечения проводов

Суммарная мощность, выдаваемая на РУ 220 кВ:

$$S_{\Sigma} = n_r \cdot \left(\frac{P_r - P_{ch}}{\cos \varphi_r} \right), \quad (4.1)$$

$$S_{\Sigma} = 2 \cdot \left(\frac{85,5 - 85,5 \cdot 0,01}{0,9} \right) = 188,1 \text{ МВ} \cdot \text{А.}$$

Передаваемая мощность на одну цепь для ВЛ 220 кВ:

$$P_{nat.} = 150 \text{ МВт}; \quad K = 1,2; \quad \cos \varphi_c = 0,85;$$

где K – коэффициент приведения натуральной мощности ЛЭП, принимаемый равным 1, при номинальном напряжении 330 кВ и выше, 1,2 при напряжении 220 кВ, 1,4 при напряжении 110 кВ. [1];

$P_{nat.}$ – натуральная мощность ВЛ для номинального напряжения 220 кВ.

Число отходящих линий 220 кВ

$$n_l = \frac{S_{yest} - S_{ch}}{(K \cdot P_{nat.} / \cos \varphi_c)} = \frac{(190 - 2)}{(1,2 \cdot 150 / 0,85)} = 1 \text{ шт.} \quad (4.2)$$

Принимается число ВЛ 220 кВ равным $n_l = 1 + 1 = 2$.

$$I_{rab} = \frac{S_{\Sigma}}{n_l \cdot \sqrt{3} \cdot U_{nom}} = \frac{188,1}{2 \cdot \sqrt{3} \cdot 220} = 0,247 \text{ кА.} \quad (4.3)$$

Расчётный ток ВЛ 220 кВ

$$I_{расч} = \alpha_T \cdot \alpha_i \cdot I_{раб} = 1,05 \cdot 1,0 \cdot 247 = 259,3 \text{ А,} \quad (4.4)$$

где $\alpha_i = 1,05$ – коэффициент, учитывающий участие потребителя в максимуме нагрузки;

$\alpha_T = 1,0$ – коэффициент, учитывающий изменение тока в процессе эксплуатации.

По величине расчётного тока для линии напряжением $U=220\text{kV}$ выбираем провод марки АС – 240/32.

Допустимый продолжительный ток $I_{доп} = 605 \text{ А.}$

Проверка провода по нагреву

$$I_{п.ав} = \frac{S_{\Sigma}}{(n_l - 1) \cdot \sqrt{3} \cdot U_{nom}} = \frac{188,1}{1 \cdot \sqrt{3} \cdot 220} = 0,494 \text{ кА.} \quad (4.5)$$

$I_{\text{доп}} > I_{\text{п.ав}}$, следовательно, выбранный провод удовлетворяет условию нагрева.

Параметры провода приведены в таблице 4.2.

Таблица 4.2 - Параметры провода марки АС-240/32

Число проводов в фазе	r_0 Ом/км	x_0 Ом/км	b_0 См/км
1	0,118	0,435	$2,604 \cdot 10^{-4}$

4.3 Выбор структурной схемы электрических соединений

В главных электрических схемах электростанций применяются следующие типы электрических блоков:

- одиночный блок (генератор-трансформатор);
- укрупненный блок (несколько генераторов, подключенных к одному общему повышающему трансформатору или к одной группе однофазных трансформаторов);
- объединенный блок (несколько одиночных или укрупненных блоков, объединенные между собой без выключателей на стороне высшего напряжения повышающих трансформаторов).

Для Петровской ГЭС выбираем схему с одиночными блоками, так как схемы с укрупненными и объединёнными блоками не целесообразно.

4.4 Выбор основного оборудования главной схемы

4.4.1 Выбор синхронных генераторов

По исходным данным выбирается синхронный генератор СВ – 1450/83-82 производства ООО "Силовые машины". Паспортные данные представлены в таблице 4.3.

Таблица 4.3 - Паспортные данные генератора СВ - 1450/83-82

Номинальная мощность, МВ·А МВт		$U_{\Gamma \text{ ном}}, \text{kV}$	$\cos \varphi_{\Gamma, \text{o.e.}}$	η	Индуктивные сопротивления		
$S_{\Gamma \text{ ном}}$	$P_{\Gamma \text{ ном}}$				x_d''	x_d'	x_d
95	85,5	13,8	0,9	0,976	0,17	0,25	0,50

4.4.2 Выбор повышающих трансформаторов

Выбор трансформаторов включает в себя определение их числа, типа и номинальной мощности.

Трансформатор блока должен обеспечить выдачу мощности генераторов в сеть повышенного напряжения за вычетом мощности нагрузки, подключенной на ответвлении от генератора т.е. нагрузка собственных нужд

$$S_{\text{расч}} = \frac{P_{\Gamma \text{ном}} - P_{\text{с.н.}}}{\cos \varphi_{\Gamma}} = \frac{85,5 - 85,5 \cdot 0,01}{0,9} = 94,05 \text{ МВ} \cdot \text{А}, \quad (4.6)$$

где $P_{\text{с.н.}}$ – активная нагрузка собственных нужд, МВт.

По каталогу ООО "Тольяттинский Трансформатор" выбираются трансформаторы ТДЦ-125000/220-У1. Каталожные данные приведены в таблице 4.4.

Таблица 4.4 - Каталожные данные трансформатора ТДЦ-125000/220-У1

$S_{\text{ном}}, \text{MVA}$	U_H, kV		$U_K, \%$	$\Delta P_K, \text{kVt}$	$\Delta P_{xx}, \text{kVt}$	$I_x, \%$
	$U_{\text{ВН}}$	$U_{\text{НН}}$				
125	242	13,8	11,0	380	90	0,55

Потери электрической энергии оцениваются методом времени максимальных потерь, используя значения максимальных нагрузок T_{\max} и время максимальных потерь τ .

$$\tau = \left(0,124 + \frac{T_{\max}}{10^4} \right)^2 \cdot 8760 = \left(0,124 + \frac{6000}{10^4} \right)^2 \cdot 8760 = 4240 \text{ ч/год}, \quad (4.7)$$

Время работы блока в течение года

$$t_{\text{раб}} = 8760 - \mu \cdot T_{\text{пл}} - \omega \cdot T_{\text{в}}, \quad (4.8)$$

где $\mu = 1$ – частота ремонтов (текущих, средних, капитальных), 1/год;

$T_{\text{пл}} = 30$ – время плановых простоев блока в течение года, ч;

$\omega = 0,053$ – параметр потока отказов трансформатора блока, 1/год;

$T_{\text{в}} = 60$ – среднее время аварийно-восстановительных ремонтов трансформатора, ч.

$$t_{\text{раб}} = 8760 - 1 \cdot 30 - 0,053 \cdot 60 = 8727 \text{ ч.}$$

Потери холостого хода в трансформаторе

$$\Delta W_{xx} = n_T \cdot \Delta P_{xx} \cdot t_{\text{раб}} = 1 \cdot 0,09 \cdot 8727 = 785,43 \text{ МВт} \cdot \text{ч}, \quad (4.9)$$

где n_T – число параллельно работающих трансформаторов.

Нагрузочные (переменные) потери в трансформаторе

$$\Delta W_H = \frac{\Delta P_K}{n_T} \cdot \left(\frac{S_{\text{расч}}}{S_{T_{\text{ном}}}^2} \right)^2 \cdot \tau = \frac{0,38}{1} \cdot \left(\frac{94,05}{125} \right)^2 \cdot 4240 = 912,11 \text{ МВт} \cdot \text{ч}, \quad (4.10)$$

Величина издержек на потери электрической энергии для одного трансформатора

$$I_{\text{пот}} = (\Delta W_{xx} + \Delta W_H) \cdot T_{max} \cdot \gamma_0, \quad (4.11)$$

где γ_0 – стоимость одного кВт · ч электроэнергии

$$I_{\text{пот}} = (785,43 + 912,11) \cdot 6000 \cdot 0,58 = 5907,44 \text{ тыс. руб/год}$$

Для двух блоков

$$I_{\text{пот2}}^{220} = 2 \cdot 5907,44 = 11814,88 \text{ тыс. руб/год.}$$

4.4.3 Выбор трансформаторов собственных нужд

Доля мощности, потребляемой на собственные нужды станции, составляет 1% от S_{ct}

$$S_{c.h.} = 0,01 \cdot S_{ct} = 0,01 \cdot 190 = 1900 \text{ кВ} \cdot \text{А.} \quad (4.12)$$

Условие выбора трансформатора собственных нужд:

$$S_{Tc.h.} \geq S_{c.h.},$$

По каталогу ЗАО «Энергомаш (Екатеринбург) – Уралэлектротяжмаш» выбираются трансформаторы ТСЗ-2500/15 УЗ. Каталожные данные приведены в таблице 4.5.

Таблица 4.5 -Каталожные данные трансформатора ТСЗ-2500/15 УЗ

$S_{\text{ном}}$, кВт	U_H , кВ		$U_K, \%$	ΔP_K , кВт	ΔP_{xx} , кВт
	U_{BH}	U_{HH}			
2500	13,8	0,4	6	21	3,8

Согласно СТО РусГидро 01.01.78-2012 «Гидроэлектростанции. Нормы технологического проектирования» в распределительной сети СН, а также выпрямительные трансформаторы рекомендуется применять с сухой изоляцией.

Для электроснабжения электроприемников собственных нужд ГЭС и ГАЭС необходимо предусматривать не менее двух независимых источников

питания при любом режиме работы станции, в том числе при отключении одного из независимых источников питания. [2]

По каталогу ООО «Производственная компания ТРАНСИНЖИНИРИНГ» (Екатеринбург) выбирается 1 трансформатор ТС-2000/35, стоимостью 2000 тыс.руб. Каталожные данные приведены в таблице 4.6.

Таблица 4.6 - Каталожные данные трансформатора ТС-2000/35

S _{ном} , кВА	U _H , кВ		U _K , %	ΔP _K , кВт	ΔP _{xx} , кВт
	U _{BH}	U _{HH}			
2000	35	0,4	8	17	3,9

Для электроснабжения потребителей 1 категории и потребителей особой группы, таких как: грузоподъёмные механизмы и приводы управления затворами ГТС, автоматика управления быстропадающих затворов и др. предусмотрены автономные независимые источники (дизель генераторная установка - ДГУ);

Согласно стандарту [8]: «...необходимо предусматривать не менее двух независимых источников питания при любом режиме работы станции, в том числе при отключении одного из независимых источников питания». На Петровской ГЭС в качестве источников питания будут приняты:

- от подстанции Бурлук 35 кВ;
- дизель-генераторная установка (ДГУ).

Выбираем дизель-генераторную установку ПСМ-ADM-2000 мощностью 2036 кВт. Напряжение 400 В.

4.5 Выбор главной схемы ГЭС

Рассматриваемые схемы различаются количеством силовых трансформаторов, трансформаторов собственных нужд и ячеек распределительного устройства высшего напряжения. Поэтому капиталовложения оцениваются по формуле:

$$K = t \cdot K_{OPU} + n \cdot K_T + m \cdot K_{T_{c.n.}}, \quad (4.13)$$

где K_T – стоимость силового трансформаторов;

$K_{T_{c.n.}}$ – стоимость трансформатора собственных нужд;

K_{OPU} – стоимость ячейки ОРУ;

n – число силовых трансформаторов;

m – число трансформатора собственных нужд;

t – число ячеек ОРУ

Капиталовложения для схемы с одиночным блоком по формуле (4.13)

$$K_1 = 2 \cdot 23 + 2 \cdot 43,2 + 2 \cdot 1,35 = 135,1 \text{ млн. руб.}$$

Полные приведенные затраты для схемы с одиночным блоком рассчитываются по формуле

$$Z_i = E_H \cdot K_i + I_i, \quad (4.14)$$

где $E_H = 0,15$ – нормативный коэффициент

$$Z_1 = 0,15 \cdot 135,1 + 11,815 = 32,1 \text{ млн. руб.}$$

Главная электрическая схема должна обеспечивать возможность и безопасность проведения ремонтных и эксплуатационных работ на электрооборудовании РУ. Схема должна быть наглядной и обеспечивать удобство эксплуатации электрооборудования. [2]

Данные значения полных приведенных затрат различаются больше чем на 5%, из этого можно сделать вывод, что вариант с укрупненным блоком экономически выгоднее.

Главная электрическая схема должна обеспечивать возможность и безопасность проведения ремонтных и эксплуатационных работ на электрооборудовании РУ. Схема должна быть наглядной и обеспечивать удобство эксплуатации электрооборудования. [2]

В качестве окончательного варианта принимается схема с укрупненным блоком.

Число присоединений РУ-220 кВ: 4 (2 ВЛЭП 220 кВ, 2 блока). В соответствии со стандартом: "Рекомендации по применению типовых принципиальных электрических схем распределительных устройств подстанций 35-750 кВ", выбираем схему четырехугольник. Схема представлена на рисунке 4.1.

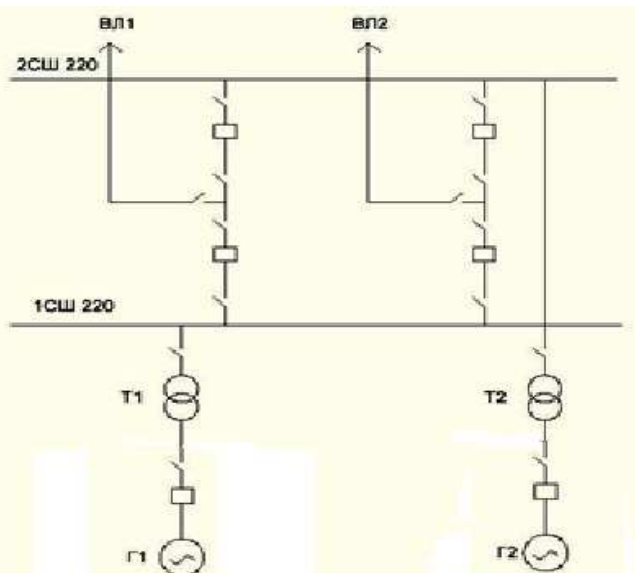


Рисунок 4.1 – Принципиальная схема соединений ОРУ 220 кВ

4.6 Расчёт токов трехфазного и однофазного короткого замыкания в главной схеме с помощью программного обеспечения RastrWin3

4.6.1 Расчет исходных данных

Определим индуктивные сопротивления всех элементов короткозамкнутой цепи в именованных единицах.

Синхронные генераторы

$$x_{\Gamma} = x_d'' \cdot \frac{U_{\text{ном}}^2}{S_{\text{ном}}} = 0,17 \cdot \frac{13,8^2}{95} = 0,341 \text{ Ом}, \quad (4.15)$$

$$x_{\Gamma} = x_d'' \cdot \frac{S_6}{S_{\text{ном}}} = 0,17 \cdot \frac{125}{95} = 0,224 \text{ Ом}, \quad (4.16)$$

Значение сверхпереходной ЭДС генератора

$$E_{\Gamma} = E_*'' \cdot U_6 = 1 \cdot 13,8 = 13,8 \text{ кВ}. \quad (4.17)$$

Индуктивные сопротивления трансформаторов

$$x_T = \frac{U_K \% \cdot U_{\text{ном}}^2}{100 \cdot S_{\text{ном}}} = \frac{11 \cdot 242^2}{100 \cdot 125} = 51,53 \text{ Ом}, \quad (4.18)$$

$$x_T = \frac{U_K \% \cdot S_6}{100 \cdot S_{\text{ном}}} = \frac{11 \cdot 125}{100 \cdot 125} = 0,11 \text{ Ом}. \quad (4.19)$$

Система

$$x_C = \frac{U_{\text{ном}}^2}{S_{\text{кз}}} = \frac{242^2}{200} = 292,82 \text{ Ом}, \quad (4.20)$$

$$x_C = \frac{S_6}{S_{\text{кз}}} = \frac{125}{200} = 0,625 \text{ Ом}. \quad (4.21)$$

Линии связи 220 кВ с энергосистемой

$$x_L = \frac{x_{0,\text{уд}} \cdot l}{n} = \frac{0,435 \cdot 40}{5} = 3,48 \text{ Ом}. \quad (4.22)$$

ЭДС энергосистемы

$$E_C = E_* \cdot U_{61} = 1,0 \cdot 230 = 230 \text{ кВ}. \quad (4.23)$$

Коэффициенты трансформации

$$k_T = \frac{U_{\text{НН}}}{U_{\text{ВН}}} = \frac{13,8}{242} = 0,057. \quad (4.24)$$

Определим активные сопротивления всех элементов короткозамкнутой цепи в именованных единицах.

Синхронные генераторы

$$r_G = \frac{x_G}{50} = \frac{0,341}{50} = 0,0068 \text{ Ом}, \quad (4.25)$$

Система

$$r_C = \frac{x_C}{50} = \frac{292,82}{50} = 5,85 \text{ Ом}. \quad (4.26)$$

Линии связи 220 кВ с энергосистемой

$$r_L = \frac{r_{0,y_d} \cdot l}{n} = \frac{0,118 \cdot 40}{2} = 2,36 \text{ Ом}. \quad (4.27)$$

Активные сопротивления трансформаторов

$$r_T = \frac{\Delta P_k}{2} \cdot \frac{U_6^2}{S_{\text{ном}}^2} = \frac{0,380}{2} \cdot \frac{230^2}{125^2} = 0,64 \text{ Ом}. \quad (4.28)$$

$$r_T = \frac{\Delta P_k}{2} \cdot \frac{S_6}{S_{\text{ном}}^2} = \frac{0,380}{2} \cdot \frac{125}{125^2} = 0,00152 \text{ Ом}. \quad (4.29)$$

Постоянная времени затухания апереодической составляющей тока короткого замыкания

$$T_a = \frac{x_r}{\omega * r_t} = \frac{0,341}{314 * 0,00152} = 0,714 \text{ с}. \quad (4.30)$$

4.6.2 Внесение исходных данных в программный комплекс RastrWin3

На рисунка 4.2, 4.3 и 4.4 представлены исходные данные из таблиц программы «RastrWin3», необходимые для расчета.

	O	S	s0	Tip...	Номер	Название	№ АРМ	U_nom	G_ш	В_ш	g0	b0	
1				зак	1	Блок1		14					
2				зак	2	Блок2		14					
3				у	3	ОРУ		230					
4				у	4	Система		230					
5				у	5	Г1		14					
6				у	6	Г2		14					

Рисунок 4.2 – Исходные данные по узлам

	O	S	Тип	s0	tip0	N нач	N кон	N...	Название	R	X	G	B	Kt/i	Kt/r	r0	x0	g0	b0	№ mc
1			Тр-р		Тр-р	3	1		ОРУ - Блок1	0.64	51.53			0.057						
2			Тр-р		Тр-р	3	2		ОРУ - Блок2	0.64	51.53			0.057						
3			ЛЭП			2	4		ОРУ - Система	6.05	21.75									
4			Выкл			1	5		Блок1 - Г1											
5			Выкл			2	6		Блок2 - Г2											

Рисунок 4.3 – Исходные данные по ветвям

	S	s0	N	Название	№ узла	г	x	r2	X2	r0	x0	Е	Угол	ур.Е	ур.Угол
1				Г1	5	0.004	0.520	0.004	0.52	0.004	0.52	13.800			
2				Г2	6	0.004	0.520	0.004	0.52	0.004	0.52	13.800			
3				Система	4	2.821	352.670	2.821	352.67	2.821	352.67	230.000			

Рисунок 4.4 – Исходные данные по генераторам

4.6.3 Расчет токов короткого замыкания на сборных шинах и генераторном напряжении в программном комплексе RastrWin3

Результаты расчета представлены на рисунке 4.5, 4.6, 4.7 и сведены в таблицу 4.7.

	S	№	№ сост	Тип	П 1	П 2	П 3	I 1	dI 1	r1	x1	I 2	dI 2	r2
1		1	1	3ф	5				28.2151	-89.40			0.0000	

Рисунок 4.5 – Результаты расчета токов трёхфазного КЗ на генераторе

	S	№	№ сост	Тип	П 1	П 2	П 3	I 1	dI 1	r1	x1	I 2	dI 2	
1		1	1	1ф	3				0.8378	-89.31			0.8378	-89.31

Рисунок 4.6 – Результаты расчета токов однофазного КЗ на СШ

Узлы/Несим/ИД		Ветви/Несим/ИД		Генератор/Несим		Состав/Несим							
S	№	№ сост	Тип	П 1	П 2	П 3	I 1	dI 1	r1	x1	I 2	dI 2	r2
1	1	1	3ф	3			1.6757	-89.31			0.0000		

Рисунок 4.7 – Результаты расчета токов трёхфазного КЗ на СШ

Таблица 4.7 – Место короткого замыкания и результаты расчёта в точках КЗ

Тип КЗ	Величина, кА
1ф на СШ	0,84
3ф на СШ	1,68
3ф	28,2

4.7 Выбор электрических аппаратов

В распределительных устройствах электрических станций и подстанций содержится большое число электрических аппаратов и соединяющих их проводников. Выбор и расчёт токоведущих частей аппаратов и проводников – важнейший этап проектирования любой электроустановки, от которого в значительной степени зависит надёжность её работы.

При выборе токоведущих частей необходимо обеспечить выполнение ряда требований, вытекающих из условий работы. Аппараты и проводники должны:

- 1) длительно проводить рабочие токи без чрезмерного повышения температуры;
- 2) противостоять кратковременному электродинамическому и тепловому действию токов КЗ;
- 3) выдерживать механические нагрузки, создаваемые собственной массой и массой связанных с ними аппаратов, а также усилия, возникающие в результате атмосферных воздействий (ветер, гололёд). Это требование учитывается при механическом расчёте ЛЭП и РУ;
- 4) удовлетворять требованиям экономичности электроустановки.

Рабочий ток в присоединениях генераторов Г1, Г2 13,8 кВ

$$I_{\Gamma, \text{раб.макс}} = 1,05 \cdot I_{\Gamma, \text{ном}} = 1,05 \cdot \frac{S_{\Gamma, \text{ном}}}{\sqrt{3} \cdot U_{\Gamma, \text{ном}}} = 1,05 \cdot \frac{95}{\sqrt{3} \cdot 13,8} = 4173 \text{ А.}$$

Рабочий ток трансформатора ТДЦ-125000/220

$$I_{T1-T2, \text{раб.макс}} = 1,05 \cdot \frac{S_{T, \text{ном}}}{\sqrt{3} \cdot U_{T, \text{ном}}} = 1,05 \cdot \frac{125}{\sqrt{3} \cdot 242} = 313 \text{ А.}$$

Рабочий ток в линии связи с системой 220кВ

$$I_{\text{Л1,Л2,раб.макс}} = \frac{S_{\text{раб.макс}}}{\sqrt{3} \cdot n_W \cdot U_{\text{ном}}} = \frac{S_{\Gamma_1,\Gamma_2}}{\sqrt{3} \cdot n_W \cdot U_{\text{ном}}} = \frac{2 \cdot 95}{\sqrt{3} \cdot 2 \cdot 220} = 249 \text{ A},$$

$$I_{\text{Л1,Л2,раб.утж}} = \frac{S_{\Gamma_1,\Gamma_2}}{\sqrt{3} \cdot (n_W - 1) \cdot U_{\text{ном}}} = \frac{2 * 95}{\sqrt{3} \cdot 1 \cdot 220} = 499 \text{ A}.$$

4.7.1 Выбор коммутационных аппаратов генератора

Выключатель

Элегазовые баковые выключатели со встроенными трансформаторами тока и автономными приводами ВГБУ-220. Ток отключения 40 кА. Предназначены для коммутаций электрических цепей при нормальных и аварийных режимах в сетях трехфазного переменного тока частоты 50 Гц номинальным напряжением 220 кВ.

Производитель ОАО ВО «Электроаппарат».

Параметры представлены в таблице 4.8.

Таблица 4.8 – Проверка выключателя генераторного комплекса

Расчетные данные	Каталожные данные	
$U_{\text{сети ном}} = 220 \text{ кВ}$	$U_{\text{ном}} = 220 \text{ кВ}$	В состав входят трансформаторы тока, параметры которого согласованы с параметрами выключателя заводом изготовителем. Дополнительной проверки не требуется.
$I_{\text{рабмакс}} = 249 \text{ A}$	$I_{\text{ном}} = 2000 \text{ A}$	
$I_{\text{по}} = 2,51 \text{ кA}$	$I_{\text{откл.ном.}} = 40 \text{ кA}$	

Проверка на динамическую устойчивость

$$i_{\text{уд}}^{\text{СШ}} = \sqrt{2} I_n^{\text{СШ}} \left(1 + e^{\frac{-0,01}{Ta_{\Sigma}}} \right) = \sqrt{2} \cdot 2,51 \left(1 + e^{\frac{-0,01}{0,037}} \right) = 6,26 \text{ кA},$$

где $I_n^{\text{СШ}}$ -ток короткого замыкания, через выключатель РУ.

$Ta_{\Sigma} = 0,037 \text{ с}$ при $Ta_c = 0,045 \text{ с}$.

$i_{\text{уд}}^{\text{СШ}} < I_{\text{ПР.СКВ}},$

6,26 кA < 102 кA.

Проверка на термическую стойкость.
Расчетный тепловой импульс

$$B_{K \text{расч}} = I_n^2(t_{\text{откл}} + t_{P3}) = 2,51^2 \cdot (0,1 + 0,01) = 0,7 \text{ кA}^2\text{c}.$$

Номинальный тепловой импульс выключателя

$$B_{K \text{ном}} = I_{\text{терм}}^2(t_T) = 40^2(3) = 4800 \text{ кA}^2\text{c},$$

$$B_{K \text{расч}} < B_{K \text{ном}},$$

$$0,7 \text{ кA}^2\text{c} < 4800 \text{ кA}^2\text{c}.$$

Проверка на периодическую составляющую

$$I_{at} = I_{no} e^{-\tau/T_a} = 2,51 \cdot e^{-\frac{0,03}{0,037}} = 1,12,$$

$$I_y = \frac{I_{at}}{I_{no}} \cdot 100\% = \frac{1,12}{2,51} \cdot 100 = 44,62 \% < 45 \, \%.$$

Разъединитель

Серия разъединителей РД-220 на номинальное напряжение 220 кВ сертифицирована для российского рынка. Разъединители соответствуют российским стандартам, ГОСТ Р 52726-2007, а также полностью адаптированы к российским условиям.

Двухколонковые разъединители РД горизонтально-поворотного типа предназначены для наружной установки.

Производитель ОАО ВО «Электроаппарат».

Параметры представлены в таблице 4.9.

Таблица 4.9 – Проверка разъединителя

Расчетные данные	Каталожные данные	
$U_{\text{сети ном}} = 220 \text{ кВ}$	$U_{\text{ном}} = 220 \text{ кВ}$	Двухколонковые разъединители РД-220 горизонтально- поворотного типа
$I_{\text{раб max}} = 249 \text{ А}$	$I_{\text{ном}} = 1250 \text{ А}$	
$I_{\text{но}} = 2,51 \text{ кA}$	$I_{\text{терм.ст.}} = 31,5 \text{ кA}$ $I_{\text{дин.ст.}} = 80 \text{ кA}$	

Трансформатор тока и трансформатор напряжения

Принимаем к установке в трансформаторы напряжения ЗНГА-220. Примем для установки элегазовые трансформаторы тока ТГФМ-220. Результат представлен в таблице 4.10.

Таблица 4.10 – Сравнение параметров ТГФМ-220 с параметрами системы

Параметр	Расчетное значение параметра	Данные ТТ по каталогу
$U_{\text{сети.ном}} < U_{\text{ном}}$	$U_{\text{сети.ном}} = 220 \text{ кВ}$	$U_{\text{ном}} = 220 \text{ кВ}$
$I_{\text{раб. max}} < I_{\text{ном}}$	$I_{\text{раб. max}} = 249 \text{ А}$	$I_{\text{ном}} = 1000 \text{ А}$
$i_y \leq \sqrt{2} \cdot k_{\text{уд}} \cdot I_{1\text{ном}}$	$i_{\text{уд}} = 2,51 \text{ кА}$	$i_{\text{пр.скв.}} = 125 \text{ кА}$

Вспомогательное оборудование

В цепи ротора генератора устанавливается синхронизатор. Принимаем синхронизатор типа АС-М3 предназначен для включения в сеть синхронного генератора методом точной автоматической синхронизации фирмы ООО «АСУ-ВЭИ» г. Москва.

На проектируемой Петровской ГЭС в рамках программы импортозамещения и поддержания отечественного производителя будут использоваться измерительные приборы ЗАВОД КОНВЕРТОР и «ВНИИР ГидроЭлектроАвтоматика» г. Москва.

Блок сервера представляет собой микропроцессорное электронное устройство, осуществляющее сбор и анализ информации всех сетевых модулей и зарядно-подзарядных устройств, входящих в конфигурацию системы МСА. Блок сервера обеспечивает отображение на дисплее и передачу в АСУ ТП по интерфейсу RS-485 и протоколу Modbus RTU основные показатели работы сетевых модулей, температуру в помещении аккумуляторной батареи и многое другое.

Блок управления и индикации (БУИ) предназначен для индикации информации и управления работой системы МСА. Блок управления и индикации включает в себя многофункциональный четырёх строчный жидкокристаллический дисплей и четырёхкнопочную панель управления. Кнопками панели управления осуществляется ввод и изменение уставок для выявления аварийного события.

Устройство контроля изоляции и напряжения ИЗОН предназначено для использования в щитах постоянного тока электростанций и подстанций, как самостоятельно, так и в составе микропроцессорной системы автоматики.

Зашиту от перенапряжений выполняем ОПН. На генераторном напряжении ОПН является встроенным компонентом распределительного устройства ВГГ-10-63/4000 У1. В ОРУ 220 кВ, на сборных шинах и ВЛЭП примем к установке ОПН типа ОПН-П-220 УХЛ1 производства ЗАО «Завод электротехнического оборудования» (ЗАО «ЗЭТО»), который соответствует условию выбора ОПН по номинальному напряжению.

5 Релейная защита и автоматика

Силовое электрооборудование электростанций, подстанций и электрических сетей должно быть защищено от коротких замыканий и нарушений нормальных режимов устройствами релейной защиты.

Рассмотрим защиты основных элементов ГЭС: генераторов, трансформаторов и ЛЭП.

5.1 Перечень защит основного оборудования

В соответствии с ПУЭ согласно мощности генератора принимаем к установке следующие виды защит на основном оборудовании.

На главном генераторе СВ – 1450/83-82:

- Продольная дифференциальная защита генератора от многофазных коротких замыканий в обмотках статора генератора и на его выводах;
- Защита от замыканий на землю (100%) обмотки статора генератора;
- Защита от замыканий на землю обмотки ротора генератора;
- Защита от повышения напряжения;
- Защита обратной последовательности от токов внешних несимметричных коротких замыканий и несимметричных перегрузок генератора;
- Защита от симметричных перегрузок статора;
- Дистанционная защита от внешних коротких замыканий;
- Защита от асинхронного режима без потери возбуждения генератора;
- Защита от асинхронного режима при потере возбуждения генератора;
- Защита от перегрузки обмотки ротора, контроль длительности форсировки;
- Устройство резервирования отказа выключателя (УРОВ) генератора.

На силовом трансформаторе блока ТДЦ-125000/220-У1:

- Дифференциальная защита от всех видов коротких замыканий;
- Устройство выбора поврежденной фазы трансформатора, охватывающее обмотку ВН (Дифференциальная защита нулевой последовательности);
 - Токовая защита нулевой последовательности от коротких замыканий на землю в сети 220 кВ;
 - Резервная максимальная токовая защита;
 - Защита от замыканий на землю на стороне 13,8 кВ трансформатора блока;
 - Контроль тока и напряжения для пуска пожаротушения трансформатора блока;

- Реле тока охлаждения трансформатора блока;

На трансформаторе СН ГЭС ТСЗ-2500/15-УЗ:

- Дифференциальная защита от всех видов коротких замыканий;
- Максимальная токовая защита с комбинированным пуском по напряжению;

- Защита от перегрузки;
- Реле тока охлаждения.

На линиях электропередачи 220 кВ:

- Основные защиты:

- дифференциально-фазная высокочастотная защита от всех видов КЗ.

- Резервные защиты:

- 5-ти ступенчатая дистанционная защита от многофазных замыканий;
- токовая отсечка для резервирования дистанционной защиты при близких междуфазных КЗ;

- 4-х ступенчатая токовая направленная защита от замыканий на землю (ТНЗНП);

• для обеспечения отключения КЗ при отказах выключателей 220 кВ предусматривается УРОВ 220 кВ.

5.2 Описание защит и расчет их уставок

5.2.1 Продольная дифференциальная защита генератора ($I\Delta G$)

Продольная дифференциальная защита генератора является основной быстродействующей чувствительной ($I_{CP} < 0,2 \cdot I_H$) защитой от междуфазных коротких замыканий в обмотке генератора и на его выводах.

Защита выполняется трехфазной и подключается к трансформаторам тока в линейных выводах статора генератора и к трансформаторам тока в нейтральных выводах.

Номинальный ток генератора: $I_{HOM} = 3577$ А.

Коэффициент трансформации трансформаторов тока: $\eta_{TT} = 4000/5$ А.

1) Начальный ток срабатывания определяет чувствительность защиты при малых тормозных токах. Величина $I_{CP,0}$ выбирается с учетом возможности отстройки защиты от тока небаланса номинального режима:

$$I_{HB(H)} = K_{ODN} \cdot f_i \cdot I_H = 0,5 \cdot 0,1 \cdot I_H, \quad (5.1)$$

где $K_{ODN} = 0,5$ - коэффициент однотипности трансформаторов тока;

$f_i = 0,1$ - относительная погрешность трансформаторов тока.

Уставка выбирается из условия:

$$I_{CP,0} \geq K_H \cdot I_{HB(H)} = 2 \cdot 0,05 \cdot I_H = 0,1 \cdot I_H, \quad (5.2)$$

где $K_H = 2$ - коэффициент надежности.

2) Коэффициент торможения K_T определяет чувствительность защиты к повреждениям при протекании тока нагрузки. Величина K_T выбирается с учетом отстройки защиты от токов небаланса, вызванных погрешностями трансформаторов тока при сквозных коротких замыканиях.

Максимальный ток небаланса при внешнем трехфазном коротком замыкании равен

$$I_{HB(KZ)} = K_{AP} \cdot f_i \cdot K_{ODN} \cdot I_{MAX}, \quad (5.3)$$

где $K_{AP} = 2$ – коэффициент апериодической составляющей;

$f_i = 0,1$ - относительная погрешность трансформаторов тока;

$K_{ODN} = 0,5$ - коэффициент однотипности трансформаторов тока (0,5 - для однотипных ТТ, 1,0 для разных ТТ);

I_{MAX} - максимальный ток через трансформаторы тока в линейных выводах при внешнем трехфазном коротком замыкании в цепи генераторного напряжения;

$$I_{MAX} = \frac{E''_r}{x_d''} \cdot I_H = \frac{1}{0,17} \cdot 3577 = 21041 \text{ A.} \quad (5.4)$$

Таким образом, максимальный ток небаланса равен по (5.2)

$$I_{HB(KZ)} = 2 \cdot 0,1 \cdot 0,5 \cdot 21041 = 2104 \text{ A.}$$

Коэффициент торможения выбирается из условия

$$K_T > \frac{I_{HB(KZ)} \cdot K_H}{I_T}, \quad (5.5)$$

$$K_T > \frac{2104 \cdot 2}{21041},$$

$$K_T > 0,2,$$

где $K_H = 2$ – коэффициент надежности;

I_T - ток трехфазного короткого замыкания на выводах генератора.

Принимаем уставку $K_T = 0,3$.

3) Уставка начального торможения (увеличивает зону работы защиты без торможения):

$$I_{HT} = \frac{I_{*CP}}{K_T} = \frac{0,15}{0,3} = 0,5. \quad (5.6)$$

4) Тормозной ток B определяет точку излома характеристики срабатывания. При выборе B должно выполняться условие:

$$B \geq \frac{I_{*CP}}{K_T} = \frac{0,15}{0,3} = 0,5. \quad (5.7)$$

Принимаем типовое значение уставки $B = 1,5$ (при этом условие выполняется).

На рисунке 5.1 приведена характеристика срабатывания дифференциальной защиты генератора.

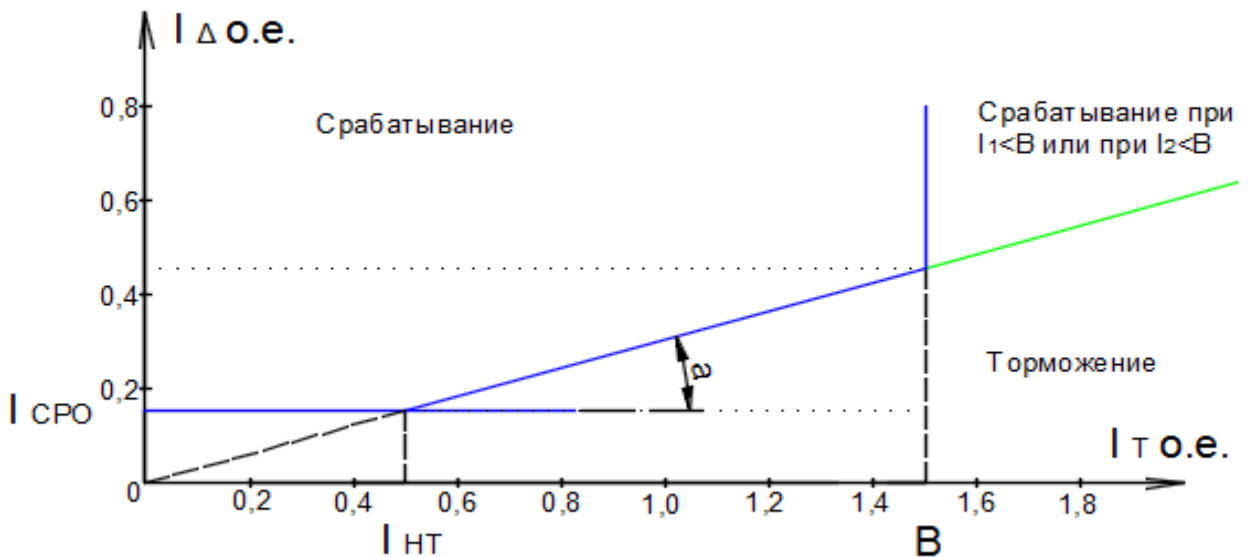


Рисунок 5.1 – Характеристика срабатывания дифференциальной защиты генератора

Задача действует на отключение генератора, гашение полей, останов турбины со сбросом аварийно-ремонтных затворов и на пуск пожаротушения генератора.

5.2.2 Защита от замыканий на землю обмотки статора генератора (U_N (U_o))

Защита обеспечивает 100% охват обмотки статора генератора, работающего в режиме изолированного блока и не имеющего гальванической связи с системой собственных нужд.

Защита выполнена с помощью двух органов напряжения:

1) Первый орган (U_o) реагирует на основную составляющую напряжения нулевой последовательности U_o и защищает 85-95% витков обмотки статора со стороны фазных выводов; U_o включается на напряжение нулевой последовательности $3U_0$ ТН линейных выводов генератора, измеряемое обмоткой «разомкнутый треугольник».

Схема замещения для определения напряжения, обусловленного электростатической индукцией между обмотками трансформатора представлена на рисунке 5.2.

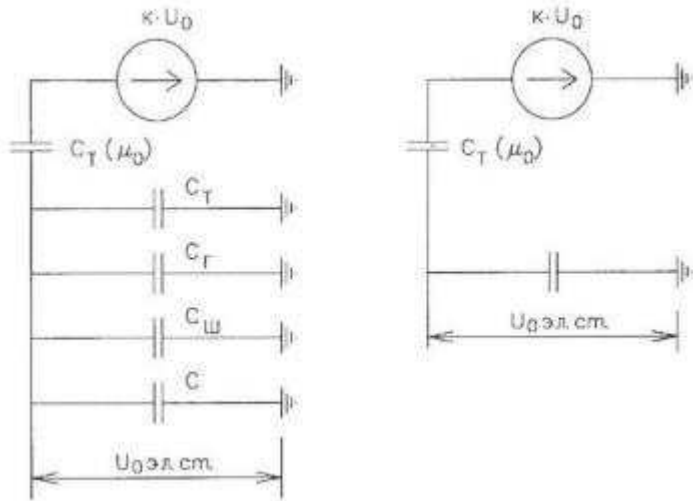


Рисунок 5.2 - Схема замещения для определения напряжения, обусловленного электростатической индукцией между обмотками трансформатора

C_{Γ} – емкость одной фазы обмотки статора генератора на землю;

C_T – емкость одной фазы обмотки НН трансформатора на землю;

$C_{\text{Ш}}$ – емкость шинопровода по отношению к земле;

$C_{\text{ВГ}}$ – емкость генераторного комплекса ВГГ-10.

Суммарная емкость фазы сети генераторного напряжения

$$C_{\Sigma} = C_T + C_{\Gamma} + C_{\text{Ш}} + C_{\text{ВГ}}, \quad (5.8)$$

$$U_{0 \text{ эл.ст.}} = K \cdot U_0 \cdot \frac{C_T(\mu_0)}{C_T(\mu_0) + C_{\Sigma}}, \quad (5.9)$$

где K – коэффициент, учитывающий распределение напряжения U_0 по обмотке ВН трансформатора. В соответствии с Руководящими Указаниями для трансформаторов, работающих с глухозаземленной нейтралью, $K = 0,5$;

$C_T(\mu_0)$ – емкость между обмотками высшего и низшего напряжения одной фазы трансформатора, $C_T(\mu_0) = 0,009 \frac{\text{мкФ}}{\text{фазу}}$;

U_0 – напряжение нулевой последовательности при замыкании на землю на стороне высшего напряжения трансформатора. Принимается равным

$$U_0 = \frac{1}{3} \cdot U_{\text{НОМ ВН}} / \sqrt{3} = \frac{1}{3} \cdot \frac{242}{\sqrt{3}} = 46,57 \text{ кВ}, \quad (5.10)$$

Суммарный емкостной ток сети 13,8 кВ

$$I_C = 1,73 \cdot U_{\text{Л}} \cdot \omega \cdot C_{\Sigma} = 1,73 \cdot 13,8 \cdot 314 \cdot 1,215 \cdot 10^{-6} = 9,11 \text{ А.} \quad (5.11)$$

Напряжение нулевой последовательности на выводах генератора при однофазных замыканий на стороне 220 кВ

$$U_{0 \text{ эл.ст.}} = 0,5 \cdot 46570 \cdot \frac{0,009}{0,009 + 1,215} = 171,2 \text{ В.}$$

Напряжение срабатывания защиты определится из выражения

$$U_{CP} \geq \frac{K_H}{K_B} \cdot \frac{3}{n_{TH}} \cdot U_{0 \text{ эл.ст.}}, \quad (5.12)$$

$$U_{CP} \geq \frac{1,5}{0,95} \cdot \frac{3 \cdot 171,2}{\frac{13,8}{\sqrt{3} \cdot \frac{0,1}{3}}}.$$

$$U_{CP} \geq 3,4,$$

где $K_H = 1,5$ – коэффициент надежности;

n_{TH} – коэффициент трансформации ТН;

$K_B = 0,95$ – коэффициент возврата.

U_0 имеет уставку срабатывания по напряжению нулевой последовательности, регулируемую в диапазоне от 5 до 20 В.

Принимаем следующие уставки: U_{01G} с уставкой 5 В действует с выдержкой времени 9,0 с действует на сигнал; U_{02G} с уставкой 10 В и выдержкой времени 0,5 с действует на разгрузку агрегата; U_{0G} с уставкой равной 15 В и выдержкой времени 0,5 с действует на отключение выключателя генератора, гашение полей ГГ и ВГ и останов турбины со сбросом аварийно-ремонтных затворов.

2) Второй орган U_{03} реагирует на соотношение напряжение третьей гармоники в нейтрали на выводах генератора и защищает порядка 30% витков обмотки статора со стороны нейтрали.

Для органа U_{03} уставка по коэффициенту торможения регулируется от 1 до 3.

Расстояние от нейтрали генератора до места замыкания в обмотке статора зависит от K_T

$$X = \frac{1}{K_T+2} = \frac{1}{3,1} = 32,25\%. \quad (5.13)$$

При $K_T = 1,1$ орган U_{03} работает селективно и защищает 32,3 % обмотки статора со стороны нейтрали.

Защита с выдержкой времени 0,5 с действует на отключение выключателя генератора, гашение полей и останов турбины со сбросом аварийно-ремонтных затворов.

5.2.3 Защита от повышения напряжения (U1>), (U2>)

1) Уставка защиты U2> выбирается

$$U_{CP2} = \frac{1,4 \cdot U_H}{n_{TH}} = \frac{1,4 \cdot 13800}{13800/100} = 140 \text{ В.} \quad (5.14)$$

2) В дополнение к вышеуказанной защите на генераторе предусмотрен второй орган U1> с уставкой $1,2 \cdot U_H$, предназначенный для работы в режиме холостого хода или при сбросе нагрузки.

U1> вводится в работу в режиме холостого хода генератора.

Уставка U1> рассчитывается

$$U_{CP1} = \frac{1,2 \cdot U_H}{n_{TH}} = \frac{1,2 \cdot 13800}{13800/100} = 120 \text{ В.} \quad (5.15)$$

Уставка органа тока, контролирующего отсутствие тока в цепи генератора и на стороне 220 кВ принимается минимальной и равной $0,09 \cdot I_H$.

Защита с выдержкой времени 0,5 с действует на отключение выключателя генератора, гашение полей.

5.2.4 Защита обратной последовательности от несимметричных перегрузок и внешних несимметричных коротких замыканий (I2)

Защита предназначена для ликвидации недопустимых перегрузок генератора токами обратной последовательности при внешних несимметричных междуфазных коротких замыканиях и других несимметричных режимах энергосистемы, а также при несимметричных коротких замыканиях в самом генераторе.

Защита реагирует на относительный ток обратной последовательности I_{*2}

$$I_{*2} = \frac{I_2}{I_H}, \quad (5.16)$$

где I_2 – ток обратной последовательности в первичной цепи генератора,

I_H – номинальный ток генератора в первичной цепи.

Допустимая длительность несимметричного режима при неизменном значении тока I_2 характеризуется выражением

$$t_{\text{доп}} = \frac{A}{I_{*2}^2}, \quad (5.17)$$

где $A = 30$ – параметр, заданный заводом-изготовителем.

Защита содержит следующие функциональные органы:

1) Сигнальный орган ($I_{2\text{сигн}}$), срабатывающий при увеличении тока I_2 выше значения уставки срабатывания с независимой выдержкой времени (действует на сигнал).

Принимаем уставку сигнального органа: $I_{*2\text{сигн}} = 0,07$;

$$I_{2\text{сигн}} = 0,07 \cdot I_H = 0,07 \cdot 3577 = 250,39 \text{ A.} \quad (5.18)$$

2) Пусковой орган ($I_{2\text{пуск}}$) срабатывает без выдержки времени при увеличении значения I_2 выше уставки срабатывания и осуществляет пуск интегрального органа. Ток срабатывания пускового органа выбирается по условию обеспечения надежного пуска интегрального органа при $t_{\text{МАКС}} = 600$ с.

При этом

$$I_{*2} = \sqrt{\frac{A}{t}} = \sqrt{\frac{30}{600}} = 0,22. \quad (5.19)$$

Уставка равна

$$I_{*2\text{пуск}} = \frac{I_{*2}}{K_H} = \frac{0,22}{1,2} = 0,18, \quad (5.20)$$

где $K_H = 1,2$ – коэффициент надежности.

$$I_{2\text{пуск}} = 0,18 \cdot I_H = 0,86 \text{ A.} \quad (5.21)$$

При этом допустимая длительность перегрузки может быть определена по тепловому действию тока, равного $I_{*2\text{пуск}} = 0,18$

$$t_{\text{ДОП}} = \frac{A}{I_{*2\text{пуск}}^2} = \frac{30}{0,18^2} \approx 926 \text{ с.} \quad (5.22)$$

3) Интегральный орган срабатывает при удаленных несимметричных режимах, сопровождающихся токами перегрузки I_2 с зависимой от тока выдержкой времени, определяемой уравнением

$$t_{\text{CP}} = \frac{30}{(I_{*2})^2}, \quad (5.23)$$

$$A_{\text{ИО}} = 30 = I_{*2}^2 \cdot t_{\text{CP}}.$$

Допустимая длительность протекания токов обратной последовательности в генераторе представлена в таблице 5.1.

Таблица 5.1 - Допустимая длительность протекания токов обратной последовательности в генераторе

Кратность перегрузки по току обратной последовательности I_2/I_H	1,0	0,6	0,5	0,4	0,3	0,2
Длительность (с)	30	83	120	187	333	750

Характеристика интегрального органа защиты обратной последовательности от несимметричных перегрузок и внешних несимметричных коротких замыканий (I_2) представлена на рисунке 5.3.

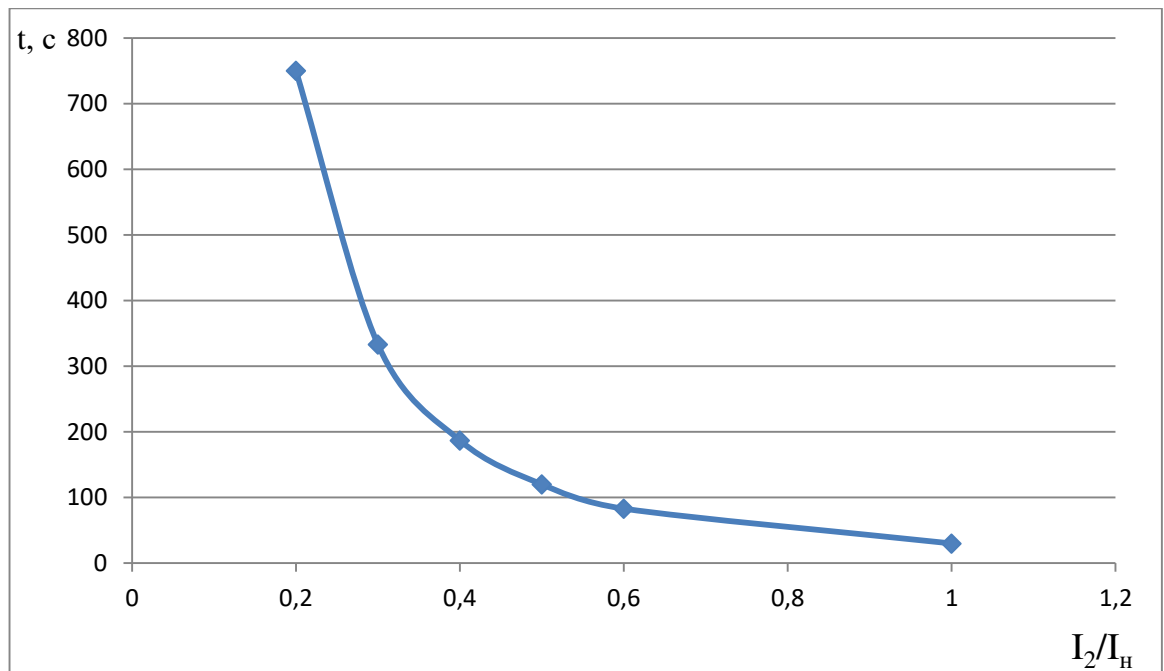


Рисунок 5.3 - Характеристика интегрального органа защиты обратной последовательности от несимметричных перегрузок и внешних несимметричных коротких замыканий (I_2)

Интегральный орган имитирует процесс охлаждения статора генератора после устранения перегрузки по экспоненциальному закону. При этом промежуток времени, за который перегрев генератора снижается от максимально допустимой величины до 0,135 от этой величины, условно называется временем «полного охлаждения» ($\tau_{охл}$) и регулируется в диапазоне от 10 до 999 с. Этот параметр выставляется согласно указаниям завода-изготовителя ($\tau_{охл} = 100$ с).

4) Орган токовой отсечки (I_{20TC}) срабатывает с независимой выдержкой времени при увеличении тока I_2 выше уставки срабатывания органа и является защитой от внешних несимметричных коротких замыканий.

Ток срабатывания органа отсечки определяется из следующих условий:

1. Из условия предотвращения перегрева ротора при протекании тока обратной последовательности;

2. Из условия обеспечения чувствительности при двухфазном коротком замыкании на шинах ВН блока и на отходящих ВЛ.

3. Из условия согласования по чувствительности и времени действия с защитами ВЛ.

По первому условию: выбор тока срабатывания производится по кривой предельной длительности протекания через генератор токов обратной последовательности

По второму условию:

а) по условию обеспечения чувствительности при двухфазных коротких замыканиях на шинах ВН блока

$$I_{2C.3.}^* \leq \frac{I_{\text{МИН}}^2}{K_{\text{Ч}}} = \frac{1}{1,3 \cdot (x_{d*}'' + x_{\Gamma*} + 2 \cdot x_{T*})} = \frac{1}{1,3 \cdot (61,5 + 92,3 + 2 \cdot 0,00088)} = 0,005 \text{ о. е.}, \quad (5.24)$$

где $x_{d*}'' = x_d'' \left(\frac{U_{\text{ВН}}}{U_{\text{НН}}} \right)^2 = 0,2 \left(\frac{242}{13,8} \right)^2 = 61,5$ - сверхпереходное сопротивление генератора по продольной оси, приведенное к высокой стороне напряжения;

$x_{\Gamma*} = x_{\Gamma} \left(\frac{U_{\text{ВН}}}{U_{\text{НН}}} \right)^2 = 0,3 \left(\frac{121}{10,5} \right)^2 = 92,3$ - сопротивление обратной последовательности генератора, приведенное к высокой стороне напряжения;

$x_{T*} = \frac{U_K \%}{100} \cdot \frac{S_B}{S_{\text{НОМ}}} = \frac{0,11}{100} \cdot \frac{100}{125} = 0,00088$ - сопротивление трансформатора в относительных единицах.

Ток срабатывания защиты на стороне генераторного напряжения

$$I_{2C.3.}^* = I_{2C.3.}^* \cdot 2 \cdot \frac{U_{\text{ВН}}}{U_{\text{НН}}} = 0,005 \cdot 2 \cdot \frac{242}{13,8} = 0,175 \text{ о. е.}$$

б) по условию обеспечения чувствительности к повреждениям в конце линий 220 кВ при отключении выключателей на противоположном конце ВЛ и работе всех генераторов:

При двухфазном КЗ в конце линии:

$$I_{2C.3.}^* \leq \frac{I_{\text{МИН}}^2}{K_{\text{Ч}}} = \frac{1}{1,2 \cdot (x_{d*}'' + x_{\Gamma*} + 2 \cdot x_{T*} + 2 \cdot x_{\pi}^*)} = \frac{1}{1,2 \cdot (61,5 + 92,3 + 2 \cdot 0,00088 + 2 \cdot 0,007)} = \\ = 0,005 \text{ о. е.},$$

где $x_{\pi}^* = \frac{S_6}{U_6^2} \cdot x_{\pi} = \frac{100}{242^2} \cdot 4,02 = 0,007$.

Ток срабатывания защиты на стороне генераторного напряжения

$$I_{2C.3.} = I_{2C.3.}^* \cdot 2 \cdot \frac{U_{\text{ВН}}}{U_{\text{НН}}} = 0,005 \cdot 2 \cdot \frac{242}{13,8} = 0,17 \text{ о. е.}$$

По третьему условию: ток срабатывания выбирается исходя из согласования по чувствительности с резервными защитами линии. В связи с отсутствием необходимых данных принимаем уставку срабатывания по второму условию.

Отсечка действует с выдержкой времени 8 с на отключение секционных выключателей 8,5 с на отключение блочных выключателей 220 кВ и выключателей ТСН, с выдержкой времени 9,0 с на отключение выключателя генератора и гашение полей.

5.2.5 Защита от симметричных перегрузок(I_1)

Защита предназначена для ликвидации недопустимых перегрузок обмоток статора. Защита выполнена с зависимой от тока выдержкой времени и содержит следующие функциональные органы:

1) Сигнальный орган, срабатывающий с независимой выдержкой времени при увеличении тока выше значения уставки срабатывания и действующий в предупредительную сигнализацию.

Уставка сигнального органа

$$I_{\text{сигн}} = \frac{K_H \cdot I_H}{K_B} = \frac{1,05 \cdot I_H}{0,98} = 1,07 \cdot I_H, \quad (5.25)$$

где $K_H = 1,05$ – коэффициент надежности;

$K_B = 0,98$ – коэффициент возврата.

Выдержка времени $t = 9$ с.

2) Пусковой орган, срабатывающий без выдержки времени при увеличении тока выше уставки срабатывания и осуществляющий пуск интегрального органа.

Уставка пускового органа

$$I_{1\text{пуск}} = \frac{1,08 \cdot I_H}{0,98} = 1,1 \cdot I_H. \quad (5.26)$$

3) Интегральный орган срабатывает с зависимой выдержкой времени.

Уставка интегрального органа определяется по интегральной перегрузочной характеристике обмотки статора, приведенной в таблице 5.5.

Таблица 5.5 - Уставка интегрального органа, определяемая по интегральной перегрузочной характеристике обмотки статора

Кратность перегрузки I/I_H	1,1	1,15	1,2	1,25	1,3	1,4	1,5	2,0	2,2
Длительность перегрузки (с)	3800	1200	450	340	280	160	80	3	1

Характеристика интегрального органа защиты от симметричных перегрузок (I_1) представлена на рисунке 5.4.

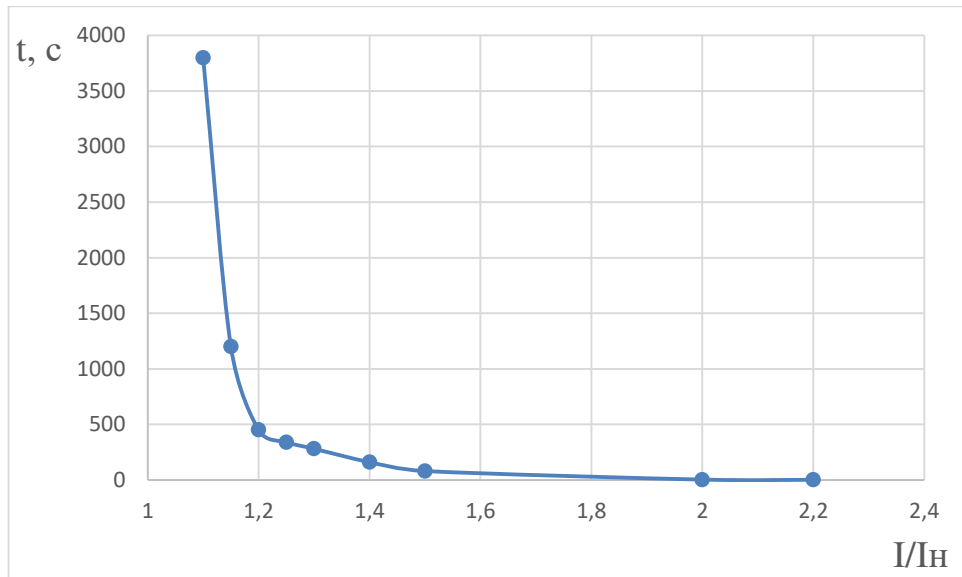


Рисунок 5.4 - Характеристика интегрального органа защиты от симметричных перегрузок (I_1)

Интегральный орган защиты через отключающий орган действует на отключение выключателя генератора, гашение полей.

Уставка выдержки времени отключающего органа принимается минимальной и равной 0,01 с.

4) Орган токовой отсечки, срабатывающий с независимой выдержкой времени при увеличении тока выше значения уставки срабатывания.

Уставка органа отсечки

$$I_{10TC} = \frac{1,2 \cdot I_{nOM}}{0,98} = 1,224 \cdot I_{nOM}, \quad (5.27)$$

Токовая отсечка выполнена с пуском по минимальному напряжению $U_\Gamma <$. Напряжение срабатывания принято равным:

$$U_{CP} = \frac{0,68 \cdot U_{nOM}}{K_B \cdot n_T} = \frac{0,68 \cdot 13800}{1,03 \cdot \frac{13800}{100}} = 66 \text{ В.} \quad (5.28)$$

Отсечка действует с выдержкой времени 8 с на отключение секционных выключателей 8,5 с на отключение блочных выключателей 110 кВ и выключателей ТСН, с выдержкой времени 9,0 с на отключение выключателя генератора и гашение полей.

5.2.6 Дистанционная защита генератора ($Z_1 <$), ($Z_2 <$)

Задача выполняется на основе дистанционных органов и подключается к измерительным трансформаторам тока в нейтрали генератора и трансформаторам напряжения на выводах генератора.

Характеристика срабатывания задается в виде круга, расположенного в I и II квадранте со смещением в III и IV квадрант комплексной плоскости сопротивлений.

1) Сопротивление срабатывания первой ступени выбирается по условию обеспечения действия с выдержкой времени не более 1с. Указанная выдержка времени принимается по условию согласования с первыми ступенями защит линий, отходящих от шин ГЭС.

Согласование производится для условий работы на шинах 220 кВ ГЭС одного блока. Z_1 , приведенное к напряжению 220 кВ, может быть принято:

а) по согласованию с первой ступенью защит вл 220 кВ Петровской ГЭС – п/ст Красный Яр

$$Z_1 \leq 0,8 \cdot \left(Z_T + \frac{Z'_{1L}}{K_T} \right) = 0,8 \cdot \left(64,4 + \frac{5,2}{5} \right) = 52,35 \text{ Ом}, \quad (5.29)$$

где K_T – коэффициент, учитывающий, что линии параллельны;

Z_T – сопротивление трансформатора, приведенное к напряжению стороны 220 кВ;

$$Z_T = \frac{0,11 \cdot 242^2}{100} = 64,4 \text{ Ом}.$$

В относительных единицах, приведенных к номинальным параметрам генератора

$$Z_{1 \text{ o.e.}} \leq 0,8 \cdot 0,11 \cdot \frac{95}{125} + \frac{0,8}{5} \cdot \frac{95}{242^2} \cdot 5,2 = 0,068, \quad (5.30)$$

Z_1 в первичных Омах составит

$$Z_1 = Z_{1 \text{ o.e.}} \cdot Z_6 = 0,068 \cdot 2,00 = 0,14 \text{ Ом}, \quad (5.31)$$

$$\text{где } Z_6 = \frac{U_6^2}{S_{\text{НГ}}} = \frac{13,8^2}{95} = 2,00.$$

Уставка будет равна

$$Z_{1C3} = Z_1 \cdot \frac{n_T}{n_H} = 0,14 \cdot \frac{\frac{4000}{5}}{\frac{13800}{100}} = 0,81 \text{ Ом.}$$

Принимаем уставку $Z_1 = 0,81 \text{ Ом}$.

2) Функция ΔZ отличает повреждение от качаний в энергосистеме по скорости относительного изменения полного сопротивления. Уставка функции ΔZ , в связи с отсутствием исходных данных, принимается исходя из данных, рассчитанных ранее, $\Delta Z = 30 \frac{\text{Ом}}{\text{сек}}$.

3) Сопротивление срабатывания второй ступени выбирается из условия отстройки от режима нагрузки и режима форсировки возбуждения.

Сопротивление нагрузки в нормальном режиме

$$Z_{\text{НАГР}} = \frac{U_{\text{НОМ}}}{\sqrt{3} \cdot I_{\text{НАГР}}} = \frac{13,8 \cdot 10^3}{\sqrt{3} \cdot 3577} = 2,23 \text{ Ом},$$

где $I_{\text{НАГР}}$ – номинальный ток статора, А.

Для определения сопротивления нагрузки в режиме форсировки возбуждения генератора выполняется расчет тока статора при двойном токе возбуждения ($2 \cdot I_{\text{В.Н.}}$) и напряжения на зажимах статора $0,95 \cdot U_{\text{Н}}$ (без учета насыщения)

$$I_{\Phi} = \frac{\frac{2 \cdot I_{\text{В.НОМ}} - 0,95}{I_{\text{В.Х.Х.}}} = \frac{2 \cdot 985 - 0,95}{615}}{x_d} = 0,50 = 4,5 \text{ А}, \quad (5.32)$$

где $I_{\text{В.Х.Х.}}$ – ток ротора холостого хода, А;

x_d – синхронное индуктивное сопротивление генератора по продольной оси.

Принимаем $I_{\Phi} = 2,5 \text{ А}$.

Соответственно сопротивление нагрузки в этом режиме

$$Z_{\text{НАГР.Ф}} = \frac{0,95 \cdot U_{\text{Н}}}{I_{\Phi}} = \frac{0,95 \cdot 1}{2,5} = 0,38 \text{ о. е.}, \quad (5.33)$$

$$\cos \varphi_{\text{НАГР.Ф}} = \frac{\cos \varphi_{\text{Н}}}{0,95 \cdot I_{\Phi}} = \frac{0,9}{0,95 \cdot 2,5} = 0,38, \quad (5.34)$$

Угол нагрузки в режиме форсировки равен $\varphi_{\text{НАГР.Ф}} = 67,7^\circ$.

Сопротивление срабатывания защиты может быть принято:

$$Z_{II \text{ о.е.}} = \frac{Z_{\text{НАГР.Ф}}}{K_{\text{Н}}} = \frac{0,38}{1,1} = 0,34 \text{ о. е.}, \quad (5.35)$$

$$Z_{C3II} = Z_{II \text{ о.е.}} \cdot Z_B = 0,34 \cdot \frac{13,8^2}{95} = 0,68 \text{ Ом}. \quad (5.36)$$

Значение уставки составит

$$Z_{C3II} = \frac{Z_{C3II} \cdot n_T}{n_H} = \frac{0,68 \cdot 4000 / 5}{13800 / 100} = 3,9 \text{ Ом}, \quad (5.37)$$

Принимаем уставку $Z_H = 3,9 \Omega$.

Величина смещения характеристики срабатывания по оси максимальной чувствительности составляет 12%. Уставки по сопротивлению смещения $Z_{CM1} = 0,1 \Omega$, $Z_{CM2} = 0,47 \Omega$.

Выдержка времени второй ступени должна быть отстроена от наибольшей выдержки времени резервных защит линий.

Вторая ступень действует с выдержкой времени 8 с на отключение секционных выключателей 8,5 с – на отключение блочных выключателей 220 кВ и выключателей ТСН, с выдержкой времени 9,0 с на отключение генератора и гашение полей ГГ и ВГ.

Характеристика срабатывания дистанционной защиты представлена на рисунке 1.5.

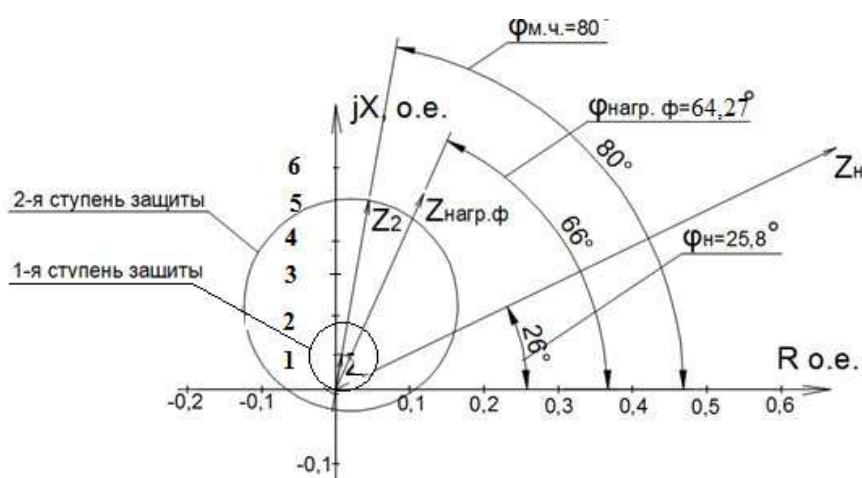


Рисунок 5.5 - Характеристика срабатывания дистанционной защиты

Таблица уставок и матрица отключений защит представлены в ПРИЛОЖЕНИЕ К.

5.2.6 Защита от перегрузки обмотки ротора

Защита предназначена для ликвидации недопустимых перегрузок обмоток ротора. Защита выполнена с зависимой от тока выдержкой времени. Защита содержит следующие функциональные органы:

1) Сигнальный орган, срабатывающий с независимой выдержкой времени при увеличении тока выше значения уставки срабатывания и действующей в предупредительную сигнализацию. Уставка сигнального органа:

$$I_P \text{ СИГН.} = \frac{K_H \cdot I_{HOM.P}}{K_B} = \frac{1,05 \cdot I_{HOM.P}}{0,98} = 1,07 \cdot I_{HOM.P}. \quad (5.38)$$

2) Пусковой орган, срабатывающий без выдержки времени при увеличении тока выше уставки срабатывания и осуществляющий пуск интегрального органа. Уставка пускового органа:

$$I_{P \text{ пуск.}} = \frac{1,08 \cdot I_{\text{НОМ.Р}}}{0,98} = 1,1 \cdot I_{\text{НОМ.Р.}} \quad (5.39)$$

3) Интегральный орган, срабатывающий с зависимой от тока выдержкой времени, заданной в табличной форме, и действующей на отключение выключателя генератора, гашение полей.

Таблица 5.6 – Перегрузочная способность обмотки ротора

Кратность перегрузки I/I_H	1,1	1,15	1,2	1,25	1,3	1,4	1,5	2,0	2,2
Длительность перегрузки (с)	длительно	250	180	160	120	90	72	45	20

Характеристика интегрального органа защиты от перегрузки обмотки ротора представлена на рисунке 5.6.

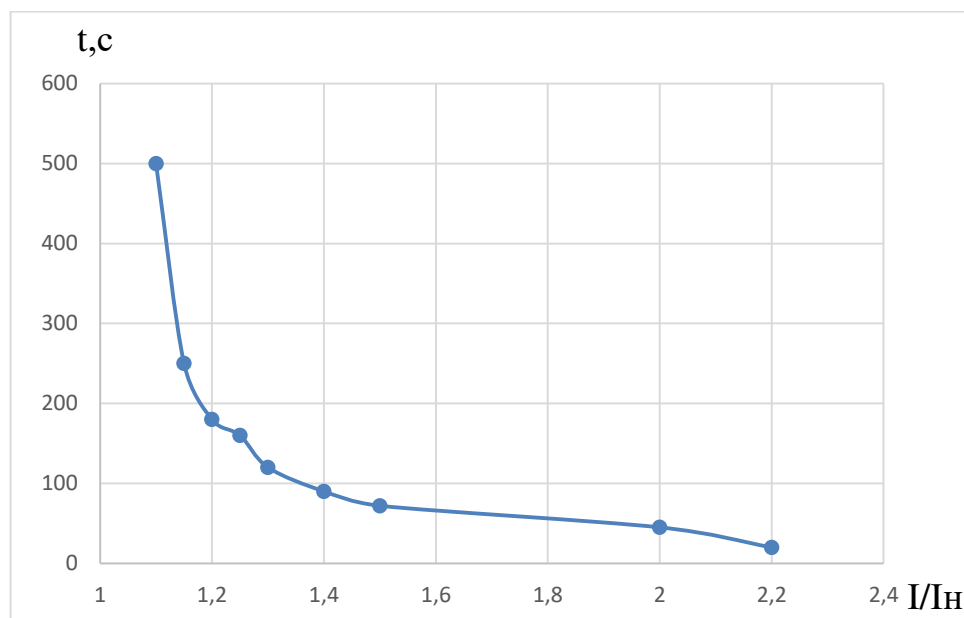


Рисунок 5.6 - Характеристика интегрального органа защиты от перегрузки обмотки ротора

4) Орган токовой отсечки, срабатывающий с независимой выдержкой времени при увеличении тока выше значения уставки срабатывания. Уставка органа отсечки:

$$I_{P \text{ пуск.}} = \frac{2,35 \cdot I_{\text{НОМ.Р}}}{0,98} = 2,19 \cdot I_{\text{НОМ.Р.}} \quad (5.40)$$

Выдержка времени токовой отсечки принимается 3,0 с. Защита действует на отключение выключателя генератора, гашение полей.

6 Компоновка гидроузла, выбор типа и расчёт основных сооружений

Установленная мощность проектируемой ГЭС 171 МВт, максимальный напор составляет 27,2 м. Полный объем водохранилища 4,07 км³. Основание несколькое, песчано-гравийное. В зависимости от высоты и типа грунтов основания класс проектируемой плотины должен быть II, а по социально-экономическому критерию (объем водохранилища) данной плотине соответствует I класс. Таким образом, основные гидротехнические сооружения Петровской ГЭС принимаем по I классу [18]. Геологический разрез створа Октябрьской ГЭС представлен в ПРИЛОЖЕНИИ Л.

В состав основных гидротехнических сооружений включено:

- глухая правобережная грунтовая плотина;
- бетонная водосливная плотина;
- русловое здание ГЭС;
- глухая левобережная грунтовая плотина;
- разделительный устой между водосливной и станционной частью;
- сопрягающие устои.

6.1 Проектирование сооружений напорного фронта

6.1.1 Определение отметки гребня плотины

Отметку гребня бетонной плотины находим по формуле

$$\nabla \Gamma \text{БП} = \nabla \text{НПУ} + h_s, \quad (6.1)$$

где h_s – превышение гребня плотины над расчётным уровнем в верхнем бьефе.

Высота наката волн

$$h_s = h_{1\%} + \Delta h_{set} + a, \quad (6.2)$$

где $h_{1\%}$ – высота волны с обеспеченностью 1%;

Δh_{set} – высота ветрового нагона;

a – конструктивный запас, принимаемый не менее 1,0 м.

Для основного сочетания нагрузок.

Высота ветрового нагона определяется по формуле

$$\Delta h_{set} = 1,65 \cdot 10^{-6} \cdot \frac{V_w^2 \cdot L}{g \cdot d} \cdot \cos \alpha, \quad (6.3)$$

где V_w – расчётная скорость ветра на высоте 10 м над уровнем воды, принимаем $V_w = 15$ м/с;

L – длина разгона волны, принимаем $L = 11000$ м;

α – угол между продольной осью водохранилища и направлением господствующих ветров, принимаем 0;

d – условная расчётная глубина воды в водохранилище, рассчитываемая по формуле:

$$d = \frac{V_{\text{НПУ}} - V_{\text{дна}}}{2} = \frac{179 - 146}{2} = 16,5 \text{ м}, \quad (6.4)$$

$$\Delta h_{\text{set}} = 1,65 \cdot 10^{-6} \cdot \frac{15^2 \cdot 11000}{9,81 \cdot 16,5} \approx 0,025 \text{ м.}$$

Определяется высота волны 1% обеспеченности для основного случая:

Вычисляем безразмерные комплексы $\frac{g \cdot L}{V_w^2}$ и $\frac{g \cdot t}{V_w}$, где t – период развития волн на водохранилище, $t=6$ ч.

$$\frac{g \cdot L}{V_w^2} = \frac{9,81 \cdot 11000}{6^2} = 2997;$$

$$\frac{g \cdot t}{V_w} = \frac{9,81 \cdot 21600}{6} = 35316.$$

По графику по верхней огибающей кривой графика на рисунке 6.1, используя значения $\frac{g \cdot t}{V_w}$ и $\frac{g \cdot L}{V_w^2}$, определяем параметры $\frac{g \bar{h}}{V_w^2}$ и $\frac{g \bar{T}}{V_w}$.

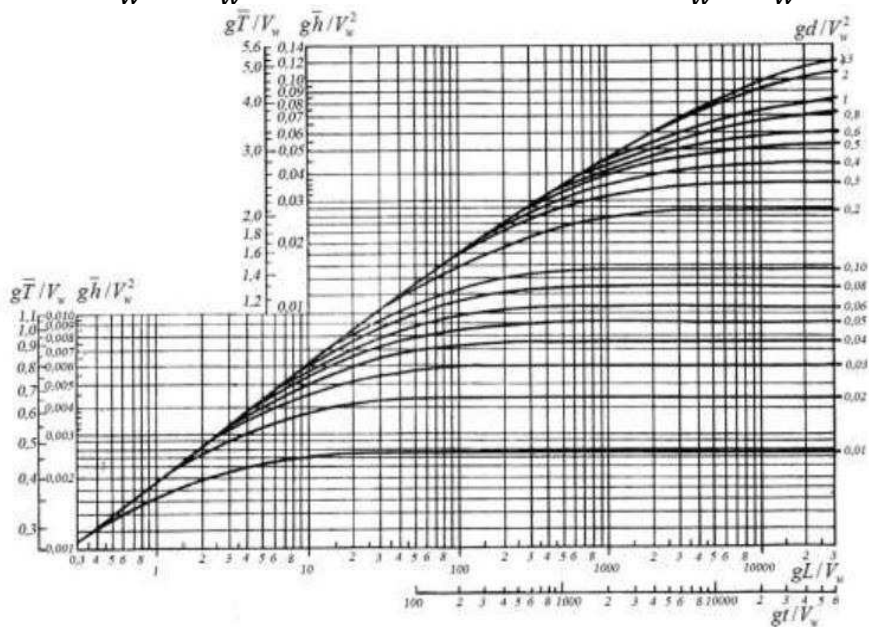


Рисунок 6.1 - Графики для определения элементов ветровых волн в глубоководной и мелководной зонах

Принимаем меньшие полученные значения

$$\frac{g \cdot \bar{h}}{V_w^2} = 0,08; \quad \frac{g \cdot \bar{T}}{V_w} = 3,6.$$

Определим средний период волны \bar{T} и среднюю высоту волны \bar{h}

$$\bar{h} = \frac{0,034 \cdot V_w^2}{g} = \frac{0,034 \cdot 6^2}{9,81} = 0,25 \text{ м}, \quad (6.5)$$

$$\bar{T} = \frac{2,44 \cdot V_w}{g} = \frac{3,6 \cdot 6}{9,81} = 2,202 \text{ с}. \quad (6.6)$$

Средняя длина волны

$$\bar{\lambda}_d = \frac{g \cdot \bar{T}^2}{2 \cdot \pi} = \frac{9,81 \cdot 2,202^2}{2 \cdot 3,14} = 7,57 \text{ м}. \quad (6.7)$$

Условие $d > 0,5\bar{\lambda}_d$ выполнено, следовательно, расчет произведен, верно, для глубоководной зоны.

Определим высоту волны 1 % обеспеченности:

$$h_{1\%} = \bar{h} \cdot K_i, \quad (6.8)$$

где K_i – коэффициент, определяем по рисунку 6.2 в зависимости от значения $\frac{g \cdot L}{V_w^2}$, принимаем $K_i = 2,25$.

Получаем

$$h_{1\%} = 0,25 \cdot 2,25 = 0,56 \text{ м}.$$

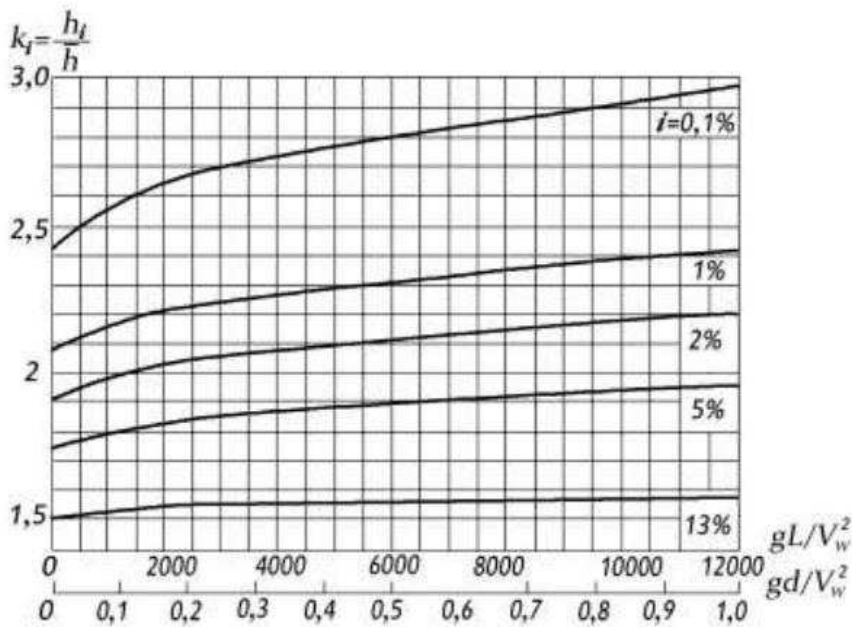


Рисунок 6.2 –Графики значений коэффициента k_i

$$h_s = h_{1\%} + \Delta h_{set} + a = 0,585 + 1,71 \cdot 10^{-3} + 1 \approx 1,6 \text{ м.} \quad (6.9)$$

За отметку гребня быка бетонной водосливной плотины принимается большая из трех:

$$\nabla \Gamma B = \nabla \Gamma ZP = \nabla HPU + h_s = 179,0 + 3,77 \approx 183 \text{ м,} \quad (6.10)$$

$$\nabla \Gamma P = \nabla \Gamma ZP = \nabla \Phi PU + h_s = 180,0 + 1,6 \approx 182 \text{ м,} \quad (6.11)$$

$$\nabla \Gamma B = \nabla \Gamma B + 1,6 \cdot H_{ct} = 173 + 1,6 \cdot 6 = 182 \text{ м.} \quad (6.12)$$

где $\nabla \Gamma B$ – отметка гребня водослива, определяется гидравлическими расчётами;

H_{ct} – напор на гребне водослива (стандартный), определённый гидравлическими расчётами.

Принимаем наибольшее значение $\nabla \Gamma B = 183$ м.

6.2 Гидравлические расчёты

Гидравлическими расчётами устанавливают: ширину водосливного фронта и размеры водосливных отверстий, отметку гребня водослива, форму водосливной грани и сопряжение её с водобоем, форму сопряжения быев, размеры гасителей энергии воды в нижнем быфе.

6.2.1 Определение ширины водосливного фронта

Определяем расчётный расход

$$Q_p = Q_{\text{осн. max}} - Q_{\text{ГЭС}} = Q_{\text{осн. max}} - (n - 1) = 2879 - (2 - 1) \cdot 450,5 = 2428,5 \text{ м}^3/\text{с}. \quad (6.13)$$

Ширина водосливного фронта

$$B = \frac{Q_p}{q_B}, \quad (6.14)$$

где q_B – удельный расход на водосливе,

$$q_B = 1,25 \cdot q_p, \quad (6.15)$$

где q_p – удельный расход на рисберме,

$$q_p = [v_h] \cdot h_{\text{НБ}}, \quad (6.16)$$

где $h_{\text{НБ}}$ – глубина воды в нижнем бьефе при максимальном основном расходе ($Q_{\text{осн. max}} = 2879 \text{ м}^3/\text{с}$), определяется по графику $Q = f(H)$, УНБ $Q_{\text{осн. max}}$ 154,0 м;

$[v_h]$ – допустимая скорость на рисберме, принимается в зависимости от грунтов, для песчано-гравийного основания, принимаем 3 м/с.

Получаем

$$h_{\text{НБ}} = \text{УНБ} - \nabla \text{дна} = 154,0 - 146,0 = 8,0 \text{ м}, \quad (6.17)$$

$$q_p = 3,0 \cdot 8,0 = 24,0 \text{ м}^2/\text{с},$$

$$q_B = 1,25 \cdot 24 = 30,0 \text{ м}^2/\text{с}.$$

Тогда ширина водосливного фронта равна

$$B = \frac{2428,5}{30} = 80,95 \text{ м.}$$

Ширина водосливного фронта B :

$$B = b \cdot n, \quad (6.18)$$

где n – число пролётов (не менее 2-3);

b – стандартная ширина пролёта, принимается в соответствии с техническим регламентом заводов-изготовителей гидромеханического оборудования.

Принимаем $b = 12$ м, тогда

$$n = \frac{B}{b} = \frac{80,95}{12} = 6,75$$

полученное значение округлим до ближайшего большего целого числа

$$n = 7.$$

Количество водосливных отверстий принимаем равным $n=7$ (1 запасное).

Ширина водосливного фронта

$$B = 12 \cdot 8 = 96 \text{ м.}$$

При этом, пропуск расчётного расхода воды, для основного расчётного случая, должен обеспечиваться, как правило, при НПУ без учёта дополнительного пролёта, т. е. через водосливной фронт шириной B .

6.2.2 Определение отметки гребня водослива

Из формулы расхода водослива методом последовательных приближений определяется напор на гребне водослива, сначала без учёта сжатия и подтопления - H_{01} , а затем с учётом сжатия и подтопления - H_{02} .

$$H_{01} = \left(\frac{Q_p}{m \cdot B \cdot \sqrt{2g}} \right)^{2/3}, \quad (6.19)$$

где m – коэффициент расхода, для профиля оголовка безвакуумной водосливной стенки типа $m \approx 0,49$.

$$H_{01} = \left(\frac{2428,5}{0,49 \cdot 96 \cdot \sqrt{2 \cdot 9,81}} \right)^{2/3} = 5,14 \text{ м.}$$

Во втором приближении, с учётом бокового сжатия и подтопления, полный напор на водосливе

$$H_{02} = \left(\frac{Q_p}{m \cdot \sigma_\phi \cdot \sigma_{сж} \cdot \sigma_n \cdot B \cdot \sqrt{2g}} \right)^{2/3}, \quad (6.20)$$

где σ_n – коэффициент подтопления, $\sigma_n = 1$;
 $\sigma_{сж}$ – коэффициент бокового сжатия, $\sigma_\phi = 1$;

σ_{ϕ} – коэффициент формы для безвакуумной водосливной стенки Кригера-Офицерова.

$$\sigma_{cж} = 1 - 0,2 \cdot \frac{\varepsilon_y + (n-1) \cdot \varepsilon_b \cdot H_{01}}{n \cdot b}, \quad (6.21)$$

где b – то же что и в формуле (6.18);

ε_y – коэффициент формы береговых устоев;

ε_b – коэффициенты формы бычков;

n – то же что и в формуле (6.18).

$$\sigma_{cж} = 1 - 0,2 \cdot \frac{0,7 + (7 - 1) \cdot 0,45 \cdot 8,45}{7 \cdot 16} = 0,96,$$

$$H_{02} = \left(\frac{2428,5}{0,49 \cdot 1 \cdot 0,95 \cdot 1 \cdot 96 \cdot \sqrt{2 \cdot 9,81}} \right)^{2/3} = 5,28 \text{ м.}$$

Определим напор на гребне водослива без учета скорости подхода потока к водосливу v_0

$$H = H_{02} - \frac{\alpha v_0^2}{2g}, \quad (6.22)$$

где $\alpha = 1,1$ – коэффициент Кориолиса;

H_{02} – полный напор на водосливе во втором приближении, рассчитанный по формуле;

v_0 – скорость подхода потока к водосливу рассчитываемая по формуле:

$$v_0 = \frac{Q_p}{(\nabla \text{НПУ} - \nabla \text{дна})(B + (n-1)\delta_B)}. \quad (6.23)$$

Бык примем разрезным, толщину разрезного бычка принимаем 3 м. Головная часть быка имеет обтекаемую форму для улучшенного обтекания.

Ширина водосливного фронта с учетом размеров быков в плане

$$B_B = B + (n - 1) \cdot \delta_B = 96 + (7 - 1) \cdot 3 = 114 \text{ м.}$$

Получаем

$$v_0 = \frac{2428,5}{(179,0 - 146,0)(96 + (7 - 1) \cdot 3)} = 0,64 \text{ м/с.}$$

$$H = 5,8 - \frac{1,1 \cdot 0,64^2}{2 \cdot 9,81} = 5,8 \text{ м.}$$

Определённый напор на гребне водослива округляем до ближайшего стандартного значения в соответствии с техническим регламентом

$$H_{\text{ст}} = 6,0 \text{ м.}$$

Определим отметку гребня водослива

$$\nabla ГВ = \nabla НПУ - H_{\text{ст}} = 179,0 - 6,0 = 173,0 \text{ м.} \quad (6.24)$$

6.2.3 Построения профиля водосливной грани по координатам Кригера – Офицерова

По проектному напору $H_{\text{пр}} = H_{\text{ст}}$ определяем координаты для построения оголовка плотины практического профиля с оголовком профиля А, исходные значения приняты по справочнику Киселёва П.Г. Табличные координаты умножаются на $H_{\text{ст}} = 6,0 \text{ м.}$

Расчеты сведем в таблицу 6.1.

Таблица 6.1 – Приведённые координаты очертания гребня водосливной стенки (стенки Кригера-Офицерова)

№ точки	X	Y	№ точки	X	Y	№ точки	X	Y
1	0,0	0,756	15	8,4	3,384	29	16,8	14,772
2	0,6	0,216	16	9,0	3,966	30	17,4	15,660
3	1,2	0,042	17	9,6	4,584	31	18,0	16,944
4	1,8	0,000	18	10,2	5,238	32	18,6	18,078
5	2,4	0,036	19	10,8	5,922	33	19,2	19,242
6	3,0	0,162	20	11,4	6,648	34	19,8	20,430
7	3,6	0,360	21	12,0	7,410	35	20,4	21,654
8	4,2	0,600	22	12,6	8,214	36	21,0	22,908
9	4,8	0,876	23	13,2	9,048	37	21,6	24,186
10	5,4	1,188	24	13,8	9,918	38	22,2	25,494
11	6,0	1,536	25	14,4	10,864	39	22,8	26,826
12	6,6	1,926	26	15,0	11,760	40	23,4	28,188
13	7,2	2,364	27	15,6	12,732			
14	7,8	2,850	28	16,2	13,734			

Очертание оголовка плотины практического профиля представлено на рисунке 6.3

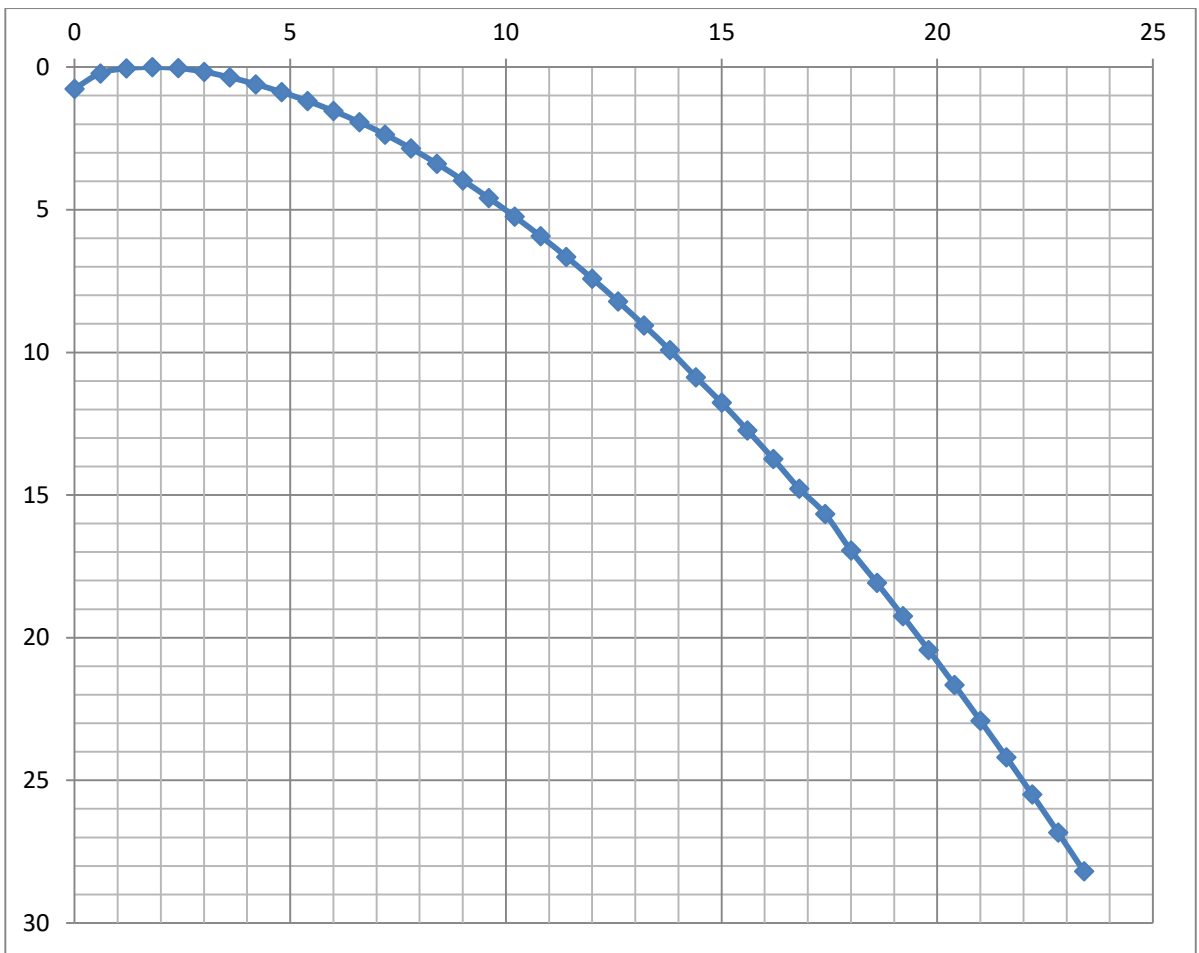


Рисунок 6.3 – Очертание оголовка плотины практического профиля построенного по координатам

6.2.4 Расчёт сопряжения потока в нижнем бьефе

При устройстве плотины необходимо рассчитать глубину в сжатом сечении h_c для определения второй сопряженной глубины h'_c , которую следует сравнить с бытовой глубиной в нижнем бьефе $h_{НБ}$ и по их отношению определить тип сопряжения бьефов (тип гидравлического прыжка).

Определяем параметры гидравлического прыжка.
Предварительно рассчитаем критическую глубину

$$h_{kp} = \sqrt[3]{\frac{\alpha Q_p^2}{B_v^2 g}} = \sqrt[3]{\frac{1,1 \cdot 2428,5^2}{114^2 \cdot 9,81}} = 3,71 \text{ м.} \quad (6.25)$$

Вычисляем полную удельную энергию в сечении перед водосливом:

$$T_0 = \nabla \text{НПУ} - \nabla \text{дна} = 179,0 - 146,0 = 33,0 \text{ м.} \quad (6.26)$$

Определяем отношение

$$\xi_{T_0} = \frac{T_0}{h_{kp}} = \frac{33,0}{3,71} = 8,9. \quad (6.27)$$

По графику М. Д. Чертусова представленном на рисунке 6.4, в зависимости от длины сливной грани, коэффициент скорости φ . Для большой длины сливной грани $\varphi = 0,9$ и $\xi_{T_0} = 8,9$, определяем:

$$\xi_c = 0,273; \quad \xi''_c = 2,6.$$

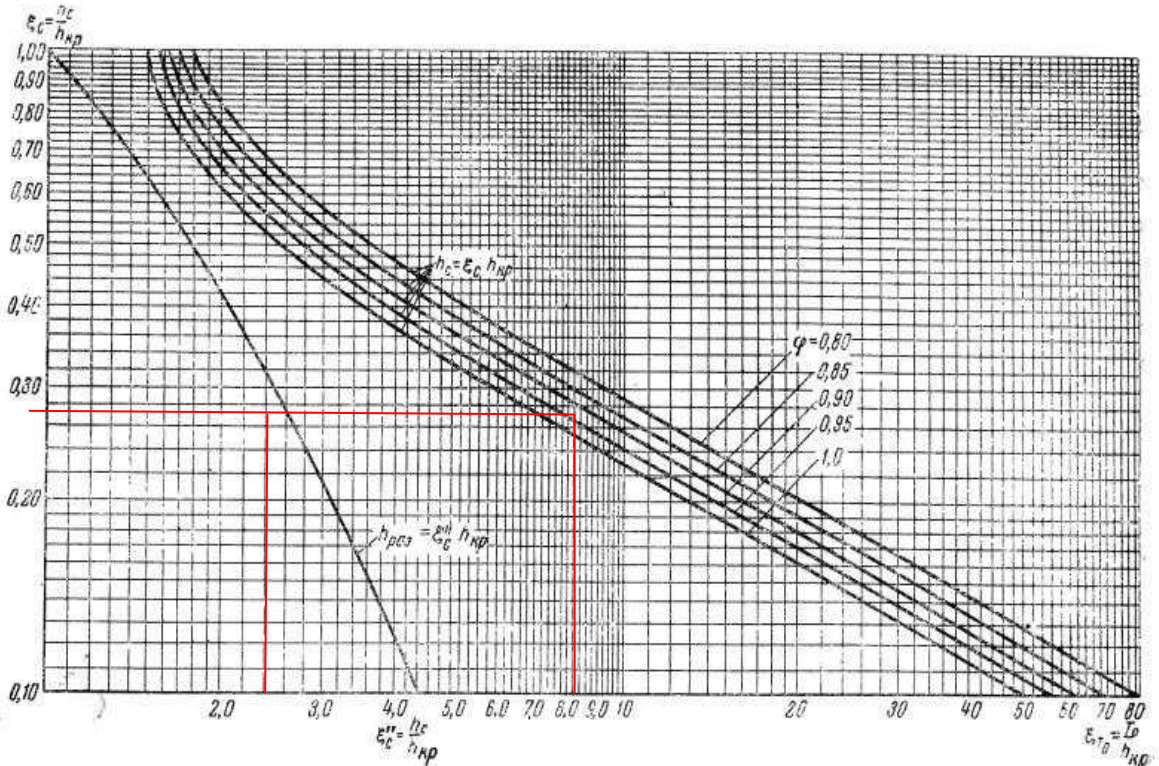


Рисунок 6.4 – График для определения глубины в сжатом сечении и глубины, сопряженной с ней

Вычисляем сопряженные глубины

$$h'_c = \xi_c h_{kp} = 0,273 \cdot 3,71 = 1,01 \text{ м}, \quad (6.28)$$

$$h''_c = \xi''_c h_{kp} = 2,6 \cdot 3,71 = 9,6 \text{ м}. \quad (6.29)$$

Полученное значение второй сопряжённой глубины сравниваем с уровнем воды в нижнем бьефе при максимальном поворочном расходе

$$h''_c = 9,6 > h_{HB} = 8,0$$

Получаем сопряжение по типу отогнанного прыжка. Как правило, отогнанный прыжок за плотиной не допускается и проектируется сопряжение бьефов по типу затопленного прыжка. Для этого необходимо создать в нижнем бьефе соответствующую глубину и погасить часть избыточной энергии с помощью гасителей энергии.

6.2.5 Расчёт гасителей энергии

Для гашения кинетической энергии в нижнем бьефе различают следующие типы гасителей энергии:

1. водобойный колодец;
2. водобойная стенка;
3. водобойный колодец комбинированного типа;
4. специальные гасители энергии.

В качестве гасителя энергии в данном курсовом проекте произведем расчет водобойной стенки (рисунок 6.5).

Толщина водобойной плиты может быть определена по формуле В.Д. Домбровского,

$$\delta_B = 0,15 v_c \sqrt{h_c} \quad (6.30)$$

где v_c – скорость в сжатом сечении,

$$v_c = \frac{Q_p}{B_B \cdot h_c} = \frac{2428,5}{102 \cdot 1,36} = 17,5 \text{ м/с}, \quad (6.31)$$

$$\delta_B = 0,15 \cdot 17,5 \cdot \sqrt{1,36} = 3,0 \text{ м.}$$

Рассчитываем высоту водобойной стенки h_{ct} по формуле,

$$h_{ct} = \sigma h_c'' - H_{ct}. \quad (6.32)$$

где H_{ct} – напор над водобойной стенкой,

$$H_{ct} = \left(\frac{q}{m\sqrt{2g}} \right)^{\frac{2}{3}} - \frac{aq^2}{2g(\sigma h_c'')^2}. \quad (6.33)$$

где σ – коэффициент запаса, принимаем $\sigma = 1,1$;

m – выбирают по типу водослива, принимаем $m = 0,35$;

q – удельный расход через плотину.

$$H_{ct} = \left(\frac{24}{0,35\sqrt{2 \cdot 9,81}} \right)^{\frac{2}{3}} - \frac{1,1 \cdot 24^2}{2 \cdot 9,81(1,1 \cdot 10,9)^2} = 6 \text{ м.}$$

$$h_{ct} = 1,1 \cdot 10,9 - 6 = 6 \text{ м.}$$

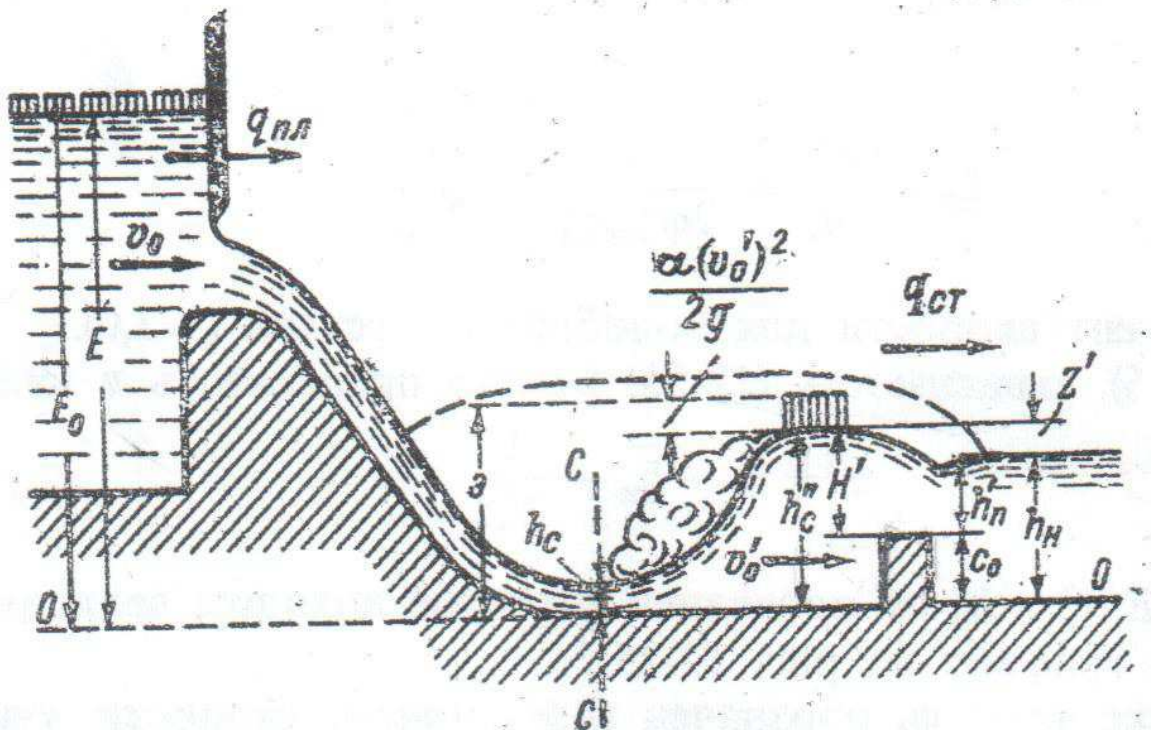


Рисунок 6.5 – Гашение кинетической энергии в нижнем бьефе

Проверим эффективность водобойной стенки.

По графику М.Д. Черткоусова [8] в зависимости от коэффициента скорости φ и ξ_{T_0} определяем ξ'_c и ξ''_c .

$$h_{kp} = \sqrt[3]{\frac{aQ_p^2}{gB_B^2}} = \sqrt[3]{\frac{1,1 \cdot 2428,5^2}{9,81 \cdot 10^2}} = 4 \text{ м}, \quad (6.34)$$

$$\xi_{T_0} = \frac{h''_c}{h_{kp}} = \frac{10,9}{4} = 2,7. \quad (6.35)$$

$\varphi = 0,9$ и $\xi_{T_0} = 2,7$, определяем:

$$\xi_c = 0,54; \quad \xi''_c = 1,4.$$

Вычисляем сопряженные глубины:

$$h'_c = \xi_c h_{kp} = 0,54 \cdot 4 = 2,16 \text{ м},$$

$$h''_c = \xi''_c h_{kp} = 1,4 \cdot 4 = 5,6 \text{ м.}$$

$h''_c < h_{HB}$, $5,6 < 8,0$ следовательно, за водобойной стенкой затопленный прыжок, устройство дополнительных гасителей не требуется.

6.3 Конструирование плотины

6.3.1 Определение ширины подошвы плотины

Наиболее экономичным является треугольный профиль плотины, имеющий минимальную ширину по основанию. Этот профиль должен удовлетворять двум условиям: отсутствию растягивающих напряжений в плотине и устойчивости ее против сдвига по основанию. Схема треугольного профиля плотины представлена на рисунке 6.6.

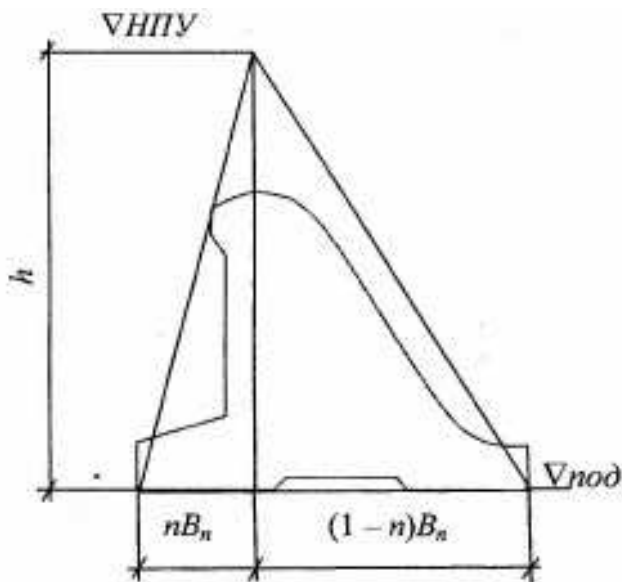


Рисунок 6.6 – Схема треугольного профиля плотины.

Исходя из условия недопущения растягивающих напряжений на верховой грани, определяем ширину подошвы плотины B_n^I

$$B_n^I = \frac{h}{\sqrt{\frac{\rho_b}{\rho_w}(1-n)+n(2-n)-\alpha_1}}. \quad (6.36)$$

где α_1 – коэффициент, учитывающий потерю фильтрационного давления за счет устройства противофильтрационных завес, дренажей и шпунтов, принимаемый 0,5;

ρ_w - плотность воды;

ρ_b - плотность бетона;

$$h = \nabla \text{НПУ} - \nabla \text{под} = 179,0 - 140,0 = 39,0 \text{ м.} \quad (6.37)$$

Отметка подошвы плотины равна

$$\nabla_{\text{под}} = \nabla_{\text{дна}} - (\delta_{\text{в}} + (2 \div 3)) = 146,0 - (3 + 3) = 140,0 \text{ м.} \quad (6.38)$$

Исходя из условия устойчивости плотины против сдвига по основанию, определяем ширину подошвы плотины B_n^H

$$B_n^H = \frac{\gamma_n h}{f \left(\frac{\rho_b}{\rho_w} + n - \alpha_1 \right)}. \quad (6.39)$$

где f – коэффициент трения бетона по грунту, принимаем $f = 0,45$;

γ_n – коэффициент надежности по назначению сооружения, принимаемый в зависимости от класса сооружения, $\gamma_n = 1,25$.

Задаваясь различными n несколько раз, определяем B_n по двум формулам и строим графики зависимости $B_n = f(n)$ представленными на рисунке 6.7. Точка пересечения графиков определит расчетную ширину подошвы.

Таблица 6.2 – Значения для определения расчётной ширины подошвы

n	B_n^1	B_n^H
0,2	29,2	56,1
0,4	31,0	51,3
0,6	34,2	47,2
0,79	39,8	43,8
1	55,2	40,7

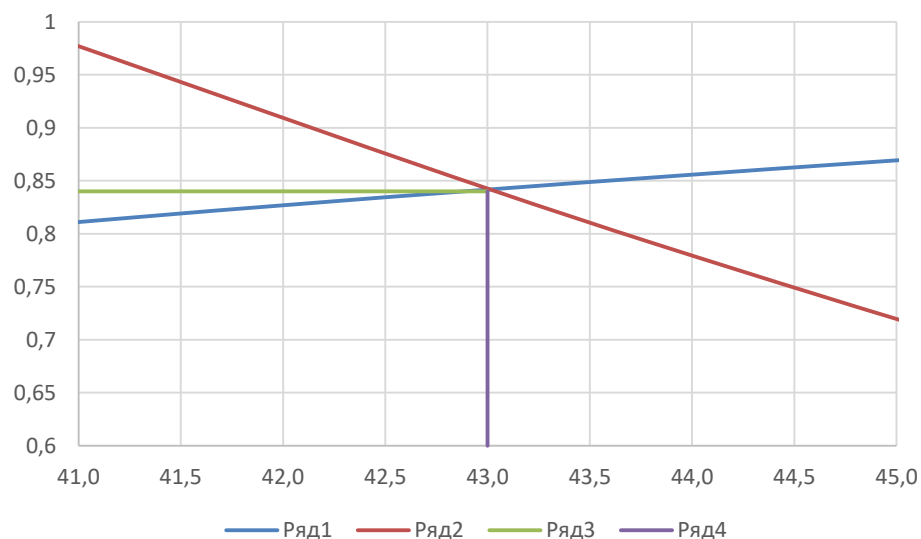


Рисунок 6.7 – Определение ширины подошвы плотины

Графики пересекаются в точке $n = 0,84$ и $B_n = 43$ м, что удовлетворяет условию

$$B = (1,5 \div 2,2)H,$$

где $H = \nabla H_{ПУ} - \nabla H_{НБ_{min}}(Q_{ГЭС}) = 179 - 150,63 = 28,37$ м,

$$B = (1,5 \div 2,2) \cdot 28,37 = (42,55 \div 62,4) \text{м.}$$

Реальный профиль плотины отличается от теоретического по ряду причин: кроме собственного веса, гидростатического и фильтрационного давления, которые учитываются при рассмотрении теоретического профиля, на плотину действуют и другие нагрузки (давление волн, наносов и льда, давление воды с НБ и др.). Приводят к изменению профиля и устройство галерей в теле плотины, вес надстройки и др.

6.3.2 Разрезка плотины швами, быки, устои

Разрезка плотины швами

В плотинах на гравийных грунтах разрезку швами в основном производят по осям бычков, через 2-3 пролета. Ширина между температурно-осадочными швами составляет 34 метра.

Ширина между секционными швами надрезами составляет 17 м.

Быки

Принимаем бык толщиной 5 метра, выдвинутый в верхний бьеф. Головная часть быка имеет прямоугольную в плане форму.

Устои

При проектировании гидроузла в заданном створе установим разделительный устой, разделяющий водосливную плотину от станционной бетонной плотины, и сопрягающий устой, для выполнения сопряжения бетонной плотины с грунтовой.

Дренаж тела бетонных плотин

Вдоль напорной грани плотины предусмотрим устройства дренажа диаметром 20 см с расстоянием между осями дрен 3 м.

Расстояние от напорной грани плотны до оси дренажа, а так же до верховой грани продольной галереи назначают не менее 2 м при соблюдении условия

$$a_{dp} \geq \frac{H_d \gamma_n}{J_{kp.m}} = \frac{38 \cdot 1,25}{25} = 1,9 \text{ м.} \quad (6.40)$$

где H_d – напор над расчетным сечением (в расчете представлен наибольший напор у основания плотины);

$J_{\text{кр.}m}$ – критический средний градиент напора для бетонной плотины, для гравитационной $J_{\text{кр.}m} = 25$.

Принимаем расстояние от напорной грани до оси дренажа равное 2,0 м.

Галереи в теле плотины

В теле плотины предусмотрим продольные и поперечные галереи, расположенные через 17 м по высоте. Размер галерей предусмотренных для сбора и отвода воды, размещения КИА и т.д. назначим шириной 1,5 м и высотой 2,5 м.

6.4 Фильтрационные расчёты

Параметры фильтрационного потока определяются методом удлинённой контурной линии с помощью построения схемы. На прямой линии, последовательно откладываются длины элементов подземного контура.

Необходимо определить глубину залегания расчетного водоупора - $T_{\text{расч.}}$ находится, исходя из соотношения:

$$\frac{l_0}{s_0} = \frac{110,0}{6,0} = 18,33. \quad (6.41)$$

где l_0 – длина проекции подземного контура на горизонталь;

s_0 – длина проекции подземного контура на вертикаль.

$$l_0 = B_{\text{п}} + l_{\text{п}} = 43,0 + 57,0 = 100,0 \text{ м}, \quad (6.42)$$

$$s_0 = \nabla_{\text{дно}} - \nabla_{\text{под}} = 146,0 - 140,0 = 6,0 \text{ м}. \quad (6.43)$$

Так как $\frac{l_0}{s_0} > 5$, то T_a находится как

$$T_a = 0,5 \cdot l_0 = 0,5 \cdot 100,0 = 50,0 \text{ м}. \quad (6.44)$$

Водоупор в основании отсутствует, следовательно, за расчетную глубину принимаем активную зону фильтрации T_a .

Среднее расстояние от отдельных горизонтальных участков

$$T_{\text{ср}} = \frac{54+53,5+49+55}{4} = 52,88,$$

$$0,44T_{cp} = 0,44 \cdot 52,88 = 23,27 \text{ м.} \quad (6.45)$$

Откладываем вертикальную линию равную напору

$$H_{osn} = \nabla HPU - YHB_{min} = 179,0 - 151,1 = 27,9 \text{ м.}$$

Расчёт фильтрации и эпюры фильтрационного давления представлены в ПРИЛОЖЕНИИ М.

6.5 Статические расчёты плотины

6.5.1 Определение основных нагрузок на плотину

Площади и точки приложения найдены с помощью программы AutoCAD.
Вес 1 п.м. водосливной части плотины определяется по формуле

$$G_{пл} = \frac{S_{пл} \cdot b \cdot g \cdot \rho_6}{b + \delta_6} = \frac{716,5 \cdot 12 \cdot 9,81 \cdot 2400}{12 + 5} = 11908 \text{ кН/м.} \quad (6.46)$$

где $S_{пл}$ – площадь поперечного сечения;

$b = 12 \text{ м}$ –ширина пролета;

$\delta_6 = 5 \text{ м}$ – толщина быка.

Площадь поперечного сечения плотины

$$S_{пл} = 716,5 \text{ м}^2.$$

Точка приложения равнодействующей $G_{пл}$ относительно центра подошвы плотины

$$Y_{пл} = -2,45 \text{ м.}$$

Вес бычка и точку его приложения определим аналогичным образом

$$G_6 = \frac{S_6 \cdot \delta_6 \cdot g \cdot \rho_6}{b + \delta_6} = \frac{1453,5 \cdot 5 \cdot 9,81 \cdot 2400}{12 + 5} = 10065 \text{ кН/м.} \quad (6.47)$$

Площадь поперечного сечения бычка

$$S_6 = 1453,5 \text{ м}^2.$$

Точка приложения равнодействующей G_6 относительно центра подошвы плотины

$$Y_6 = -1,88 \text{ м.}$$

Вес подъёмного механизма определяется приближенно по формуле

$$Q_n = 0,1T(0,35 + \nu) - 0,005T. \quad (6.48)$$

где $\nu = 1 \div 2 \text{ м/с}$ - скорость подъёма затвора;
 $T = K \cdot (Q_3 + 0,08 \cdot P_3)$ - тяговое усилие для колёсных затворов;
 $K = 1,25 - 1,5$ – коэффициент запаса,
 Q_3 – вес плоского затвора

$$Q_3 \approx 0,055 \cdot f \cdot \sqrt{f \cdot g} = 0,055 \cdot 78 \cdot \sqrt{78 \cdot 9,81} = 118,7 \text{ кН.}$$

где f – площадь затвора

$$f = (\nabla\Phi_{ПУ} - \nabla\Gamma_{В} + 0,5) \cdot b = (180 - 173 + 0,5) \cdot 12 = 78 \text{ м}^2. \quad (6.49)$$

Приведённый вес затвора на 1 п.м.

$$q_3^{\text{прив}} = \frac{Q_3}{b+\delta_6} = \frac{118,7}{12+5} = 6,98 \text{ кН/м.} \quad (6.50)$$

6.5.2 Сила гидростатического давления

Сила гидростатического давления воды определяется по формулам гидравлики. Эпюры с гидростатического давления на верховую и низовую грани бетонной плотины приняты по треугольнику.

Горизонтальная составляющая силы гидростатического давления воды.

Со стороны ВБ

$$T_{\text{B}} = \frac{\rho_w g h_1^2}{2} = \frac{1000 \cdot 9,81 \cdot 39,0^2}{2} = 7460,5 \text{ кН/м.} \quad (6.51)$$

где $h_1 = \nabla\text{НПУ} - \nabla\text{под} = 179,0 - 140,0 = 39,0 \text{ м.}$

Со стороны НБ

$$T_{\text{H}} = \frac{\rho_w g h_2^2}{2} = \frac{1000 \cdot 9,81 \cdot 10,63^2}{2} = 554,2 \text{ кН/м.}$$

где $h_2 = \nabla\text{УНБ}_{min} - \nabla\text{под} = 150,63 - 140,0 = 10,63 \text{ м.}$

Вертикальная составляющая силы гидростатического давления воды.
Со стороны ВБ

$$W_{\text{B}} = \rho_w g S_{\text{эн}}^{\text{B}} = 1000 \cdot 9,81 \cdot 153 = 1501 \text{ кН/м.} \quad (6.52)$$

где $S_{\text{ЭП}}^{\text{B}} = 153 \text{ м}^2$.

Со стороны НБ

$$W_{\text{H}} = 1000 \cdot 9,81 \cdot 41,5 = 407 \text{ кН/м.}$$

где $S_{\text{ЭП}}^{\text{H}} = 41,5 \text{ м}^2$.

6.5.3 Равнодействующая взвешивающего давления

Сила взвешивающего давления равна площади эпюры

$$W_{\text{ВЗВ}} = \rho_w g S_{\text{ЭП}} = 1000 \cdot 9,81 \cdot 143 = 1403 \text{ кН/м.} \quad (6.53)$$

где $S_{\text{ЭП}}^{\text{H}} = 143 \text{ м}^2$.

6.5.4 Сила фильтрационного давления

Сила фильтрационного давления равна площади эпюры:

$$W_{\phi} = \rho_w g S_{\text{ЭП}} = 1000 \cdot 9,81 \cdot 297,7 = 2920 \text{ кН/м.} \quad (6.54)$$

где $S_{\text{ЭП}} = 297,7 \text{ м}^2$.

6.5.1 Давление грунта

Давление наносов на вертикальную грань можно определить по формуле

$$p_{\text{H}} = \gamma_{\text{H}} h_{\text{H}} \operatorname{tg}^2(45 - \varphi_{\text{H}}/2) = 10 \cdot 3 \cdot \operatorname{tg}^2(45 - 35/2) = 8,4 \text{ кН/м}^2. \quad (6.55)$$

где γ_{H} – удельный вес наносов во взвешенном состоянии, принимаем $\gamma_{\text{H}} = 10 \text{ кН/м}^2$;

h_{H} – толщина слоя наносов, принимается от уровня заиления до дна, пригрузочного слоя, принимаем $h_{\text{H}} = 3 \text{ м}$;

φ_{H} – угол внутреннего трения наносов, принимаем $\varphi_{\text{H}} = 35^\circ$.

Равнодействующая давления наносов на 1 п.м

$$E_{\text{H}} = (p_{\text{H}} h_{\text{H}})/2 = (8,4 \cdot 3)/2 = 12,16 \text{ кН/м.} \quad (6.56)$$

Активное давление грунта основания со стороны верхнего бьефа определяется следующим образом:

1 слой (глинистый)

$$p_1 = \gamma_h \cdot h_h \cdot \operatorname{tg}^2 \left(45 - \frac{\varphi_{\text{креп}}}{2} \right), \quad (6.57)$$

$$p_2 = \left(\gamma_h \cdot h_h + \gamma_{\text{взв}} \cdot h_{\text{креп}} \right) \cdot \operatorname{tg}^2 \left(45 - \frac{\varphi_{\text{креп}}}{2} \right). \quad (6.58)$$

где $\varphi_{\text{креп}} = 20$ – для гравийно-песчаного крепления понура;

$$\gamma_{\text{взв}} = \gamma_{\text{сух}} - (1 - n) \cdot \gamma_w = 17,0 - (1 - 0,5) \cdot 10 = 12,0 \text{ кН/м}^2. \quad (6.59)$$

$h_{\text{креп}} = 1,0$ – высота глинистого понура.

$$p_1 = 10 \cdot 3 \cdot \operatorname{tg}^2 \left(45 - \frac{20}{2} \right) = 14,7 \text{ кН/м}^2,$$

$$p_2 = (10 \cdot 3 + 12,0 \cdot 1,0) \cdot \operatorname{tg}^2 \left(45 - \frac{20}{2} \right) = 20,6 \text{ кН/м}^2.$$

2 слой (гравийно-песчаного слой основания)

$$p_3 = \left(\gamma_h \cdot h_h + \gamma_{\text{взв}} \cdot h_{\text{креп}} + \gamma_{\text{взв}} \cdot h_{\text{а/б}} + \gamma_{\text{взв}} \cdot h_{\text{гр1}} \right) \cdot \operatorname{tg}^2 \left(45 - \frac{\varphi_{\text{гр1}}}{2} \right) - 2 \cdot c \cdot \operatorname{tg} \left(45 - \frac{\varphi_{\text{гр1}}}{2} \right) \quad (6.60)$$

$$p_4 = \left(\gamma_h \cdot h_h + \gamma_{\text{взв}} \cdot h_{\text{креп}} + \gamma_{\text{взв}} \cdot h_{\text{а/б}} + \gamma_{\text{взв}} \cdot h_{\text{гр1}} \right) \cdot \operatorname{tg}^2 \left(45 - \frac{\varphi_{\text{гр1}}}{2} \right) - 2 \cdot c \cdot \operatorname{tg} \left(45 - \frac{\varphi_{\text{гр1}}}{2} \right). \quad (6.61)$$

где $\varphi_{\text{гр1}} = 33$ – для гравийно-песчаного;

$$\gamma_{\text{взв}} = 19,0 - (1 - 0,35) \cdot 10 = 12,5 \text{ кН/м}^2.$$

c - сцепление грунта, для твердой глины $c = 0$ кН/м²;
 $h_{\text{гр1}} = 3,0$ – высота гравийно-песчаного слоя.

$$p_3 = (10 \cdot 3 + 12,0 \cdot 1,0 + (23 - 10) \cdot 1) \cdot \operatorname{tg}^2 \left(45 - \frac{33}{2} \right) - 2 \cdot 0 \cdot \operatorname{tg} \left(45 - \frac{33}{2} \right) = 16,2 \text{ кН/м}^2,$$

$$p_4 = (10 \cdot 3 + 12,0 \cdot 1,0 + (23 - 10) \cdot 1 + 12,5 \cdot 3,0) \cdot \operatorname{tg}^2 \left(45 - \frac{33}{2} \right) - 2 \cdot 0 \cdot \operatorname{tg} \left(45 - \frac{33}{2} \right) = 27,3 \text{ кН/м}^2.$$

Отрицательные значения в расчетах не учитываются.

Равнодействующая активного давления грунта на 1 п.м. равна площади эпюры

$$E_{av1} = S_{ep1} + S_{ep3} = \frac{14,7+20,6}{2} \cdot 1,0 + \frac{16,2+27,3}{2} \cdot 1,0 = 39,4 \text{ кН/м}. \quad (6.62)$$

Пассивное давление грунта основания со стороны нижнего бьефа определяется следующим образом:

- под водобойной плитой

$$\begin{aligned} p_1 &= \gamma_{\text{взв бет}} \cdot h_{\text{пл}} \cdot \operatorname{tg}^2 \left(45 + \frac{\varphi_{\text{гр1}}}{2} \right) + 2 \cdot c \cdot \operatorname{tg} \left(45 + \frac{\varphi_{\text{гр1}}}{2} \right) = \\ &= (24 - 10) \cdot 3 \cdot \operatorname{tg}^2 \left(45 + \frac{35}{2} \right) + 0 = 155,0 \text{ кН/м}^2, \end{aligned}$$

$$\begin{aligned} p_2 &= \left(\gamma_{\text{взв бет}} \cdot h_{\text{пл}} + \gamma_{\text{взв гр}} \cdot h_{\text{гр}} \right) \cdot \operatorname{tg}^2 \left(45 + \frac{\varphi_{\text{гр1}}}{2} \right) + 2 \cdot c \cdot \operatorname{tg} \left(45 + \frac{\varphi_{\text{гр1}}}{2} \right) = \\ &= (14 \cdot 2,1 + 12,5 \cdot 1) \cdot \operatorname{tg}^2 \left(45 + \frac{35}{2} \right) + 0 = 11,35 \text{ кН/м}^2. \end{aligned}$$

Равнодействующая пассивного давления грунта на 1 п.м. равна площади эпюры

$$E_{av1} = S_{ep1} = \frac{p_1+p_2}{2} \cdot h_1 = \frac{155+11,35}{2} \cdot 3 = 249,5 \text{ кН/м}.$$

6.5.6 Волновое давление

Равнодействующая волнового давления

$$\begin{aligned} W_{\text{волн}} &= 0,5 \rho_w g h_{1\%} \left(\frac{\bar{\lambda}}{\pi} + \frac{h_0}{2} \right) = 0,5 \cdot 1000 \cdot 9,81 \cdot 1,68 \cdot \left(\frac{21,73}{3,14} + \frac{0,41}{2} \right) = \\ &= 58,7 \text{ Кн/м}. \end{aligned} \quad (6.63)$$

$$\text{где } h_0 = \frac{\pi h_{1\%}^2}{\bar{\lambda}} = \frac{3,14 \cdot 1,68^2}{21,73} = 0,41 \text{ м.}$$

Плечо силы $W_{\text{волн}}$ относительно уровня покоя верхнего бьефа

$$y_c = \frac{\bar{\lambda}}{2\pi} - \frac{3}{8} h_{1\%} = \frac{21,73}{2 \cdot 3,14} - \frac{3}{8} \cdot 1,68 = 2,83 \text{ м.} \quad (6.64)$$

6.6 Расчёт прочности плотины

Расчет прочности бетонной плотины следует производить по методу предельных состояний первой группы (по непригодности к эксплуатации). Для оценки прочности плотины вводятся критерии прочности. Таким образом, в результате расчета определяются напряжения в плотине, которые затем сравниваются с критериями прочности.

Для удобства расчета составим таблицу 6.3, в которую внесем все нагрузки, умноженные на коэффициент надежности по нагрузке.

Сбор нагрузок на тело плотины представлены в ПРИЛОЖЕНИИ Н.

Таблица 6.3 – Нагрузки на плотину

Обозначение силы	γ_f	Направление силы	Основной случай		
			Сила, кН	Плечо, м	Момент, кН·м
T_B	1	→	7461	13	96993
T_H	1	←	554	-3,5	-1939
$G_{пл}$	0,95	↓	11908	-3	-33937,8
G_6	0,95	↓	10065	-1,9	-18167,3
W_B	1	↓	1501	-16,6	-24916,6
W_H	1	↓	407	17,2	7000,4
W_{B3B}	1	↑	1403	0	0
W_Φ	1	↑	2920	3,13	9139,6
E_H	1,2	→	12,16	8	116,736
E_a	1,2	→	39,4	2,3	108,7
E_{ph}	0,8	→	249,5	-1	-199,6
$W_{волн}$	1	→	58,7	36,2	2124,94
Q_3	0,9	↓	6,98	9	56,5
$\Sigma R = N$		↑		19565,0	
ΣW		↔		7266,76	
ΣM				36380	

Расчёт краевых напряжений в горизонтальных сечениях плотины (при расчёте на 1 п.м. длины).

Для верховой грани:

Нормальные напряжения по горизонтальным площадкам

$$\sigma_y^u = \frac{N}{b_d} - \frac{6\sum M}{b_d^2} = -\frac{19565}{43,0} + \frac{6 \cdot 36380}{43,0^2} = -291,4 \text{ кПа.} \quad (6.65)$$

Нормальные напряжения по вертикальным площадкам:

$$\begin{aligned} \sigma_x^u &= \sigma_y^u m_u^2 - \gamma_w H_d^u (1 - m_u^2) = -291,4 \cdot 0^2 - 9,81 \cdot 39,0 \cdot (1 - 0^2) = \\ &= -382,6 \text{ кПа.} \end{aligned} \quad (6.66)$$

где H_d^u - напор над расчетным сечением со стороны верхнего бьефа,

$$H_d^u = \nabla \text{НПУ} - \nabla \text{под} = 179,0 - 140,0 = 39,0 \text{ м.} \quad (6.67)$$

Касательные напряжения у верховой грани

$$\tau_{xy}^u = (\gamma_w H_d^u + \sigma_y^u) m_u = (9,81 \cdot 39,0 - 291,4) \cdot 0 = 0. \quad (6.68)$$

Главные сжимающие напряжения

$$\begin{aligned} \sigma_1^u &= \sigma_y^u (1 + m_u^2) + \gamma_w H_d^u m_u^2 = -253,1 \cdot (1 + 0^2) + 9,81 \cdot 39,0 \cdot 0^2 = \\ &= -291,4 \text{ кПа,} \end{aligned} \quad (6.69)$$

$$\sigma_3^u = -\gamma_w H_d^u = -9,81 \cdot 39,0 = -382,6 \text{ кПа.} \quad (6.70)$$

Нормальные напряжения на площадках контактного сечения у верховой грани

$$\begin{aligned} \sigma_c^u &= \frac{(1+m_u^2)}{2} \left\{ \sigma_y^u [\cos 2(\alpha - \delta) + 1] + \gamma_w h \left[\cos 2(\alpha - \delta) - \frac{1-m_u^2}{1+m_u^2} \right] \right\} = \\ &= \frac{(1+0^2)}{2} \cdot (-253,1 \cdot [\cos 2(7 - 0) + 1] + 9,81 \cdot 39,0 \cdot \\ &\cdot \left[\cos 2(7 - 0) - \frac{1-0^2}{1+0^2} \right]) = -337 \text{ кПа.} \end{aligned} \quad (6.71)$$

Для низовой грани:

Нормальные напряжения по горизонтальным площадкам

$$\sigma_y^t = -\frac{N}{b_d} - \frac{6\Sigma M}{b_d^2} = -\frac{19565}{43,0} - \frac{6 \cdot 36380}{43,0^2} = -446,9 \text{ кПа.} \quad (6.72)$$

Нормальные напряжения по вертикальным площадкам

$$\begin{aligned} \sigma_x^t &= \sigma_y^t m_t^2 - \gamma_w H_d^t (1 - m_t^2) = -446,9 \cdot 0,84^2 - 9,81 \cdot 10,63 \cdot \\ &\cdot (1 - 0,84^2) = -346 \text{ кПа.} \end{aligned} \quad (6.73)$$

где H_d^t – напор над расчётным сечением со стороны нижнего бьефа,

$$H_d^t = \nabla \text{УНБ}_{min} - \nabla \text{под} = 150,63 - 140,0 = 10,63 \text{ м.} \quad (6.74)$$

Касательные напряжения на низовой грани

$$\tau_{xy}^t = -(\gamma_w H_d^t + \sigma_y^t) m_t = -(9,81 \cdot 10,63 - 446,9) \cdot 0,84 = 287,8. \quad (6.75)$$

Главные напряжения

$$\sigma_3^t = \sigma_y^t(1 + m_t^2) + \gamma_w H_d^t m_t^2 = -446,9 \cdot (1 + 0,84^2) + 9,81 \cdot 10,63 \cdot 0,84^2 = -688,6 \text{ кПа}, \quad (6.76)$$

$$\sigma_1^t = -\gamma_w H_d^t = -9,81 \cdot 10,63 = -104,3 \text{ кПа}. \quad (6.77)$$

Составим таблицу 6.4 для полученных краевых напряжений.

Таблица 6.4— Краевые напряжения в горизонтальных сечениях плотины

Напорная грань		Низовая грань	
Основное сочетание нагрузок			
Напряжение	кПа	Напряжение	кПа
σ_y^u	-291,4	σ_y^t	-446,9
σ_x^u	-382,6	σ_x^t	-346,0
τ_{xy}^u	0,0	τ_{xy}^t	287,8
σ_1^u	-291,4	σ_1^t	-104,3
σ_3^u	-382,6	σ_3^t	-688,6
σ_c^u	-337,0		

Эпюры краевых напряжений представлены в ПРИЛОЖЕНИИ П.

6.6.1 Критерии прочности плотины и её основания

После определения напряжений для основного и особого сочетания нагрузок, необходимо проверить выполнение следующих условий:

Во всех точках плотины:

$$\gamma_n \gamma_{1c} |\sigma_3| \leq \gamma_{cd} R_b . \quad (6.78)$$

где $\gamma_n = 1,25$ – коэффициент надежности по ответственности, для сооружений I класса;

γ_{1c} – коэффициент сочетания нагрузок ($\gamma_{1c} = 1$ – для расчетов по первому предельному состоянию и основному сочетанию нагрузок);

$R_b = 4500 \text{ Па}$ – расчетное сопротивление бетона сжатию для марки бетона В 7,5;

γ_{cd} – коэффициент условия работы ($\gamma_{cd}=0,9$ – при основном сочетании нагрузок, $\gamma_{cd} = 1,0$ – при особом сочетании нагрузок).

Для низовой грани

$$1,25 \cdot 1 \cdot |-446,9| \leq 4500 \cdot 0,9 ,$$

$$559 < 4050$$

Для верховой грани

$$1,25 \cdot 1 \cdot |-291,4| \leq 4500 \cdot 0,9 ,$$

$$-364 < 4050.$$

На верховой грани плотины не должно быть растягивающих напряжений

$$\sigma_y^u < 0, \quad (6.79)$$

$$-291 < 0.$$

1) В зоне верховой грани плотины

$$|\sigma_y^u| \geq 0,25\gamma_w H_d^u, \quad (6.80)$$

$$|-291| \geq 0,25 \cdot 9,81 \cdot 33,0,$$

$$291 > 81.$$

2) В контактном сечении

$$\sigma_c^u \leq 0, \quad (6.81)$$

$$-337 \leq 0.$$

3) Под всей плотиной

$$\sigma_y^{max} \leq [\sigma_0]_h. \quad (6.82)$$

где $[\sigma_0]_h$ – допускаемые напряжения в основании на глубине h от дна,

$$[\sigma_0]_h = [\sigma_0] + K_0\gamma_0(h_3 - 2). \quad (6.83)$$

где $[\sigma_0] = 0,70$ МПа – допускаемые напряжения на сжатие для гравия;

$K_0 = 0,25$ – для песка;

γ_0 – удельный вес грунта основания;

h_3 – заглубление подошвы плотины относительно дна реки.

$$[\sigma_0]_h = 700 + 0,25 \cdot 12,5 \cdot (6,0 - 2) = 8750 \text{ кН/м}^2, \quad (6.84)$$

$$-447 < 8750.$$

4) Коэффициент неравномерности напряжений

$$\sigma_y^{max}/\sigma_y^{min} \leq K_h. \quad (6.85)$$

где $K_h = 2$ (для песка).

$$446,9 / 291,4 = 1,5 \leq 2.$$

6.6.2 Расчёт устойчивости плотины

Устойчивость бетонных плотин на нескользких основаниях определяется несущей способностью основания.

Пределным равновесием сооружения и основания следует считать такое состояние, при котором на всем протяжении рассматриваемой поверхности скольжения выполняется равенство

$$\tau_{max} \leq \tau_{lim} = \sigma_y^{max} \cdot \operatorname{tg}\varphi + c = 446,9 \cdot 0,84 + 0 = 375,4 \text{ кПа.} \quad (6.86)$$

Расчёт устойчивости гравитационных сооружений, основания которых сложены песчаными, крупнообломочными, твердыми и пылевато-глинистыми полутвёрдыми грунтами, следует производить только по схеме плоского сдвига при выполнении условия

$$N_\sigma = \frac{\sigma_y^{max}}{b\gamma_{rp}} \leq N_0. \quad (6.87)$$

где N_σ – число моделирования;

σ_y^{max} – максимальное нормальное напряжение в угловой точке под подошвой сооружения;

b – размер стороны (ширина) прямоугольной подошвы сооружения, параллельной сдвигающей силе;

γ_{rp} – удельный вес грунта основания, принимаемый ниже уровня воды с учетом ее взвешивающего действия;

$N_0 = 1$ – для песка.

$$N_\sigma = \frac{446,9}{43 \cdot 12,5} = 0,67 \leq 1.$$

При поступательной форме сдвига плотина будет устойчива, если выполняется условие

$$\frac{R \cdot \gamma_{cd}}{F \cdot \gamma_{lc}} \geq \gamma_n. \quad (6.88)$$

где γ_n – коэффициент надежности по назначению сооружения, принимаемый для I класса сооружений равный 1,25;

γ_{lc} – коэффициент сочетания нагрузок ($\gamma_{lc} = 1$ – для расчетов по первому предельному состоянию и основному сочетанию нагрузок);

γ_{cd} – коэффициент условий работы ($\gamma_{cd} = 1$ – при работе плотины при НПУ для несkalьных оснований);

R – расчетное значение обобщенной несущей способности (силы, сопротивляющейся сдвигу)

$$R = (G_{\text{пл}} + G_6 + Q_3 + W_{\text{в}} + W_{\text{н}} - W_{\phi} - W_{\text{взв}}) \cdot \operatorname{tg}\varphi + E_{\text{нн}} \cdot \gamma'_c + c \cdot \omega. \quad (6.89)$$

где ω – горизонтальная проекция площади подошвы плотины, при расчете на 1 п.м $\omega = B_n \cdot 1 = 43 \cdot 1 = 43 \text{ м}^2$;

γ'_c – коэффициент условия работы для пассивного давления грунта, принимается $\gamma'_c = 0,7$;

c – сцепление грунта;

F – сдвигающая сила,

$$F = T_{\text{в}} - T_{\text{н}} + W_{\text{волн}} + E_{\text{н}} + E_{\text{а}} \quad (6.90)$$

Для основного сочетания нагрузок

$$R = 9957,14 \text{ Н/м},$$

$$F = 7017,26 \text{ Н/м},$$

$$\frac{9957,14 \cdot 1}{7017,26 \cdot 1} = 1,4 > 1,25.$$

Условия прочности и устойчивости выполняются.

7 Охрана труда, пожарная безопасность и охрана природы

7.1 Безопасность гидротехнических сооружений

На основании Федерального закона №117, одной из важнейших задач службы эксплуатации ГЭС является обеспечение безопасности гидротехнических сооружений. Последствия аварий на ГЭС, в особенности прорыв напорного фронта, могут быть катастрофическими не только для региона, но и для всего государства. Поэтому обеспечение безопасности ГТС является задачей общегосударственного значения. Деятельность службы эксплуатации по обеспечению безопасности ГТС регулируется Федеральным законом «О безопасности гидротехнических сооружений». Одним из основных требований закона «О безопасности ГТС» является соблюдение декларации безопасности ГТС, составом которой определяется специальным Положением, утвержденным Правительством РФ. Данное Положение определяет содержание, порядок составления Декларации безопасности ГТС, осуществление ее государственной экспертизы и является обязательным для ГТС при их проектирований, строительстве, вводе в эксплуатацию, эксплуатации, выводе из эксплуатации, а также после реконструкции, капитальном ремонте, восстановление или консервации.

Наибольшая нагрузка и ответственность за обеспечение безопасности ГТС лежит на собственнике гидроэлектростанции. Гидротехнические сооружения ГЭС должны быть оснащены специальной контрольно-измерительной аппаратурой (КИА) в соответствии с проектом, и в состав эксплуатационного персонала должны входить специальные подразделения, задача которых – измерение с помощью КИА контролируемых показателей, визуальный осмотр и оценка безопасности ГТС на основе анализа величин контролируемых показателей. На небольших ГЭС натурные наблюдения проводит группы, входящие в состав одного из эксплуатационных подразделений, либо наблюдения ведет специализированная организация.

7.2 Пожарная безопасность

Требования к пожарной безопасности в Российской Федерации изложены в правилах пожарной безопасности, утвержденных МЧС России. В соответствии с действующим законодательством ответственность за противопожарное состояние ГЭС возлагается на руководителя станции.

ГЭС должны быть оборудованы системой пожарной безопасности, направленной на предотвращение воздействия на людей опасных факторов пожара.

Руководитель ГЭС обязан:

- организовать изучение и выполнение правил пожарной безопасности всеми работниками гидроэлектростанций;
- обеспечить разработку и выполнение мероприятий, направленных на повышение пожарной безопасности;
- установить противопожарный режим на территории, в производственных, административных и вспомогательных помещениях, соответствующий их пожарной опасности;
- установить порядок регулярной проверки состояния пожарной безопасности ГЭС.
- назначить лиц, ответственных лиц за пожарную безопасность по каждому производственному участку и помещению;
- о каждом пожаре сообщать в местные органы пожарной безопасности, назначать комиссию для установления причин пожара и разработки противопожарных мероприятий и т.д.

Ответственность за пожарную безопасность отдельных производственных и вспомогательных помещений (сооружений) и размещенных в них оборудования и устройств возлагается на руководителей структурных подразделений или на специально назначенных должностных лиц.

Руководители структурных подразделений ответственные за пожарную безопасность, обязаны:

- обеспечить на своих участках соблюдение установленного противопожарного режима и выполнение мероприятий, повышающих пожарную безопасность;
- обеспечить исправность технологического оборудования, немедленно принимать меры к устраниению неисправностей, которые могут привести к пожару;
- организовать пожарно-техническую подготовку подчиненного персонала и требовать от него соблюдения противопожарного режима и выполнения установленных требований пожарной безопасности;
- обеспечить контроль за выполнением требований пожарной безопасности при проведении ремонтных работ персоналом подразделений и подрядными организациями;
- установить порядок и ответственность за содержание в исправном состоянии и постоянной готовности к действию имеющихся на участке средств обнаружения и тушения пожара;
- при возникновении пожара, аварии или других опасных факторов, угрожающих персоналу и нарушающих режим работы оборудования, принять меры к немедленному вызову пожарных подразделений, известить руководство гидроэлектростанции, обесточить электрооборудование в зоне пожара, выдать письменный допуск для тушения пожара, организовать его тушение и эвакуацию персонала (при необходимости), а также восстановление нормального режима работы оборудования и т.д.

Каждый работающий на ГЭС обязан знать и соблюдать установленные требования пожарной безопасности на рабочем месте, в других помещениях и на территории, при возникновении пожара немедленно сообщить вышестоящему руководителю или оперативному персоналу о месте пожара, принять возможные меры к спасению людей, имущества и приступить к ликвидации пожара имеющимися средствами пожаротушения с соблюдением мер безопасности.

Все работники ГЭС должны проходить подготовку по пожарной безопасности. Подготовка работников включает в себя:

- вводный инструктаж по пожарной безопасности;
- регулярные инструктажи (первичный, периодические, внеплановые и целевые), по вопросам пожарной безопасности;
- специальная подготовка;
- проведение противопожарных тренировок;
- повышение знаний по противопожарной защите в учебных центрах;
- изучение и проверка знаний правил пожарной безопасности и т.д.

Персонал ГЭС несет ответственность за обеспечение пожарной безопасности. Лица, виновные в нарушении правил пожарной безопасности несут дисциплинарную, административную или уголовную ответственность в соответствии с действующим законодательством.

7.3 Охрана труда и техника безопасности

Проектирование, строительство, реконструкция, ремонт и организация эксплуатации гидротехнических сооружений и гидромеханического оборудования энергоснабжающих организаций, территории и акватория, где они размещаются, а также основное и вспомогательное оборудование, средства механизации и автоматизации должны соответствовать действующим Строительным нормам и правилам (СНиП), Нормам технологического проектирования гидроэлектрических и гидроаккумулирующих электростанций, требованиям Речного регистра Российской Федерации, Российского регистра гидротехнических сооружений, Федеральным законам «Об основах охраны труда в Российской Федерации» и «О безопасности гидротехнических сооружений», Санитарным правилам по организации технологических процессов и санитарно-гигиеническим требованиям к производственному оборудованию, нормативным актам по охране труда Госгортехнадзора России, Государственным стандартам безопасности труда, Правилам технической эксплуатации электрических станций и сетей, Межотраслевым правилам по охране труда (правила безопасности) при эксплуатации электроустановок, Правилам устройства электроустановок, Правилам пожарной безопасности в Российской Федерации и иным действующим государственным и отраслевым нормативным и правовым актам.

Отступления от требований вышеперечисленных правил как при обслуживании действующего, так и вновь вводимого или реконструируемого оборудования не допускаются, за исключением введения новых нормативных актов по охране труда.

Основными задачами в области охраны труда, техники безопасности и производственной санитарии при эксплуатации оборудования и сооружений ГЭС является создание безопасных условий труда, обучение персонала безопасным приемам работ, приемам оказания первой помощи при несчастных случаях, выявление и устранение причин производственного травматизма, повышение культуры производства, разработка и осуществление организационно-технических и санитарно-гигиенических мероприятий по предупреждению и снижению производственного травматизма и заболеваемости.

На ГЭС организацию работы по технике безопасности, охране труда и производственной санитарии должен осуществлять технический руководитель ГЭС, руководители подразделений и производственных участков. Названные лица, в соответствие со своими должностными инструкциями, обязаны обеспечить проведение организационных и технических мероприятий по созданию безопасных условий труда, инструктаж и обучение персонала безопасным методам работы и контроль выполнения правил техники безопасности.

Надзор за соблюдением правил по охране труда, технике безопасности и производственной санитарии персоналом гидроэлектростанций осуществляют органы государственной власти, уполномоченные в соответствующих областях деятельности.

Расследование несчастных случаев на гидроэлектростанциях производится в соответствии с действующим положением о расследовании и учете несчастных случаев на производстве.

На ГЭС должен быть организован кабинет по технике безопасности и охране труда, являющийся организационным и учебно-методическим центром по работе с персоналом.

При эксплуатации электроустановок ГЭС персонал и другие лица, занятые техническим обслуживанием электроустановок, проводящих в них оперативные переключения, организующих и выполняющих строительные, монтажные, наладочные, ремонтные работы, испытания и измерения, обязаны выполнять требования норм законодательства, действующих введенных уполномоченными органами государственной власти правил по охране труда (правил безопасности), Стандарта, стандартов организации (инструкций) ГЭС.

Каждый работник станции должен быть обучен безопасным методам труда при эксплуатации гидротехнических сооружений, в том числе по

электро-, пожаро-, взрывобезопасности при выполнении технических работ, пройти проверку знаний и иметь документ о праве проведения этих работ.

Электроустановки гидроэлектростанций должны находиться в технически исправном состоянии, обеспечивающем безопасные условия труда, и быть укомплектованы испытанными, готовыми к использованию защитными средствами, а также средствами оказания первой медицинской помощи в соответствии с действующими правилами и нормами.

Организационными мероприятиями, обеспечивающими безопасность работ в электроустановках гидроэлектростанций, являются:

- оформление работ нарядом, распоряжением или перечнем работ, выполняемых в порядке текущей эксплуатации;
- допуск к работе;
- надзор во время работы;
- оформление перерыва в работе, перевода на другое место, окончания работы.

При выполнении работ по эксплуатационному обслуживанию, ремонту, наладке и испытаниям гидротурбинного оборудования, электрического оборудования, механического оборудования ГТС и ГТС ГЭС должны выполняться требования действующих общих правил безопасности для этой области деятельности, Стандарта, стандартов организации (инструкций) гидроэлектростанций.

Работы на гидротурбинном, электрическом, механическом оборудовании и на ГТС, требующие проведения технических мероприятий по подготовке рабочих мест, проводятся по нарядам-допускам и распоряжениям. Работы, не требующие проведения технических мероприятий по подготовке рабочих мест, могут выполняться по распоряжению.

В инструкции ГЭС должны быть включены требования к мерам безопасности, безопасной организации работ и охране труда при работах:

- по эксплуатации и техническому обслуживанию основного гидротурбинного оборудования и механической части гидрогенераторов, включая вспомогательное оборудование;
- по эксплуатации ГТС;
- по техническому обслуживанию бетонных ГТС;
- по техническому обслуживанию напорных металлических и железобетонных трубопроводов;
- по обслуживанию механизмов затворов гидротехнических сооружений;
- по расчистке водных объектов и сооружений от сора;
- по пропуску половодных и паводковых расходов воды через сооружения;
- по опорожнению и наполнению водохранилища и бьефа;
- по расчистке водохранилищ от наносов;

- на всех объектах ГЭС, выполняемых в зимний период;
- на объектах ГЭС, выполняемых под водой (водолазные работы);
- по обслуживанию иных объектов ГЭС.

На ГЭС должны быть разработаны и доведены до сведения всего персонала безопасные маршруты следования по территории к месту работы, оперативные планы пожаротушения и эвакуации людей на случай пожара или аварийной ситуации.

Рабочие инструкции по охране труда должны быть разработана для всех подразделений.

7.4 Мероприятия по охране природы

При эксплуатации и техническом обслуживании гидроэлектростанций, а также оборудования и гидротехнических сооружений в их составе, влияние на окружающую среду оказывает гидроузел в целом, как составная часть нового природно-технологического комплекса.

Природоохранные мероприятия при эксплуатации ГЭС направлены на охрану атмосферного воздуха, водных объектов, земельных ресурсов, объектов животного мира и осуществляются в соответствии со следующими основными законодательными и нормативными документами:

- Федеральный закон РФ «Об охране окружающей среды» № 7-ФЗ от 10.01.2002;
- Земельный кодекс РФ № 136-ФЗ от 25.10.2001;
- Водный кодекс РФ № 74 - ФЗ от 03.06.2006;
- Лесной кодекс РФ № 200- ФЗ от 04.12.2006;
- ФЗ «Об охране атмосферного воздуха» № 96-ФЗ от 04.05.1999;
- Федеральный закон об отходах производства и потребления № 89-ФЗ от 24.06.1998;
- Федеральный закон «О животном мире» № 52 ФЗ от 13.12.1996;

Водоохранные мероприятия разбиты на три группы:

1. Мероприятия по подготовке зоны водохранилища, влияющие на состояние водных ресурсов.
2. Создание водоохранной зоны вокруг водохранилища.
3. Водоохранные мероприятия на гидроэлектростанции.

8 Технико-экономические показатели строительства ГЭС

8.1 Объёмы производства электроэнергии и расходы в период эксплуатации

8.1.1 Оценка объемов реализации электроэнергии

Проектирование ГЭС предполагает выполнение определенных этапов, начиная от земляных работ и заканчивая установкой оборудования.

Оценка объемов реализации электроэнергии приведена в таблице 8.1.

Таблица 8.1 – Оценка объемов реализации электроэнергии в первые годы эксплуатации

Наименование показателя	Единица измерения	Год реализации проекта				
		2021	2022	2023	2024	2025
Установленная мощность	МВт	171	171	171	171	171
Число часов использования установленной мощности	Часы	6800	6800	6800	6800	6800
Выработка электроэнергии	МВт·ч	802885,7	1162800	1162800	1162800	1162800
Расход электроэнергии на собственные нужды	%	1	1	1	1	1
Расход электроэнергии на собственные нужды	МВт·ч	8028,857	11628	11628	11628	11628
Объем реализации электроэнергии	МВт·ч	794856,9	1151172	1151172	1151172	1151172
Тариф на электроэнергию	руб/ МВт·ч	1912,5	1990,167	2081,667	2176,167	2273,667
Выручка от реализации электроэнергии	млн.руб.	126,9	190,9	199,7	208,8	218,1
НДС к выручке	млн.руб	19,38	29,12	30,46	31,85	33,27

Увеличение выручки обусловлено снижением затрат на производство и увеличением стоимости электроэнергии.

8.1.2 Текущие расходы по гидроузлу

Формирование текущих расходов выполнено на основании «ПАО «РусГидро» от 16.01.2017 №9 - «Единые сценарные условия ПАО «РусГидро» на 2017-2042 гг.) с учетом реализованной электроэнергии.

Единые сценарные условия предназначены для унификации исходной информации в целях обеспечения единого подхода при формировании

прогнозных документов на среднесрочный и долгосрочный горизонт планирования всеми структурными подразделениями ПАО «РусГидро», дочерними и зависимыми обществами ПАО «РусГидро», дочерними и зависимыми обществами ДЗООАО «РусГидро».

Единые сценарные условия представляют собой перечень наиболее значимых показателей, а также условий и допущений, необходимых для подготовки расчетов в рамках формирования прогнозных документов на среднесрочную и долгосрочную перспективу, включая проведение расчета параметров экономической эффективности инвестиционных проектов.

Затраты, необходимые для создания продукции, называются текущими расходами, это денежные средства, необходимые для организации производственного процесса и создания продукции, работ или услуг.

Себестоимость продукции непосредственно зависит от текущих расходов предприятия, так как характеризует величину затрат, приходящихся на единицу продукции. Очевидно, что все факторы, влияющие на формирование расходов, оказывают непосредственное влияние и на себестоимость продукции.

Текущие расходы по гидроузлу включают в себя:

- амортизационные отчисления;
- расходы по страхованию имущества;
- эксплуатационные расходы;
- расходы на ремонт производственных фондов;
- расходы на услуги регулирующих организаций;
- налог на воду.

Амортизационные отчисления определяются по каждому виду актива, в соответствии с рассчитанной нормой амортизации.

Расходы по страхованию имущества принимаются в размере (от суммы восстановительной стоимости имущества объектов основных средств и объектов незавершенного строительства, определенной для целей страхования, с учетом прироста балансовой стоимости основных средств и незавершенного строительства за истекший период от даты последнего определения восстановительной стоимости): 0,08%.

Эксплуатационные расходы (оплата труда, производственные затраты, прочие расходы) по ГЭС определяются в расчете на 1 МВт установленной мощности.

Эксплуатационные расходы представлены в таблице 8.2.

Таблица 8.2 – Эксплуатационные расходы гидроузла

Наименование	Ставка, тыс.руб/Мвт	Сумма, млн.руб.
Расходы на оплату труда	252,2	21,03
Прочие	274,0	30,95
Итого по ГЭС	529,2	57,11

Отчисления на ремонт основных производственных фондов определяются исходя из величины их стоимости, удельные знания расходов на ремонт в %, представлены в таблице 8.3.

Таблица 8.3 – Удельные значения расходов на ремонт, %

Этап проекта	Величина
1-5	0,020
6-15	0,027
16-25	0,035

Рассчитываются услуги регулирующих организаций исходя из ставок в соответствии единым сценарным условиям РусГидро, результат представлен в таблице 8.4.

Таблица 8.4 – Расходы на услуги регулирующих организаций

Наименование	Ставка	Сумма, млн.руб.
ОАО «СО – ЕЭС»	135,38 тыс.руб/Мвт	16,5
НП АТС (администратор торговой системы)	0,001097тыс.руб/Мвт*ч	0,63
ЦФР (центр финансовых расчетов)	0,000318 тыс.руб/Мвт*ч	0,22
Итого		17,35

Налог на воду в расчете на 1 тыс. кВт*ч в соответствии с Налоговым кодексом РФ для реки Медведица составляет 4,8 руб.

Текущие затраты по гидроузлу в первые годы эксплуатации приведены в таблице 8.5 и на рисунке 8.1.

Таблица 8.5 – Текущие затраты по гидроузлу в первые годы эксплуатации

Наименование	Год реализации проекта				
	2021	2022	2023	2024	2025
Амортизационные отчисления, млн.руб.	11,3	11,3	11,3	11,3	11,3
Расходы на страхование, млн.руб.	35,7	34,2	32,6	31, 1	29,5
Эксплуатационные затраты, млн.руб.	39,4	57,1	57,1	57,1	57,1
Расходы на ремонт производственных фондов, млн.руб.	7,4	7,5	9,2	8,7	8,3
Расходы на услуги регулирующих компаний, млн.руб.	11,8	17,3	17,7	17, 9	17, 9
Налог на воду, млн.руб.	2,1	4,2	6,2	7,1	7,1
Итого, млн.руб.	232,4	256,2	258,6	257,6	255,6



Рисунок 8.1 – Структура текущих затрат по гидроузлу, %

8.1.3 Налоговые расходы

Налоговые расходы представляют собой отток денежных средств после завершения строительства Петровской ГЭС. Значительная часть отчисляется в региональный бюджет в соответствии с Налоговым Кодексом РФ.

Учтены следующие налоги:

- Налог на прибыль – 20%;
- НДС – 18%;
- Взносы в социальные фонды – 34%;
- Налог на имущество – 2,2%
- Налог на воду на 1 тыс. кВт·ч – 4,8 руб.

Предполагаемые налоговые расходы при отсутствии льгот за период 2022-2026 г. приведены в таблице 8.6.

Таблица 8.6 – Налоговые расходы

Наименование	Год реализации проекта				
	2022	2023	2024	2025	2026
Налог на прибыль, млн.руб.	252,6	411,4	500,5	525,7	551,5
НДС, млн.руб.	271,3	414,0	493,9	516,0	538,7
Взносы в социальные фонды, млн.руб.	8,9	8,9	8,9	8,9	8,9
Налог на имущество, млн.руб.	68,4	65,4	62,4	37,4	34,5
Итого, млн.руб.	601,3	899,8	1065,8	1110,1	1155,7

8.2 Оценка суммы прибыли от реализации электроэнергии и мощности

Прибыль – это важнейший качественный показатель эффективности деятельности организации, характеризующий рациональность использования средств производства, материальных, трудовых и финансовых ресурсов.

Годовая прибыль первых лет эксплуатации представлена в таблице 8.7.

Чистая прибыль представлена на рисунке 8.2.

Таблица 8.7 - Годовая прибыль в первые годы эксплуатации

Наименование	Год реализации проекта				
	2021	2022	2023	2024	2025
Выручка (нетто), млн.руб.	832,3	1572,0	2364,6	2754,0	2877,0
Текущие расходы, млн.руб.	232,4	256,2	258,6	257,6	255,6
EBITDA (Валовая прибыль), млн.руб.	600,0	1315,9	2106,0	2496,3	2621,4
EBIT(прибыль от налогообложения), млн.руб.	600,0	1315,9	2106,0	2496,3	2621,4
Скорректированный налог на прибыль, млн.руб.	120,0	263,2	421,2	499,2	524,3
NOPAT (чистая прибыль), млн.руб.	480,0	1052,7	1684,8	1997,0	2097,1
Ставка налога на прибыль,%	20,00	20,00	20,00	20,00	20,00

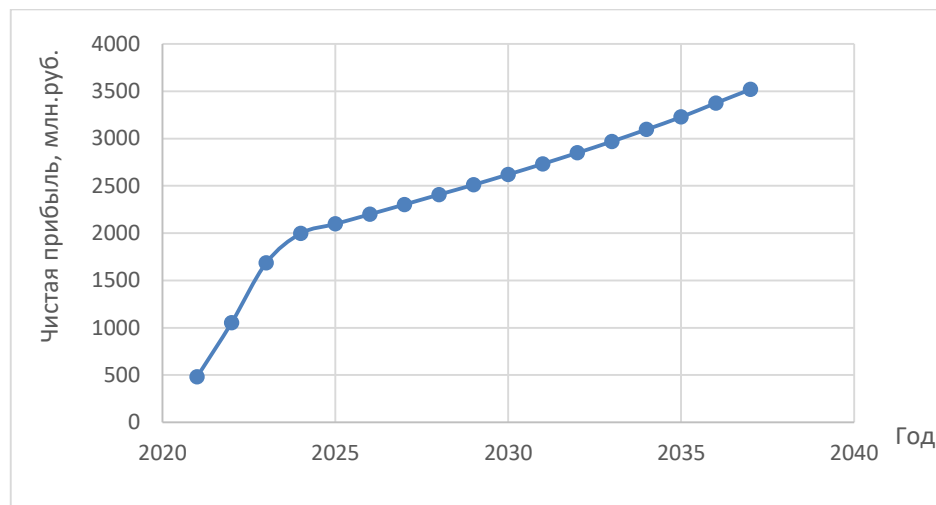


Рисунок 8.2 – Чистая прибыль, млн. руб.

Рост суммы прибыли обусловлен ростом цен на электроэнергию и мощность в соответствии с едиными сценарными условиями РусГидро в прогнозируемом периоде.

8.3 Оценка инвестиционного проекта (новые сценарные условия)

Главной целью оценки инвестиционного проекта является определение целесообразности реализации проекта, с учетом условий Заказчика (Приложение к приказу ПАО «РусГидро» от 16.01.2017 №9 - «Единые сценарные условия ПАО «РусГидро» на 2017-2042 гг.»)

8.3.1 Методология, исходные данные

Целью оценки является определение показателей эффективности проекта, к таким показателям относятся:

1. Чистый, дисконтированный доход
2. Индекс прибыльности
3. Срок окупаемости
4. И т.д.

Расчёт показателей эффективности проекта выполняется в соответствии с:

а) «Методические рекомендации по оценке эффективности и разработке инвестиционных проектов и бизнес-планов в электроэнергетике», утвержденных приказом ОАО РАО «ЕЭС России» от 07.02.2000г. № 54 на основании Заключения Главгосэкспертизы России от 26.05.1999г. №24-16-1/20-113;

б) «Методические рекомендации по оценке эффективности и разработке инвестиционных проектов и бизнес-планов в электроэнергетике на стадии предТЭО и ТЭО», Москва, 2008 г., утвержденными РАО «ЕЭС России» от 31.03.2008г № 155 и Главгосэкспертизой России от 26.05.99г. №24-16-1/20-113.

в) Приложение к приказу ПАО «РусГидро» от 16.01.2017 №9 - «Единые сценарные условия ПАО «РусГидро» на 2017-2042 гг.)

Расчёты проводились с использованием лицензионной версии программного продукта ProjectExpert, фирмы ExpertSystems.

Для целей оценки эффективности инвестиционного проекта принимаются следующие предпосылки:

1) Период прогнозирования для Петровской ГЭС составляет 20 лет, в соответствии со сроком службы основного оборудования.

2) Используемая при оценке эффективности информация отражает экономическую ситуацию, сложившуюся на 1 кв. 2018 года.

3) Предполагается что в течении прогнозного периода не будет происходить глобальных изменений в экономической ситуации, существующих правил и законов.

8.3.2 Коммерческая эффективность

Цель проведения расчёта коммерческой эффективности проекта является расчёт показателей, которые представлены в таблице 8.8.

Таблица 8.8 – Показатели эффективности реализации проекта «Петровская ГЭС на реке Медведица»

Наименование	Значение
Ставка дисконтирования, %	11,6
Дисконтированный период окупаемости - DPB, мес	82
Чистый приведенный доход – NPV, млн.руб	8048,6
Индекс прибыльности – PI, руб.	1,77
Себестоимость эл.энергии, руб/Квт·ч	0,148
Удельные капиталовложения, руб/Квт	19907,1

8.3.3 Бюджетная эффективность

Показатели бюджетной эффективности отражают влияние результатов проекта на доходную часть федерального и регионального бюджета. Доходная часть бюджетов различных уровней формируется за счёт налоговых поступлений величина которых показана в таблице 8.9.

Таблица 8.9 – Предполагаемые налоговые поступления в федеральный и региональные бюджеты

Наименование	2021	2022	2023	2024	2025
В федеральный бюджет, млн.Рублей	147,6	537,1	840,5	1010,4	1057,7
В региональный бюджет, млн.Рублей	71,4	68,4	65,4	62,4	59,4
Итого налоговых поступлений, млн.Рублей	219,1	605,6	906,0	1073,0	1117,2

С увеличением налоговых поступлений в федеральный бюджет налоговые поступления в региональный бюджет уменьшаются.

8.4 Анализ чувствительности

Типы риска инвестиционного проекта:

- 1) рыночные - неопределенность объемов реализации электроэнергии;
- 2) капитальные - возможность неудачного конструктивного решения, следствием которого является изменения затрат в строительство;
- 3) операционные - неопределенность хода проекта в его продуктивный период;
- 4) правовые (политический, юридический, суверенный) возможность изменения правовой среды, в которой осуществляется бизнес;
- 5) финансовые (процентный, валютный) - неопределенность обменных и процентных ставок на финансовых рынках.

Наиболее значимы для проекта рыночные, капитальные и операционные риски показаны в таблице 8.10.

Таблица 8.10 - Риски и соответствующие параметры финансовой модели

Риск	Параметры финансовой модели
Рыночный	Объем продаж
Капитальный	Капитальные затраты
Операционный	Операционные расходы

Основным методом исследования рисков является анализ чувствительности - метод оценки влияния основных параметров финансовой модели на результирующий показатель.

В данном разделе проведен анализ чувствительности величины прогнозного тарифа к изменениям:

- а) Объема инвестиций;

б) Цена сбыта.

Пределы изменения рассматриваемых факторов определялись экспертизно и представлены на рисунке 8.3.

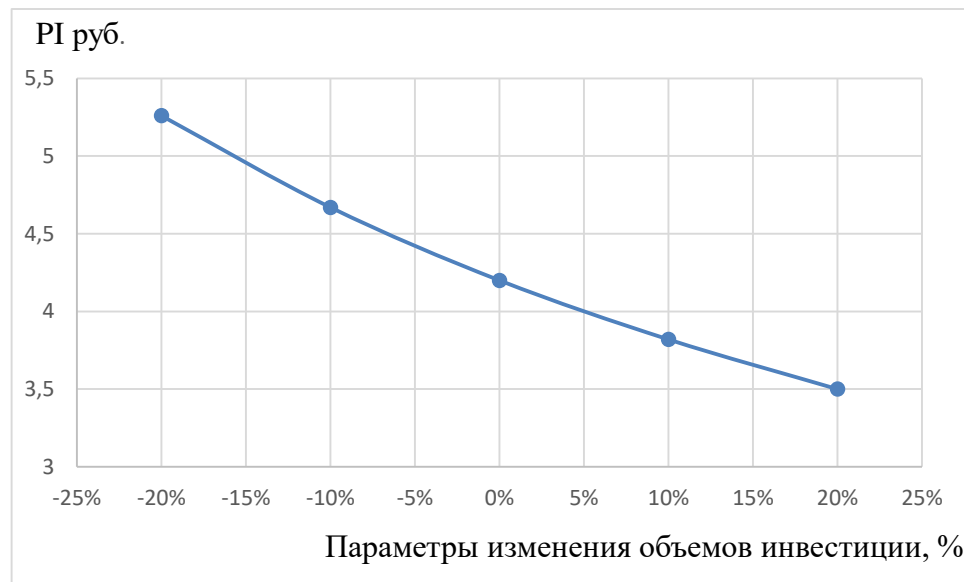


Рисунок 8.3 – Сумма PI от в зависимости от изменения объёма инвестиций

Чем больше инвестиций привлекается для реализации проекта, тем меньше PI.

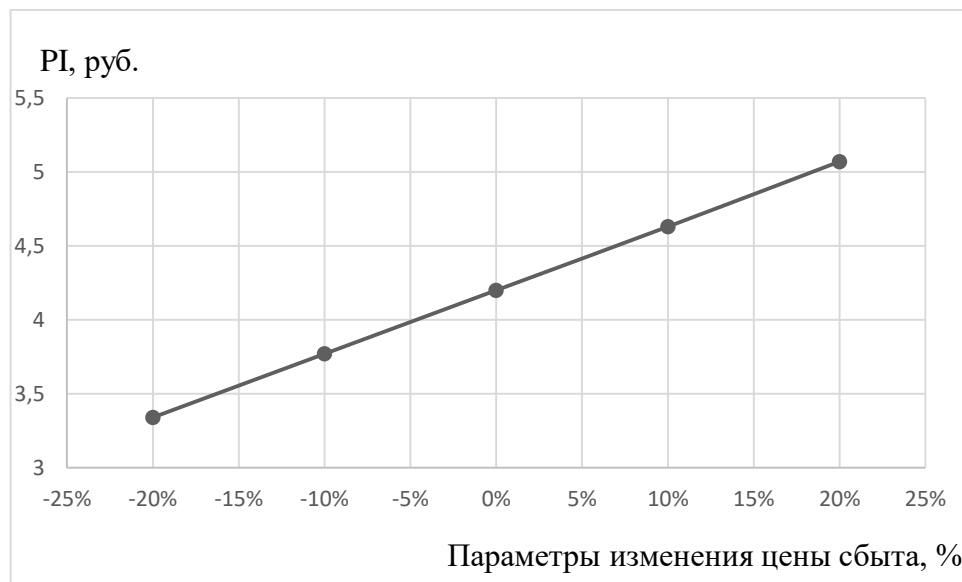


Рисунок 8.4 – Сумма PI в зависимости от изменения объёма сбыта

При увеличении цены сбыта электроэнергии происходит рост прибыли, следовательно, индекс прибыльности растет, что видно из графика на рисунке 8.4.

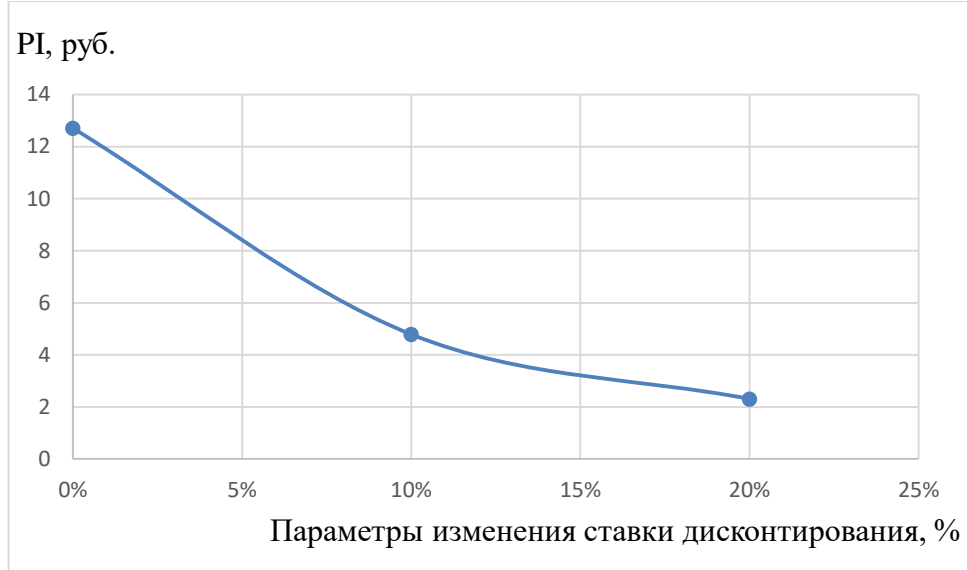


Рисунок 8.5 – Сумма PI в зависимости от изменения ставки дисконтирования

Увеличение ставки дисконтирования ведет к уменьшению величины PI это мы можем наблюдать на рисунке 8.5.

Проведенный анализ чувствительности показал, что наибольший риск для проекта представляют изменение следующих параметров:

- изменение ставки дисконтирования;
- изменение цены электроэнергии;
- изменение инвестиций.

9 Система АИИС КУЭ, требования, схемы, датчики, системы сбора, обработки и представления данных, отчетов, взаимодействие с СО ЕЭС, НП АТС.

9.1 Назначение системы

Система автоматизированная информационно-измерительная коммерческого учета электроэнергии (АИИС КУЭ) – иерархическая система, представляющая собой техническое устройство, функционально объединяющее совокупность измерительно-информационных комплексов точек измерений, информационно-вычислительных комплексов электроустановок, информационно-вычислительного комплекса и системы обеспечения единого времени, выполняющее функции проведения измерений, сбора, обработки и хранения результатов измерений, информации о состоянии объектов и средств измерений, а также передачи полученной информации в интегрированную автоматизированную систему управления коммерческим учетом на оптовом рынке электроэнергии в автоматизированном режиме.

Полученные данные и результаты измерений могут использоваться для коммерческих расчетов и оперативного управления энергопотреблением.

Коммерческий учет электрической энергии (мощности) – процесс измерения количества электрической энергии и определения объема мощности, сбора, хранения, обработки, передачи результатов этих измерений и формирования, в том числе расчетным путем, данных о количестве произведенной и потребленной электрической энергии (мощности) для целей взаиморасчетов за поставленную электрическую энергию (мощность), а также за связанные с указанными поставками услуги.

9.2 Требования к системе

Нормативно техническая документация по созданию и введению АИИС КУЭ на оптовый рынок электроэнергии

Технические требования к АИИС КУЭ и процедура выведения АИИС КУЭ на ОРЭМ устанавливаются утвержденным НП «Совет Рынка» Регламентом допуска к торговой системе оптового рынка и приложениями к нему, в частности:

- Приложение № 1.1. Положение о порядке получения статуса субъекта оптового рынка и ведения реестра субъектов оптового рынка;
- Приложение № 11.1. Автоматизированные информационно-измерительные системы коммерческого учета электрической энергии (мощности). Технические требования;
- Приложение № 11.3. Порядок установления соответствия АИИС КУЭ техническим требованиям оптового рынка и присвоения класса АИИС КУЭ;

- Приложение № 11.4. Методические указания по предоставлению информации в АО «АТС» о состоянии системы учета электроэнергии заявителя (опросные листы).

Требования к АИИС КУЭ

В соответствии с Приложения № 11.1 система должна обеспечивать:

- измерение количества активной и реактивной электрической энергии с дискретностью 30 минут (30-минутные приращения электроэнергии) и нарастающим итогом на начало расчетного периода (далее – результаты измерений), используемое для формирования данных коммерческого учета;
- формирование данных о состоянии средств измерений («Журналы событий») и в случае использования для расчета значений учетных показателей данных о вариантах схем электроснабжения и (или) о положении коммутационной аппаратуры предоставление в коммерческий оператор (КО) данных о состоянии объектов измерений (далее – данные о состоянии средств и объектов измерений);
- ведение единого времени при выполнении измерений количества активной и реактивной электрической энергии и формирования данных о состоянии средств и объектов измерений;
- периодический (1 раз в сутки) и (или) по запросу автоматический сбор результатов измерений электрической энергии и данных о состоянии средств и объектов измерений;
- хранение не менее 3,5 лет результатов измерений, данных о состоянии средств и объектов измерений;
- обработку, формирование и передачу результатов измерений и в случае использования для расчета значений учетных показателей данных о вариантах схем электроснабжения и (или) о положении коммутационной аппаратуры данных о состоянии объектов измерений в XML-формате по электронной почте КО и внешним организациям с электронной подписью;
- обеспечение защиты оборудования, программного обеспечения от несанкционированного доступа на физическом и программном уровне;
- обеспечение по запросу КО дистанционного доступа к результатам измерений, данным о состоянии средств измерений и в случае использования для расчета значений учетных показателей данных о вариантах схем электроснабжения и (или) о положении коммутационной аппаратуры объектов измерений с сервера (АРМа) ИВК АИИС КУЭ на всех уровнях АИИС КУЭ.

9.3 Выбор основных устройств системы

В настоящее время на рынке систем АИИС КУЭ представлено большое количество устройств различных заводов изготовителей. Важной задачей является правильно выбрать оборудование, чтобы оно отвечало не только требованиям на устройства АИИС КУЭ, таким как бесперебойная работа, надежность, класс точности, но и удовлетворяло по экономическим показателям.

Мной были рассмотрены следующие приборы учета электроэнергии:

- АО «ННПО им. Фрунзе» (счетчик «СЭТ-4ТМ.02»);
- ООО «НПК Инкотекс» (счетчики «Меркурий 230 ART»);
- Концерна «Энергомера» (CE301-S31);
- Международной группы компаний Elster (счетчики Альфа и Евро Альфа);
- Компании Echelon Corporation (однофазные и многофазные счетчики KNUM (EM)).

Технические характеристики рассмотренных счетчиков СЭТ-4ТМ.02

Класс точности по активной энергии	0,2S или 0,5S;
по реактивной энергии	0,5 или 1,0.
Ток чувствительности, мА	$0,001I_{ном}$
Потребляемая мощность по цепям напряжения, ВА, не более	2,0
Межповерочный интервал, лет	10
Защита информации	три программных уровня и аппаратная блокировка
	циклическая, непрерывная
Самодиагностика	
Средняя наработка до отказа, час	90000
Средний срок службы, лет	30
Производитель	Россия

СЭТ-4ТМ.02 ведут многотарифный учет активной и реактивной энергии прямого и обратного направления по восьми тарифным зонам. Ведут архивы учтенной энергии с возможностью просмотра на индикаторе и считывания через интерфейсы связи: всего отброса показаний; за текущий и предыдущий год; за текущий и каждый из 11 предыдущих месяцев; за текущие и предыдущие сутки. Формируют массив профиля мощности с программируемым временем интегрирования от 1 до 30 минут для активной и реактивной мощности прямого и обратного направления. Глубина хранения каждого массива профиля мощности при времени интегрирования 30 минут составляет 3,7 месяца. Ведут журналы событий, журналы показателей качества электричества, журналы превышения порога мощности и статусный журнал. Измеряют мгновенные значения физических величин, характеризующих трехфазную электрическую сеть.

Могут использоваться как измерители показателей качества электричества по параметрам установившегося отклонения фазных (межфазных, прямой последовательности) напряжений и частоты сети с погрешностями измерений, установленными в технических условиях. Обеспечивают возможность программирования, перепрограммирования, управления и считывания параметров и данных через интерфейс RS-485 и оптопорт.

Особенности:

- Цифровая обработка сигналов.
- Два интерфейса связи: RS-485 и оптопорт.
- Встроенные часы реального времени.
- Четыре импульсных выхода.
- Энергонезависимая память.

Меркурий 230 ART

Класс точности по активной энергии	0,5S или 1,0;
по реактивной энергии	1,0 или 2,0.
Ток чувствительности, мА	5,0(7,5A); 20,0(60A); 40(100A)
Потребляемая мощность по цепям напряжения, ВА, не более	0,1
Межповерочный интервал, лет	10
Задержка информации	два уровня доступа и аппаратная защита памяти метрологических коэффициентов
Самодиагностика	непрерывная
Производитель	Россия

Меркурий 230 ART ведет измерение, учёт, хранение, вывод на ЖКИ и передачу по интерфейсам активной и реактивной электроэнергии раздельно по каждому тарифу и сумму по всем тарифам.

Тарификатор счётчика обеспечивает возможность учёта по 4 тарифам в 16 временных зонах суток для 4-х типов дней.

Так же измеряют мгновенные значения физических величин, характеризующих трехфазную электрическую сеть.

При необходимости в счётчике можно задать лимит максимальной мощности нагрузки и перевести счётчик в режим управления по лимитам. В случае превышения установленного лимита счётчик сделает соответствующую запись в журнале событий с отметкой даты и времени когда произошло это превышение. Журнал доступен к прочтения по любому из цифровых интерфейсов счётчика кроме PLC.

Возможно управление нагрузкой через телеметрический выход внешними цепями коммутации.

СЕ301-S31

Класс точности по активной энергии	0,2S или 0,5S;
по реактивной энергии	0,5 или 1,0.
Ток чувствительности, мА	5,0(10A); 20,0(60A)
Потребляемая мощность по цепям напряжения, ВА, не более	1,0
Межповерочный интервал, лет	10
Средняя наработка до отказа, час	220000
Средний срок службы, лет	30

- | | |
|---|--------|
| Производитель | Россия |
| Особенности электросчетчика: | |
| • Наличие оптического интерфейса. | |
| • Интерфейс RS485. | |
| • Управление нагрузкой с использованием внешнего коммутационного устройства. | |
| • Для монтажа на плоскую поверхность счетчик комплектуется специальной крышкой закрывающей доступ к тоководам. | |
| • Сигнализация об отклонении от лимитов по мощности и потреблению. | |
| • Защита памяти данных и памяти программ от несанкционированных изменений (пароль счетчика, аппаратная блокировка). | |
| • Устойчивость к климатическим, механическим и электромагнитным воздействиям. | |

Альфа А1800

Класс точности по активной энергии	0,2S или 0,5S;
по реактивной энергии	0,5 или 1,0.
Ток чувствительности, мА	$0,001I_{ном}$
Потребляемая мощность по цепям	3,6
напряжения, ВА, не более	
Межповерочный интервал, лет	12
Самодиагностика	есть
Средняя наработка до отказа, час	120000
Средний срок службы, лет	30
Производитель	Россия
Опционально: GSM/GPRS модемы серии «Метроника 100» для удаленного снятия показаний с А1800. Выдерживают перенапряжения в сети 0,4 кВ.	

Echelon EM 2023

Класс точности по активной энергии	1,0;
по реактивной энергии	2,0.
Потребляемая мощность по цепям	6,0
напряжения, ВА, не более	
Межповерочный интервал, лет	16
Средняя наработка до отказа, час	145000
Средний срок службы, лет	30
Производитель	США

Из представленных моделей оптимальным вариантом являются счетчики «Альфа А1800». Передовая технология на базе измерительного чипа ALPHA® гарантирует высокую точность и надёжность работы счётчика, а развитые функциональные возможности и защитные качества удовлетворяют самым строгим стандартам и отвечают всем требованиям современной и будущей энергетики.

Счётчик Альфа А1800 обладает увеличенной памятью, что позволяет ему вести запись трёх независимых массивов профиля нагрузки по энергии и

мощности с разными интервалами усреднения (1, 2, 3, 5, 6, 10, 15, 30 и 60 мин.) А также до 32 различных графиков параметров сети с двумя различными интервалами.

Кроме того, записанные за последний интервал данные параметров сети, которые хранятся в отдельном блоке памяти счётчика, можно считывать напрямую с частотой порядка нескольких секунд. Коммерческие данные по электроэнергии и мощности можно считывать при этом по второму цифровому интерфейсу, с другой частотой, например 30-мин. Что позволяет использовать счётчик Альфа А1800 одновременно в качестве прибора коммерческого учёта и как датчика (с замещающими данными) для систем оперативно-диспетчерского и технологического управления SCADA.

Встроенная плата дополнительного питания, замена батареи без вскрытия счётчика, 16-сегментный дисплей с подсветкой, открытый протокол ANSI для чтения счётчика – дополнительные опции, которые обеспечивают удобство работы с новым счётчиком.

В наряду представленных достоинств данная модель имеет относительно не высокую стоимость и удобство в эксплуатации.

Выбор устройства сбора и передачи данных:

- RTU-327 производства компании «Эльстер Метроника»;
- «ЭКОМ-3000» производства ООО «Прософт-Системы»;
- СИКОН С70 — контроллеры производства ЗАО ИТФ «Системы и технологии».

RTU 327

Основные характеристики:

- количество опрашиваемых приборов учета — до 2000
- длительность хранения:
 - 210 суток (7 месяцев) для А+А-Р+Р-
 - 3 суток для коротких интервалов
 - 3 суток для параметров электросети
 - являются восстанавливаемыми изделиями, рассчитанными на непрерывный режим работы. Наработка на отказ 100000 часов (250 С, полная нагрузка).
 - срок службы не менее 20 лет.
 - объединение измерений, полученных со счетчиков, в групповые измерения.

В памяти УСПД сохраняются как технический, так и коммерческий графики.

Учёт потреблённой и выданной активной и реактивной энергии за расчётный период для счётчиков и групп суммарно и по тарифным зонам.

ЭКОМ-3000

Основные характеристики:

- количество каналов учета — до 3000;
- количество опрашиваемых приборов учета — до 100;
- обработка до 80 пользовательских алгоритмов;

- встроенные часы реального времени;
- встроенный GPS/ГЛОНАСС-приемник;
- не имеет вентиляторов и движущихся частей;
- операционная система реального времени.

Дополнительные возможности

- световая индикация режимов работы;
- аварийная сигнализация и самодиагностика.

СИКОН С70

Основные характеристики и функциональные особенности

- количество каналов измерений (учёта): до 96;
- количество тарифных зон в сутки: до 12;
- количество групп учёта: до 48;
- совместимость с основными типами счётчиков;
- измерение приращения энергии и усредненной мощности;
- контроль текущих значений энергии и показаний счётчиков;
- ведение графиков мощности;
- ведение «Журнала событий»;
- возможность подключения в сеть Profibus (DIN 19245) до 32 контроллеров.

Контроллеры СИКОН С70 имеют 8 универсальных, программно настраиваемых, интерфейсов последовательной связи для организации информационного обмена с внешними устройствами.

Для АИИС КУЭ Петровской ГЭС выбрала УСПД серии RTU-327 Оно имеет одинаковое встроенное программное обеспечение, предназначены для работы в автоматическом режиме, могут поставляться как отдельно, так и в составе шкафов и ИВК «АльфаЦентр». Позволяют объединять электросчёты и другие УСПД и ИВК по местам их расположения в объекты контроля с использованием цифровых интерфейсов типа Ethernet, RS-485, RS-232. Для автоматической коррекции измерений текущего времени имеется возможность подключения ГЛОНАСС/GPS-приёмника (необязательный элемент).

9.4 Структурная схема АИИС КУЭ Петровской ГЭС

АИИС КУЭ представляет собой многоуровневую автоматизированную информационно-измерительную систему коммерческого учета электроэнергии с централизованным управлением и распределённой функцией измерения.

Функции АИИС КУЭ реализуются на следующих уровнях:

1. Уровень измерительно-информационных комплексов (далее – ИИК), в состав которых входят:

- счетчики электрической энергии (Альфа А1800);
- измерительные трансформаторы тока и напряжения;
- вторичные измерительные цепи;
- технические средства приема-передачи данных и каналы связи (каналообразующая аппаратура).

2. Уровень информационно-вычислительных комплексов электроустановок (далее – ИВКЭ), в состав которых входят:
- устройства сбора и передачи данных (RTU 327);
 - технические средства приема-передачи данных и каналы связи (каналообразующая аппаратура).

3. Уровень информационно-вычислительного комплекса, в состав которого входят:

- сервер (сервера) баз данных с установленным программным обеспечением (ПО);
- автоматизированные рабочие места (АРМ);
- технические средства приема-передачи данных и каналы связи (каналообразующая аппаратура).

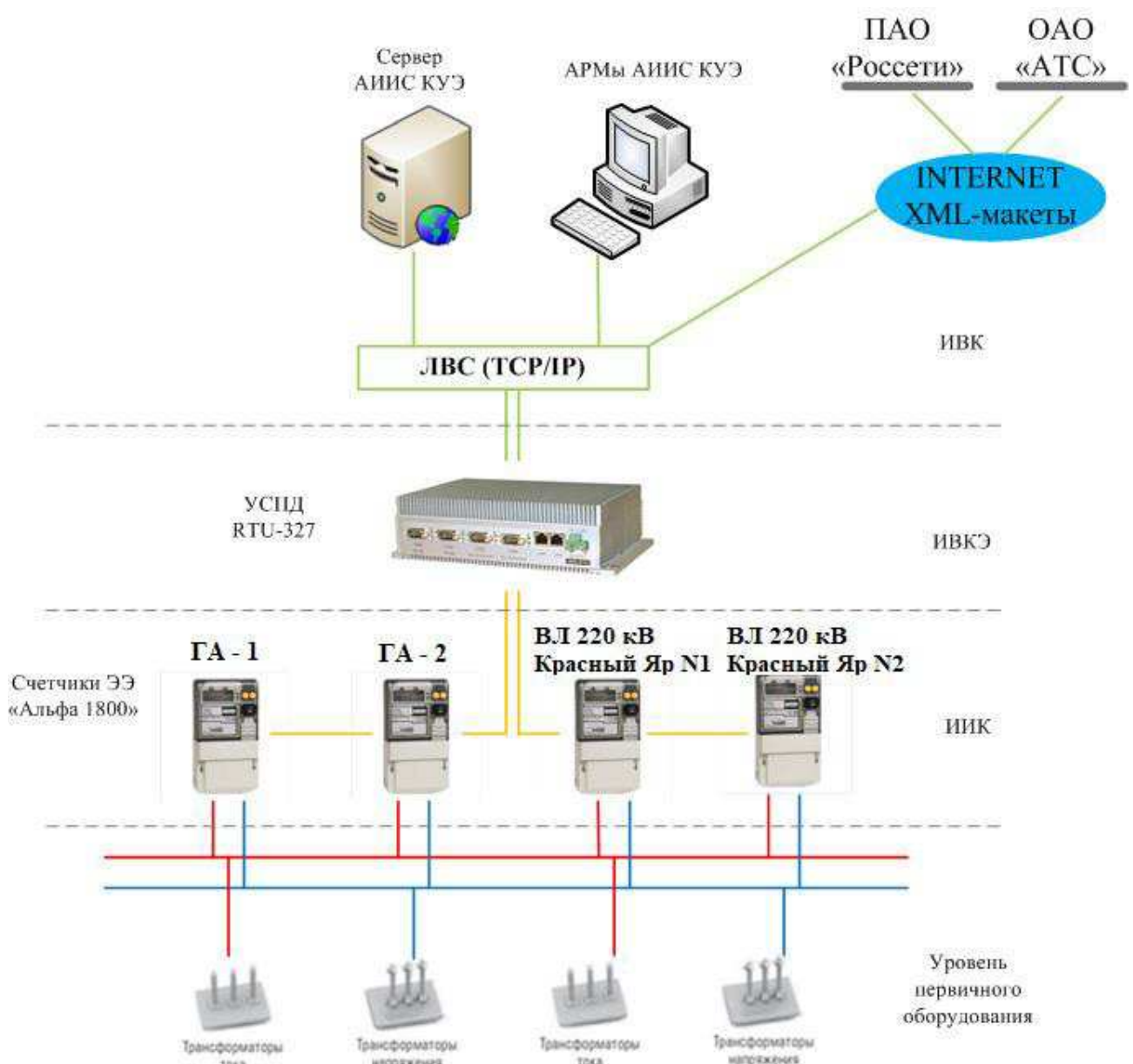


Рисунок 9.1 – Структурная схема АИИС КУЭ Петровской ГЭС

Описание работы АИИС КУЭ Петровской ГЭС

Сигналы, пропорциональные напряжению и току в сети, снимаются с вторичных обмоток трансформаторов тока и напряжения и поступают на вход преобразователя счетчика Альфа А1800. В счетчике мгновенные значения аналоговых сигналов преобразуются в цифровой сигнал. По мгновенным значениям силы и напряжения электрического тока в микропроцессоре счетчика вычисляются мгновенные значения активной и полной мощности, которые усредняются за период 0,02 с. Средняя за период реактивная мощность вычисляется по средним за период значениям активной и полной мощности.

Цифровой сигнал с выходов счетчиков по проводным линиям связи поступает на выходы УСПД RTU 327, где осуществляется вычисление электроэнергии и мощности с учетом коэффициентов трансформации ТТ и ТН, хранение измерительной информации, ее накопление и передача накопленных данных на верхний уровень системы (сервер базы данных), а также отображение информации по подключенными к УСПД устройствам.

На верхнем – третьем уровне системы выполняется дальнейшая обработка измерительной информации, в частности, формирование и хранение поступающей информации, оформление справочных и отчетных документов. Далее по каналам связи (ЛВС), обеспечивается дальнейшая передача информации в ОАО «АТС», региональный филиал ПАО «Россети».

Взаимодействие между АИИС КУЭ, ОАО «АТС», региональным филиалом ПАО «Россети» осуществляется по следующим каналам связи:

1. основной канал связи организован на базе выделенного канала сети «Интернет». Основной канал связи обеспечивает, скорость передачи данных не менее 28800 бит/сек и имеет коэффициент готовности не хуже 0,95;

2. резервный канал связи организован через телефонную сеть общего пользования. Резервный канал связи обеспечивает, скорость передачи данных не менее 9600 бит/сек и коэффициент готовности не хуже 0,95.

Для обеспечения единства измерений в состав АИИС КУЭ входит система обеспечения единого времени (СОЕВ).

СОЕВ выполняет законченную функцию измерений времени, имеет нормированные метрологические характеристики и обеспечивает синхронизацию времени с точностью не хуже $\pm 0,5$ с/сутки.

9.5 Система АИИС КУЭ на оптовом рынке. Взаимодействие с НП АТС.

Для получения доступа АИИС КУЭ Петровской ГЭС к оптовому рынку электроэнергии и мощности для обеспечения законной коммерческой информацией как субъекта рынка в соответствии с регламентами ОРЭ (НП АТС) необходимо выполнить комплекс мероприятий совместно с НП АТС.

Основой для построения системы коммерческого учета являются технические требования оптового рынка электроэнергии, отраженные в

сопутствующих документах к «Положению о порядке получения статуса субъекта оптового рынка и ведения реестра субъектов оптового рынка».

Отношения, связанные с коммерческим учетом электроэнергии на ОРЭ, регулируются нормативными документами, в числе которых:

- Гражданский кодекс РФ;
- ФЗ «Об электроэнергетике»;
- ФЗ «Об обеспечении единства измерений»;
- ФЗ «О техническом регулировании»;
- Правила оптового рынка электроэнергии (мощности) переходного периода и др.

Данные документы выдвигают комплекс требований к составу, техническим характеристикам, компонентам системы АИС КУЭ и этапам их построения, обеспечению надежности таких компонентов. Детально требования к организации процесса коммерческого учета и технические требования изложены в регламентах – приложениях к Договору о присоединении к торговой системе ОРЭМ. «Положение о порядке получения статуса субъекта...» также впервые ввело требования к точности измерений, то есть ввело метрологические характеристики компонентов создаваемой АИС КУЭ.

Для получения статуса субъекта оптового рынка необходимо выполнить следующие процедуры:

- вступить в члены НП «Совет рынка»;
 - предоставить в ОАО «АТС» заявление и документы, предусмотренные Положением о порядке получения статуса субъекта оптового рынка и ведение реестра субъектов оптового рынка;
 - получить Акт о согласовании групп точек поставки (ГТП);
 - получить Акт установления соответствия АИС КУЭ техническим требованиям оптового рынка электрической энергии и мощности класса А или А+;
 - подписать Договор о присоединении к торговой системе оптового рынка.
- Также непременным условием получения статуса субъекта оптового рынка электрической энергии является наличие заключенного в установленном порядке договора об оказании услуг по передаче электрической энергии.

ЗАКЛЮЧЕНИЕ

В работе рассчитаны и определены основные элементы и параметры Петровской ГЭС высотой 37,0 м на реке Медведица, являющейся сооружением I класса.

В ходе водно-энергетических расчётов на основе исходных данных по энергосистеме и гидрологии была выбрана установленная мощность Петровской ГЭС, а также определена зона её работы в суточных графиках нагрузки для зимы и лета. Установленная мощность составила $N_{уст} = 171$ МВт. Определён уровень мёртвого объёма, отметка которого равна 172,22 м. Полезный объём при данных отметках НПУ 179,0 м и УМО составляет 4,07 км^3 . Произведена оценка среднемноголетней выработки электроэнергии, которая составила 1029 млн. $\text{kVt}\cdot\text{ч}$.

На последующем этапе было определено оптимальное число и тип гидроагрегатов электростанции. Для этого была построена область допустимых режимов работы, на которой определены следующие напоры: максимальный $H_{max} = 27,2$ м; расчётный $H_{расч} = 22,0$ м; минимальный $H_{min} = 18,5$ м.

Максимальный расход через все агрегаты ГЭС Q_{max} , соответствующий расчётному напору, составляет 901 $\text{м}^3/\text{с}$.

По результатам расчётов был определён оптимальный вариант с четырьмя гидроагрегатами, с диаметром рабочих колес 8,5 м ПЛ30 б-В.

По справочным данным для выбранной поворотно-лопастной турбины с синхронной частотой вращения 73,2 об/мин был подобран серийный гидрогенератор СВ 1450/83-82 УХЛ4 с номинальной активной мощностью 85,5 МВт.

Далее была выбрана структурная схема ГЭС с одиночными блоками. По справочным данным и каталогам было выбрано следующее высоковольтное оборудование: блочные трансформаторы ТДЦ-125000/220-У1, УХЛ1, трансформаторы собственных нужд ТС3 – 2500/15-УЗ, ТС-2500/35-У1, ТС3 1600/6-УЗ, для ВЛЭП – сталеалюминевые провода марки АС 240/32.

Распределительное устройство принято со схемой четырехугольник ОРУ 220. В качестве генераторного выключателя принят ВГБУ-220 укомплектованный трансформаторами тока, напряжения, разъединителем, ограничителем перенапряжения.

После выбора основного электрооборудования был рассмотрен обязательный перечень устройств релейной защиты и автоматики в соответствии с ПУЭ.

Компоновка гидроузла была принята русловой. В состав сооружений входят:

- глухая правобережная грунтовая плотина;
- бетонная водосливная плотина;
- русловое здание ГЭС;
- глухая левобережная грунтовая плотина;
- разделительный устой между водосливной и станционной частью;

- сопрягающие устои.

длина по гребню:

- общая длина 849,80 м;
 - бетонные сооружения 234,00 м;
 - грунтовые сооружения 615,80 м;
 - водосливной плотины 149,00 м;
 - правобережной грунтовой плотины 213,00;
 - левобережной грунтовой плотины 402,80 м;
- длина машзала – 85,00 м.

На данном этапе расчётным путём определены габаритные размеры и характерные отметки плотины:

ширина подошвы –43,00 м;

отметка подошвы –140,00 м;

отметка гребня быка – 183,00м;

отметка гребня водослива – 173,00 м;

количество водосливных отверстий – 8;

ширина отверстия в свету – 12 м;

толщина быка – 5 м.

Во избежание недопустимо больших напряжений в различных частях тела бетонной плотины, она разделена на секции постоянными температурно-осадочными швами.

В плотинах на гравийных грунтах разрезку швами в основном производят по осям бычков, через 2-3 пролета. Ширина между температурно-осадочными швами составляет 34 метра. Ширина между секционными швами надрезами составляет 17 м.

В результате расчётов коэффициент надёжности сооружения составляет 1,40 для основного сочетания нагрузок (нормативное значение для сооружений I класса – 1,25). Таким образом, плотина Петровского гидроузла отвечает требованиям надёжности. При расчёте плотины на прочность сжимающие напряжения не превышают критических значений, растягивающие напряжения отсутствуют. Плотина отвечает всем требованиям, предусмотренными СП.

В соответствии с действующим законодательством рассмотрены мероприятия организации безопасности ГТС. Также перечислены мероприятия по охране окружающей среды в период возведения и эксплуатации гидроузла.

По технико-экономическим расчётам получены следующие показатели:

Чистый дисконтированный доход NPV= 8,048 млрд.руб.

Индекс прибыльности PI = 1,77

Срок окупаемости проекта равен 6,83 лет

Себестоимость электроэнергии 0,148 руб./кВт·ч

Удельные капиталовложения 19907,1 руб./кВт

Таким образом, строительство Петровской ГЭС с установленной мощностью 171 МВт в настоящее время является актуальным проектом.

СПИСОК ИСПОЛЬЗОВАННЫХ ИСТОЧНИКОВ

1. Затеева, Е. Ю. Выбор параметров ГЭС: учебно-методическое пособие к курсовому и дипломному проектированию гидротехнических объектов / А. Ю. Александровский, Е. Ю. Затеева, Б. И. Силаев. – Саяногорск : СШФ КГТУ, 2008. – 114 с.
2. Затеева, Е. Ю. Использование водной энергии: методические указания по выполнению курсового и дипломного проектов / Е. Ю. Затеева. – Саяногорск : СШФ СФУ, 2012. – 11 с.
3. Филиал ОАО «СО ЕЭС» ОДУ СИБИРИ.ОАО «Системный оператор Единой энергетической системы» [Электронный ресурс]. – Режим доступа : <http://so-ups.ru/>
4. Щавелев, Д. С. Гидроэнергетическое и вспомогательное оборудование гидроэлектростанций: справочное пособие : в 2 т. / Под ред. Ю. С. Васильева, Д. С. Щавелева. – Т. 2. Вспомогательное оборудование гидроэлектростанций. / М. И. Гальперин, И. Н. Лукин [и др.] – Москва :Энергоатомиздат, 1990. – 336 с.
5. Правила устройства электроустановок (ПУЭ), изд. 6,7, 2014 г.
6. СТО «Определение предварительных технических решений по выдаче мощности электростанций». Утв. на заседании правления ОАО РАО «ЕЭС России» от 21.01.2008 №1805 Пр.[Электронный ресурс]. – Режим доступа :http://so-ups.ru/fileadmin/files/laws/standards/NRG_system.pdf
7. СТО 17330282.27.140.020-2008 Системы питания собственных нужд ГЭС Условия создания нормы и требования. – Введ. 30.07.2008. – Москва : ОАО РАО «ЕЭС России», 2008. – 24 с.
8. СТО 59012820-29.20.30.003-2009 Схемы принципиальные электрические распределительных устройств подстанций 35-750 кВ. – Введ. 20.12.2007 – Москва : ОАО РАО «ЕЭС России», 2007 – 132 с.
9. СТО 15352615-023-2011 Номенклатурный каталог «Тольяттинский трансформатор»[Электронный ресурс]. – Режим доступа :<http://transformator.com.ru>
10. СТО 56947007-29.240.014-2008 «Укрупненные показатели стоимости сооружения (реконструкции) подстанций 35-750 кВ и линий электропередачи напряжением 6,10-750 кВ» [Электронный ресурс]. – Режим доступа :<http://www.fsk-ees.ru/upload/docs/56947007-29.240.014-2008.pdf>
11. ГОСТ 56303-2014 Оперативно-диспетчерское управление нормальные схемы электрических соединений объектов электроэнергетики. [Электронный ресурс]. – Режим доступа :<http://docs.cntd.ru/document/1200115865>
12. ГОСТ Р 56302-2014 Оперативно-диспетчерское управление Диспетчерские наименования объектов электроэнергетики и оборудования объектов электроэнергетики. [Электронный ресурс]. – Режим доступа :<http://docs.cntd.ru/document/1200115864>
13. Толстихина Л.В. Параметры электрооборудования и режимы электроэнергетических систем в примерах и иллюстрациях: учебное пособие

для практических занятий/ Л.В. Толстихина.-Саяногорск: Сибирский федеральный ун-т; Саяно-Шушенский филиал, 2010.-180 с.

14. Киреева Э.А. Полный справочник по электрооборудованию и электротехнике: справочное издание; под общ.ред. С.Н. Шерстнева. – 2-е изд., стер. – М.: КНОРУС, 2013. – 864 с.

15. Каталог Паспортные данные гидрогенераторов [Электронный ресурс]. - режим доступа: www.online-electric.ru

16. Гидротехнические сооружения. Проектирование гидротехнических сооружений в составе гидроузла: методические указания по выполнению курсового проекта и выпускной квалификационной работы /сост. Т.А. Лыбина, Н.П. Ульянова, В.Б. Затеев. – Саяногорск; Черёмушки: Сибирский Федеральный Университет; Саяно-Шушенский филиал, 2016. – 64 с.

17. СП 58.13330.2012. Гидротехнические сооружения. Основные положения. Актуализированная редакция СНиП 33-01-2003. – М.: ФГУП ЦПП,2012.

18. СП 40.1333.2012 «Плотины бетонные и железобетонные». Актуализированная редакция СНиП 2.06.06-85. – М.: Минрегион России, 2012.

19. СП 38.13330.2012 «Нагрузки и воздействия на гидротехнические сооружения» Актуализированная редакция СНиП 2.06.04 – 82. – М.: Минрегион России, 2012.

20. Техническая политика ОАО «РусГидро» – 2011. [Электронный ресурс]. – Режим доступа: <http://www.rushydro.ru/Tehnicheskaya-politika.pdf>

21.«Единые сценарные условия ПАО «РусГидро» на (2017-2042 гг.) от 16.01.2017 № 9.

22. ПУЭ 6 издание ГОСЭНЕРГОНАДЗОР, Москва 2000г.

23. Положение о порядке получения статуса субъекта оптового рынка и ведения реестра субъектов оптового рынка. Автоматизированные информационно-измерительные системы коммерческого учета электрической энергии (мощности).

24. Современная рыночная электроэнергетика Российской Федерации. АНО Учебный центр НП «Совет рынка», г.Москва, 2012г.

ПРИЛОЖЕНИЕ А – П

ПРИЛОЖЕНИЕ А

Гидрологический ряд

Таблица А.1 – Ряд гидрологических наблюдений за рекой Медведица за период 1927 – 2013 гг.

Расходы в кубических метрах в секунду

Год	I	II	III	IV	V	VI	VII	VIII	IX	X	XI	XII	Qср.год
1927	282	247	308	507	713	778	845	913	559	415	320	224	509
1928	282	248	310	512	715	780	850	912	569	413	319	225	511
1929	281	248	312	517	716	781	856	911	580	412	319	226	513
1930	281	249	314	523	718	782	862	909	590	410	318	227	515
1931	280	249	316	528	719	783	867	908	600	409	318	228	517
1932	280	249	318	533	721	784	873	907	611	408	317	229	519
1933	279	250	320	539	722	785	878	906	621	406	316	230	521
1934	279	250	322	544	724	787	884	905	632	405	316	231	523
1935	279	251	324	549	726	788	890	904	642	404	315	232	525
1936	278	251	326	555	727	789	895	902	652	402	314	233	527
1937	278	251	328	560	729	790	901	901	663	401	314	234	529
1938	277	252	330	565	730	791	906	900	673	399	313	236	531
1939	277	252	332	571	732	792	912	899	684	398	312	237	533
1940	276	252	334	576	733	794	917	898	694	397	312	238	535
1941	276	253	336	581	735	795	923	896	704	395	311	239	537
1942	275	253	338	587	736	796	929	895	715	394	310	240	539
1943	275	254	340	592	738	797	934	894	725	393	310	241	541
1944	275	254	342	597	740	798	940	893	736	391	309	242	543
1945	274	254	344	603	741	799	945	892	746	390	308	243	545
1946	274	255	346	608	743	801	951	891	756	388	308	244	547
1947	273	255	348	613	744	802	957	889	767	387	307	245	549
1948	273	256	350	618	746	803	962	888	777	386	306	246	551
1949	272	256	352	624	747	804	968	887	788	384	306	247	553
1950	272	256	353	629	749	805	973	886	798	383	305	248	555
1951	272	257	355	634	750	806	979	885	808	382	305	249	557
1952	271	257	357	640	752	808	985	884	819	380	304	250	559
1953	271	258	359	645	754	809	990	882	829	379	303	251	561
1954	261	295	344	566	621	814	833	907	626	420	314	243	520
1955	262	292	348	577	632	816	850	904	653	416	313	245	526

Продолжение приложения А

Продолжение таблицы А.1

Год	I	II	III	IV	V	VI	VII	VIII	IX	X	XI	XII	Qср.год
1956	262	290	351	588	643	818	867	901	680	412	311	247	531
1957	263	287	354	600	655	820	884	898	707	408	310	249	536
1958	263	285	358	611	666	822	901	895	733	403	309	250	541
1959	264	282	361	622	677	824	918	892	760	399	308	252	547
1960	264	280	365	633	688	826	935	889	787	395	307	254	552
1961	264	277	368	644	699	828	953	885	814	391	306	256	557
1962	265	275	371	655	711	830	970	882	840	386	304	258	562
1963	265	272	375	666	722	831	987	879	867	382	303	259	567
1964	266	270	378	677	733	833	1004	876	894	378	302	261	573
1965	266	267	382	688	744	835	1021	873	921	374	301	263	578
1966	267	265	385	699	755	837	1038	870	947	370	300	265	583
1967	267	263	388	710	766	839	1055	867	974	365	298	267	588
1968	297	292	311	1087	792	796	1302	930	955	395	361	182	642
1969	373	302	588	954	1044	976	1347	770	1354	460	323	319	734
1970	205	221	311	678	466	724	614	765	688	182	260	257	448
1971	189	200	286	466	678	860	703	680	651	296	286	148	454
1972	157	178	395	541	597	664	940	535	770	274	256	251	463
1973	329	281	370	747	881	975	1672	1280	1547	479	244	428	769
1974	146	146	361	584	707	678	992	865	999	304	256	234	523
1975	335	254	622	779	1150	1296	1702	1230	1206	407	281	410	806
1976	329	270	378	557	921	913	1177	1342	565	300	336	279	614
1977	162	281	336	795	609	716	681	1243	560	171	185	211	496
1978	373	259	445	790	1212	1042	1221	1180	1902	403	315	325	789
1979	437	308	353	1246	1322	808	1362	775	1354	308	307	405	749
1980	227	232	571	647	1037	711	1754	785	1695	285	353	371	722
1981	238	270	496	1113	833	640	1243	1020	1214	395	223	200	657
1982	448	281	714	1060	998	1227	1480	1370	1680	521	496	376	887
1983	157	173	328	604	650	778	984	851	520	198	168	165	465
1984	313	227	462	1235	1240	974	1880	760	1813	319	374	302	825
1985	227	173	412	769	767	824	1066	690	1317	232	172	279	577
1986	216	173	286	859	781	801	1169	625	992	205	252	268	552
1987	329	508	680	1203	1057	1223	1961	1570	1354	346	391	302	910

Окончание приложения А

Окончание таблицы А.1

Год	I	II	III	IV	V	VI	VII	VIII	IX	X	XI	XII	Qср.год
1988	194	178	378	901	889	637	1317	870	1495	308	269	314	646
1989	140	162	361	519	631	677	762	585	562	239	227	239	426
1990	313	216	344	625	792	610	1147	665	1339	217	189	359	568
1991	135	173	328	628	627	621	688	610	390	160	130	177	389
1992	211	340	445	668	1018	781	866	1090	932	236	286	194	589
1993	270	373	596	1288	918	1090	1961	695	1554	380	365	296	816
1994	157	232	319	482	851	858	1236	630	490	247	197	182	490
1995	173	324	378	1012	894	737	1147	710	1191	342	336	308	629
1996	378	421	521	1431	871	969	1628	1090	2346	574	357	502	924
1997	200	184	244	869	756	1036	666	615	528	255	168	285	484
1998	302	400	428	800	952	796	1813	1265	2050	380	315	462	830
1999	362	324	546	1246	770	618	1569	1180	1302	441	202	331	741
2000	243	313	664	1383	818	1294	1591	835	1495	433	244	399	809
2001	184	200	487	859	692	633	799	733	500	220	164	274	479
2002	286	383	328	869	841	1223	1132	995	940	433	336	291	671
2003	243	157	319	561	758	729	977	640	858	217	151	228	486
2004	254	286	319	479	779	746	999	992	585	247	256	182	510
2005	205	205	260	466	697	651	703	656	681	156	134	154	414
2006	211	319	428	959	850	1056	1450	795	869	247	332	222	645
2007	205	248	462	769	858	1262	1302	800	1480	395	231	262	690
2008	232	286	580	938	1122	894	984	760	1465	251	311	393	685
2009	286	194	302	906	906	909	1043	885	1117	410	311	342	634
2010	308	513	739	1002	855	1173	1717	940	1880	395	382	433	861
2011	227	189	454	742	656	940	999	925	999	312	286	228	580
2012	261	305	543	878	816	1031	1325	939	1560	360	344	340	725
2013	265	311	562	887	829	1057	1362	968	1628	371	357	351	746

ПРИЛОЖЕНИЕ Б

Данные для построения кривых обеспеченности

Таблица Б.1 – Данные для построения кривых обеспеченности

m	P,%	года	$Q_{ср.год.},$ $м^3/с$	года	$Q_{ср.пол.},$ $м^3/с$	года	$Q_{ср.меж.},$ $м^3/с$
1	1,1	1996-1997	866	1987-1988	1395	2009-2010	437
2	2,3	1987-1988	846	1996-1997	1389	1998-1999	398
3	3,4	1998-1999	839	1984-1985	1317	1995-1996	384
4	4,6	1982-1983	822	1982-1983	1302	1981-1982	377
5	5,7	1984-1985	809	1998-1999	1279	1986-1987	374
6	6,9	2010-2011	804	2010-2011	1261	1968-1969	367
7	8,0	1978-1979	791	1993-1994	1251	1999-2000	365
8	9,2	1975-1976	787	2000-2001	1236	2012-2013	364
9	10,3	2000-2001	780	1975-1976	1227	1978-1979	357
10	11,5	1993-1994	771	1978-1979	1224	2010-2011	347
11	12,6	1979-1980	743	1973-1974	1184	1975-1976	346
12	13,8	1973-1974	742	1979-1980	1144	1996-1997	343
13	14,9	1999-2000	740	1999-2000	1114	1982-1983	342
14	16,1	2012-2013	727	1980-1981	1105	1979-1980	342
15	17,2	1980-1981	720	2012-2013	1091	1980-1981	335
16	18,4	2007-2008	705	2007-2008	1078	1974-1975	334
17	19,5	1981-1982	694	1969-1970	1074	2007-2008	331
18	20,7	1969-1970	690	2008-2009	1027	1992-1993	326
19	21,8	1968-1969	672	1988-1989	1018	2000-2001	324
20	23,0	2009-2010	671	1981-1982	1010	2011-2012	322
21	24,1	1995-1996	666	2002-2003	1000	1954-1955	313
22	25,3	2008-2009	658	2006-2007	997	1955-1956	313
23	26,4	2002-2003	648	1968-1969	977	1956-1957	312
24	27,6	2006-2007	641	1995-1996	949	1957-1958	312
25	28,7	1988-1989	639	1976-1977	912	1958-1959	312
26	29,9	1986-1987	622	1985-1986	905	1959-1960	311
27	31,0	1992-1993	609	2009-2010	905	1960-1961	311
28	32,2	2011-2012	600	1992-1993	893	1961-1962	311
29	33,3	1976-1977	597	2011-2012	877	1962-1963	310
30	34,5	1967-1968	587	1986-1987	871	1963-1964	310
31	35,6	1966-1967	583	1967-1968	869	1964-1965	309
32	36,8	1965-1966	578	1990-1991	863	1965-1966	309
33	37,9	1964-1965	573	1966-1967	858	1966-1967	309
34	39,1	1974-1975	569	1965-1966	847	1969-1970	307
35	40,2	1963-1964	568	1964-1965	836	1997-1998	306
36	41,4	1985-1986	566	1963-1964	825	1953-1954	306
37	42,5	1953-1954	562	1953-1954	818	1967-1968	305

Продолжение приложения Б

Продолжение таблицы Б.1

m	P,%	года	$Q_{ср.год.},$ $м^3/с$	года	$Q_{ср.пол.},$ $м^3/с$	года	$Q_{ср.меж.},$ $м^3/с$
38	43,7	1962-1963	562	1962-1963	815	1952-1953	304
39	44,8	1952-1953	559	1952-1953	814	1951-1952	303
40	46,0	1951-1952	557	1951-1952	811	1950-1951	303
41	47,1	1961-1962	557	1950-1951	807	1949-1950	303
42	48,3	1950-1951	555	1974-1975	804	1948-1949	303
43	49,4	1949-1950	553	1961-1962	804	1947-1948	303
44	50,6	1960-1961	552	1949-1950	803	1946-1947	303
45	51,7	1948-1949	551	1948-1949	799	1945-1946	303
46	52,9	1947-1948	549	1947-1948	795	1944-1945	302
47	54,0	1990-1991	548	1960-1961	793	1943-1944	302
48	55,2	1946-1947	547	1946-1947	792	1942-1943	302
49	56,3	1959-1960	547	1945-1946	788	1941-1942	302
50	57,5	1945-1946	545	1944-1945	784	1940-1941	302
51	58,6	1944-1945	543	1959-1960	782	1939-1940	302
52	59,8	1943-1944	541	1943-1944	780	1938-1939	301
53	60,9	1958-1959	541	1942-1943	776	1937-1938	301
54	62,1	1942-1943	539	1941-1942	772	1936-1937	301
55	63,2	1941-1942	537	1958-1959	771	1984-1985	301
56	64,4	1957-1958	536	1940-1941	769	1935-1936	301
57	65,5	1940-1941	535	1977-1978	767	1934-1935	301
58	66,7	1939-1940	533	1939-1940	765	1933-1934	301
59	67,8	1938-1939	531	2004-2005	763	1932-1933	300
60	69,0	1956-1957	531	1938-1939	761	1973-1974	300
61	70,1	1937-1938	529	1957-1958	760	1931-1932	300
62	71,3	1936-1937	527	1994-1995	758	1930-1931	300
63	72,4	1955-1956	526	1937-1938	757	1929-1930	300
64	73,6	1997-1998	526	2003-2004	754	1928-1929	300
65	74,7	1935-1936	525	1936-1937	753	1927-1928	300
66	75,9	1934-1935	523	1956-1957	750	1987-1988	298
67	77,0	1933-1934	521	1935-1936	750	2002-2003	296
68	78,2	1954-1955	521	1934-1935	746	1972-1973	293
69	79,3	1977-1978	521	1997-1998	745	1993-1994	292
70	80,5	1932-1933	519	1933-1934	742	2008-2009	290
71	81,6	1931-1932	517	1955-1956	739	2006-2007	286
72	82,8	1930-1931	515	1932-1933	738	1976-1977	282
73	83,9	1929-1930	513	1931-1932	734	2001-2002	276
74	85,1	1928-1929	511	1983-1984	731	1977-1978	274
75	86,2	1927-1928	509	1930-1931	731	1989-1990	263
76	87,4	1994-1995	504	1954-1955	728	1988-1989	259

Окончание приложения Б

Окончание таблицы Б.1

m	P,%	года	$Q_{ср.год.},$ $м^3/с$	года	$Q_{ср.пол.},$ $м^3/с$	года	$Q_{ср.меж.},$ $м^3/с$
77	88,5	2003-2004	498	1929-1930	727	1983-1984	255
78	89,7	2004-2005	495	1928-1929	723	1994-1995	250
79	90,8	1983-1984	493	1927-1928	719	1991-1992	244
80	92,0	2001-2002	489	2001-2002	703	1971-1972	243
81	93,1	1972-1973	484	1972-1973	674	2003-2004	243
82	94,3	1971-1972	458	1971-1972	673	2005-2006	234
83	95,4	1989-1990	443	1970-1971	656	1990-1991	233
84	96,6	1970-1971	442	2005-2006	644	1970-1971	229
85	97,7	2005-2006	439	1989-1990	623	1985-1986	226
86	98,9	1991-1992	419	1991-1992	594	2004-2005	226

ПРИЛОЖЕНИЕ В

Суточный график нагрузки и ИКН зимнего периода

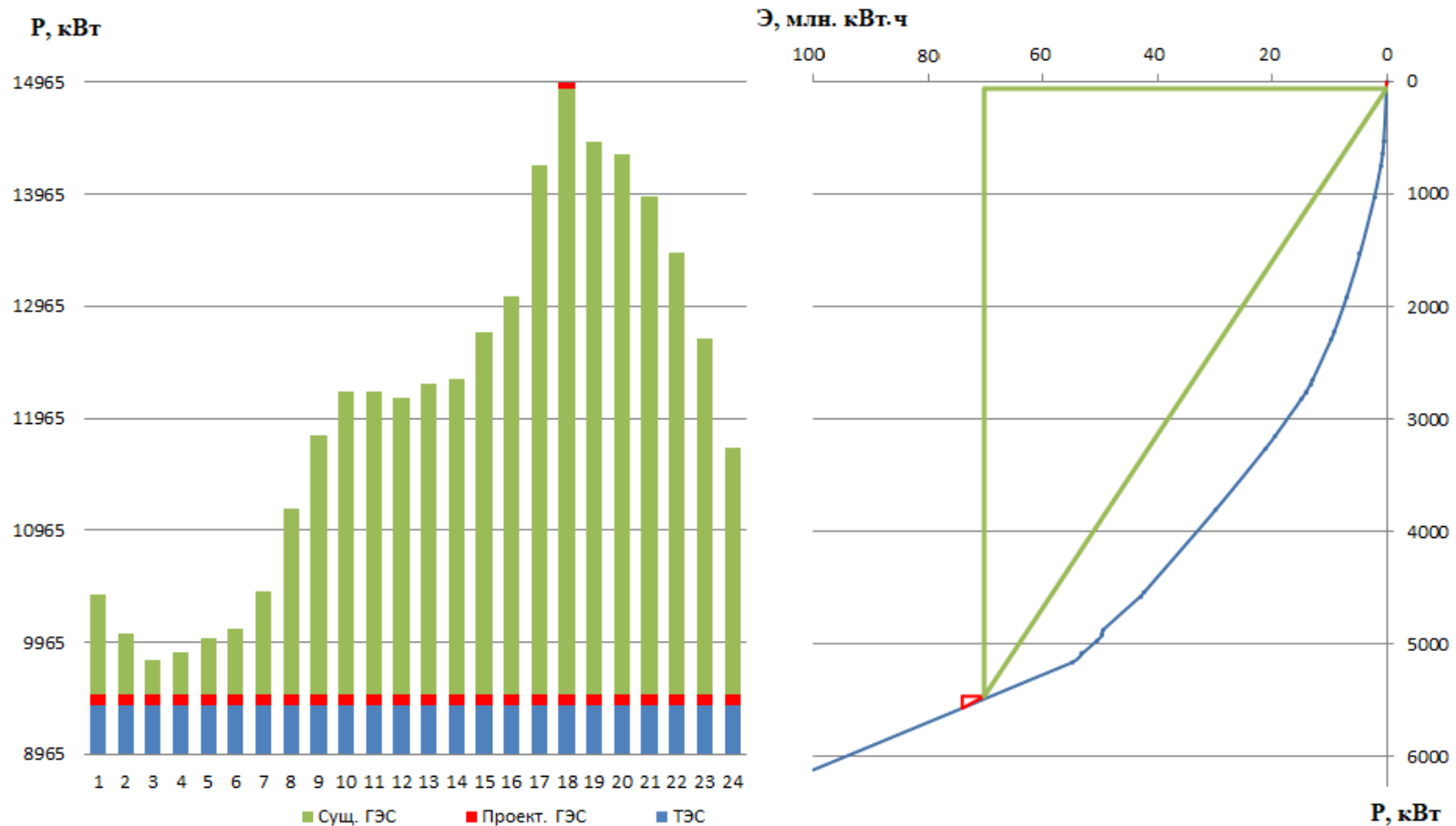


Рисунок В.1 - Суточный график нагрузки и ИКН зимнего периода

ПРИЛОЖЕНИЕ Г
Оценка работы по водотоку

Таблица Г.1 – Оценка работы по водотоку

Показатель	Зима			Лето						Зима		
	I	II	III	IV	V	VI	VII	VIII	IX	X	XI	XII
$Q_{\text{пр}}^{90\%}, \text{м}^3/\text{с}$	299	216	441	594	640	765	968	511	837	189	160	158
$Q_{\Phi}, \text{м}^3/\text{с}$	1	1	1	1	1	1	1	1	1	1	1	1
$Q_{\text{исп}}, \text{м}^3/\text{с}$	0	0	1	2	2	3	3	3	2	1	0	0
$Q_{\text{лёд}}, \text{м}^3/\text{с}$	-5	0	1	2	2	1	1	1	1	0	0	-4
$Q_{\text{потр.из в/х}}, \text{м}^3/\text{с}$	1	1	1	1	1	1	1	1	1	1	1	1
$Z_{\text{ВБ}}, \text{м}$	179	179	179	179	179	179	179	179	179	179	179	179
$Z_{\text{НБ}}, \text{м}$	150,4	149,5	151,5	152,0	152,2	152,8	153,6	151,5	153,1	149,2	148,8	148,8
$H, \text{м}$	28,00	28,87	26,86	26,43	26,19	25,60	24,75	26,90	25,28	29,20	29,57	29,61
$N_{\text{быт}}, \text{МВт}$	72	54	104	138	147	171	210	120	186	48	41	40
$Q_{\text{ВХК}}, \text{м}^3/\text{с}$	450	450	450	450	450	450	450	450	450	450	450	450
$Z_{\text{ВБ}}, \text{м}$	179	179	179	179	179	179	179	179	179	179	179	179
$Z_{\text{НБ}}, \text{м}$	151,6	151,6	151,6	151,1	151,1	151,1	151,1	151,1	151,1	151,6	151,6	151,6
$H, \text{м}$	26,79	26,79	26,79	27,29	27,29	27,29	27,29	27,29	27,29	26,79	26,79	26,79
$N_{\text{ВХК}}, \text{МВт}$	106	106	106	108	108	108	108	108	108	106	106	106
$N_{\text{быт}} - N_{\text{ВХК}}$	-34	-52	-2	30	39	63	102	12	77	-58	-65	-67

ПРИЛОЖЕНИЕ Д

Водно-энергетический расчёт режима работы ГЭС в маловодном году

Таблица Д.1 – Водно-энергетический расчёт режима работы ГЭС в маловодном году (1 итерация)

Месяц	$Q_{\text{пр.90\% быт}}$	$Q_{\Sigma \text{ пот.}}$	$Q_{\text{полез.90\% быт}}$	$Q_{\text{водохрн.}}$	$Q_{\text{ГЭС}}$	$Q_{\text{НБ}}$	$Q_{\text{ВХК}}$	$V_{\text{нач.}}$	ΔV	$V_{\text{конеч.}}$	$Z_{\text{ВВ нач.}}$	$Z_{\text{ВВ конеч.}}$	$Z_{\text{ВВ сп.}}$	H	N	$N_{\text{rap.}}$	
10	189	2	187	162	349	350	350	10,19	0,43	9,76	179,00	178,39	178,70	150,4	27,7	85,1	
11	160	1	159	190	349	350	350	9,76	0,49	9,26	178,39	177,70	178,04	150,4	27,1	83,1	
12	158	5	153	400	553	554	300	9,26	1,07	8,19	177,70	176,14	176,92	151,7	24,6	119,6	117
1	299	6	293	300	593	594	300	8,19	0,80	7,39	176,14	174,88	175,51	152,0	22,9	119,7	117
2	216	1	215	134	349	350	350	7,39	0,34	7,05	174,88	174,31	174,60	150,4	23,6	72,5	
3	441	1	440	-91	349	350	350	7,05	-0,24	7,30	174,31	174,73	174,52	150,4	23,5	72,3	
4	594	1	593	-244	349	350	350	7,30	-0,63	7,93	174,73	175,74	175,23	150,4	24,3	74,5	
5	640	1	639	-290	349	350	350	7,93	-0,78	8,71	175,74	176,90	176,32	150,4	25,3	77,8	
6	765	3	762	-413	349	350	350	8,71	-1,07	9,78	176,90	178,42	177,66	150,4	26,7	81,9	
7	968	3	965	-616	349	350	350	9,78	-1,65	11,43	178,42	180,56	179,49	150,4	28,5	87,6	
8	511	3	508	-159	349	350	350	11,43	-0,43	11,85	180,56	180,91	180,73	150,4	29,7	91,4	
9	837	2	835	-486	349	350	350	11,85	-1,26	13,11	180,91	180,13	180,52	150,4	29,5	90,7	

Продолжение приложения Д

Таблица Д.2 – Водно-энергетический расчёт режима работы ГЭС в маловодном году (2 итерация)

Месяц	$Q_{\text{пр.90% быт}}$	$Q_{\Sigma \text{ пот.}}$	$Q_{\text{полез.90% быт}}$	$Q_{\text{водохрн.}}$	$Q_{\text{ГЭС}}$	$Q_{\text{НБ}}$	$Q_{\text{ВХК}}$	$V_{\text{нач.}}$	ΔV	$V_{\text{конеч.}}$	$Z_{\text{ВБ нач.}}$	$Z_{\text{ВБ конеч.}}$	$Z_{\text{ВБ сп.}}$	H	N	$N_{\text{rap.}}$	
10	189	2	187	162,0	349	350,0	350	10,19	0,43	9,76	179,00	178,39	178,70	150,4	27,7	85,1	
11	160	1	159	190,0	349	350,0	350	9,76	0,49	9,26	178,39	177,70	178,04	150,4	27,1	83,1	
12	158	5	153	602,5	553	756,5	300	9,26	1,61	7,65	177,70	175,30	176,50	152,8	23,1	153,8	150
1	299	6	293	586,0	593	880,0	300	7,65	1,57	6,08	175,30	172,48	173,89	153,3	20,0	154,7	150
2	216	1	215	134,0	349	350,0	350	6,08	0,34	5,74	172,48	171,78	172,13	150,4	21,1	64,9	
3	441	1	440	-91,0	349	350,0	350	5,74	-0,24	5,99	171,78	172,29	172,04	150,4	21,1	64,7	
4	594	1	593	-244,0	349	350,0	350	5,99	-0,63	6,62	172,29	173,53	172,91	150,4	21,9	67,4	
5	640	1	639	-290,0	349	350,0	350	6,62	-0,78	7,40	173,53	174,90	174,21	150,4	23,2	71,3	
6	765	3	762	-413,0	349	350,0	350	7,40	-1,07	8,47	174,90	176,55	175,72	150,4	24,7	76,0	
7	968	3	965	-616,0	349	350,0	350	8,47	-1,65	10,12	176,55	178,90	177,73	150,4	26,7	82,1	
8	511	3	508	-159,0	349	350,0	350	10,12	-0,43	10,54	178,90	179,49	179,20	150,4	28,2	86,6	
9	837	2	835	-486,0	349	350,0	350	10,54	-1,26	11,80	179,49	180,88	180,18	150,4	29,2	89,7	

Продолжение приложения Д

Таблица Д.3 – Водно-энергетический расчёт режима работы ГЭС в маловодном году (3 итерация)

Месяц	$Q_{\text{пр.90% быт}}$	$Q_{\Sigma \text{ пот.}}$	$Q_{\text{полез.90% быт}}$	$Q_{\text{водохран.}}$	$Q_{\text{ГЭС}}$	$Q_{\text{НБ}}$	$Q_{\text{ВЖК}}$	$V_{\text{нач.}}$	ΔV	$V_{\text{конеч.}}$	$Z_{\text{ВБ нач.}}$	$Z_{\text{ВБ конеч.}}$	$Z_{\text{ВБср.}}$	$Z_{\text{ВБср.}}$	H	N	$N_{\text{рап.}}$
10	189	2	187	263	450	451	450	10,19	0,70	9,49	179,00	178,01	178,51	151,1	26,8	106,1	
11	160	1	159	291	450	451	450	9,49	0,75	8,73	178,01	176,93	177,47	151,1	25,8	102,0	14,5
12	158	5	153	446	599	600	450	8,73	1,19	7,54	176,93	175,12	176,03	152,0	23,4	123,5	123,5
1	299	6	293	364	657	658	450	7,54	0,97	6,56	175,12	173,43	174,27	152,3	21,4	123,5	123,5
2	216	1	215	234	449	450	450	6,56	0,59	5,98	173,43	172,27	172,85	151,1	21,1	83,5	14,5
3	441	1	440	9	449	450	450	5,98	0,02	5,95	172,27	172,22	172,25	151,1	20,5	81,1	
4	594	1	593	-144	449	450	450	5,95	-0,37	6,33	172,22	172,97	172,60	151,1	20,9	82,5	
5	640	1	639	-190	449	450	450	6,33	-0,51	6,83	172,97	173,93	173,45	151,1	21,7	85,9	
6	765	3	762	-313	449	450	450	6,83	-0,81	7,65	173,93	175,30	174,61	151,1	22,9	90,5	
7	968	3	965	-516	449	450	450	7,65	-1,38	9,03	175,30	177,36	176,33	151,1	24,6	97,3	
8	511	3	508	-59	449	450	450	9,03	-0,16	9,19	177,36	177,59	177,47	151,1	25,8	101,8	
9	837	2	835	-386	449	450	450	9,19	-1,00	10,19	177,59	179,00	178,29	151,1	26,6	105,0	

Окончание приложения Д

Таблица Д.4 – Водно-энергетический расчёт режима работы ГЭС в средневодном году

Месяц	$Q_{\text{пр.90% быт}}$	$Q_{\Sigma \text{ пот.}}$	$Q_{\text{полез.90% быт}}$	$Q_{\text{водохран.}}$	$Q_{\text{ГЭС}}$	$Q_{\text{НБ}}$	$Q_{\text{ВХК}}$	$V_{\text{нач.}}$	ΔV	$V_{\text{конеч.}}$	$Z_{\text{ВБ нач.}}$	$Z_{\text{ВБ конеч.}}$	$Z_{\text{ВБср.}}$	H	N	$N_{\text{rap.}}$	
10	284	2	282	167,0	449,0	450,0	450	10,19	0,44	9,74	179,00	178,37	178,69	151,1	27,0	106,6	
11	247	1	246	203,0	449,0	450,0	450	9,74	0,53	9,22	178,37	177,63	178,00	151,1	26,3	103,9	14,5
12	206	5	201	373,5	574,5	575,5	450	9,22	1,00	8,22	177,63	176,18	176,90	151,9	24,4	123,5	123,5
1	322	6	316	297,5	613,5	614,5	450	8,22	0,80	7,42	176,18	174,93	175,55	152,1	22,9	123,5	123,5
2	306	1	305	144,0	449,0	450,0	450	7,42	0,36	7,06	174,93	174,32	174,63	151,1	22,9	90,5	14,5
3	453	1	452	-3,0	449,0	450,0	450	7,06	-0,01	7,07	174,32	174,34	174,33	151,1	22,6	89,4	
4	624	1	623	-174,0	449,0	450,0	450	7,07	-0,45	7,52	174,34	175,09	174,71	151,1	23,0	90,9	
5	698	1	697	-248,0	449,0	450,0	450	7,52	-0,66	8,18	175,09	176,13	175,61	151,1	23,9	94,4	
6	800	3	797	-340,0	457,0	458,0	450	8,18	-0,88	9,06	176,13	177,41	176,77	151,2	25,0	100,5	
7	974	3	971	-400,0	571,0	572,0	450	9,06	-1,07	10,13	177,41	178,93	178,17	151,8	25,7	129,2	
8	868	3	865	-17,0	848,0	849,0	450	10,13	-0,05	10,18	178,93	178,99	178,96	153,2	25,2	188,0	
9	858	2	856	-5,0	851,0	852,0	450	10,18	-0,01	10,19	178,99	179,01	179,00	153,2	25,2	188,9	

$$\bar{\mathcal{E}}_{\text{многол.}} = 1029 \text{ млн кВт} \cdot \text{ч.}$$

ПРИЛОЖЕНИЕ Е

Баланс мощности энергосистемы в маловодном году

Таблица Е.1 – Баланс мощности энергосистемы в маловодном году

Месяц	Нагрузка системы			Существующая ГЭС			Проектируемая ГЭС			ТЭС		
	P_{max} , МВт	P_{ap} , МВт	P_{hp} , МВт	$N_{раб}$, МВт	N_{hp} , МВт	$N_{рем}$, МВт	$N_{раб}$, МВт	N_{hp} , МВт	$N_{рем}$, МВт	$N_{раб}$, МВт	N_{ap} , МВт	$N_{рем}$, МВт
I	14924	1051	225	5381	82	0	169	3	0	8324	1051	0
II	14611	1051	0	5381	82	0	169	3	0	8011	1051	0
III	14070	1051	0	5381	82	0	169	3	0	7470	1051	0
IV	13444	1051	0	5381	82	0	169	3	0	6844	1051	700
V	12902	1051	0	5381	82	0	169	3	0	6302	1051	1200
VI	12589	1051	0	5381	82	0	169	3	0	5989	1051	1541
VII	12588	1051	0	5381	82	0	169	3	0	5988	1051	1541
VIII	12899	1051	0	5381	82	1050	169	3	0	6299	1051	0
IX	13440	1051	0	5381	82	316	169	3	43	6840	1051	0
X	14066	1051	0	5381	82	0	169	3	0	7466	1051	0
XI	14609	1051	0	5381	82	0	169	3	0	8009	1051	0
XII	14923	1051	0	5381	82	0	169	3	0	8323	1051	0

ПРИЛОЖЕНИЕ Ж

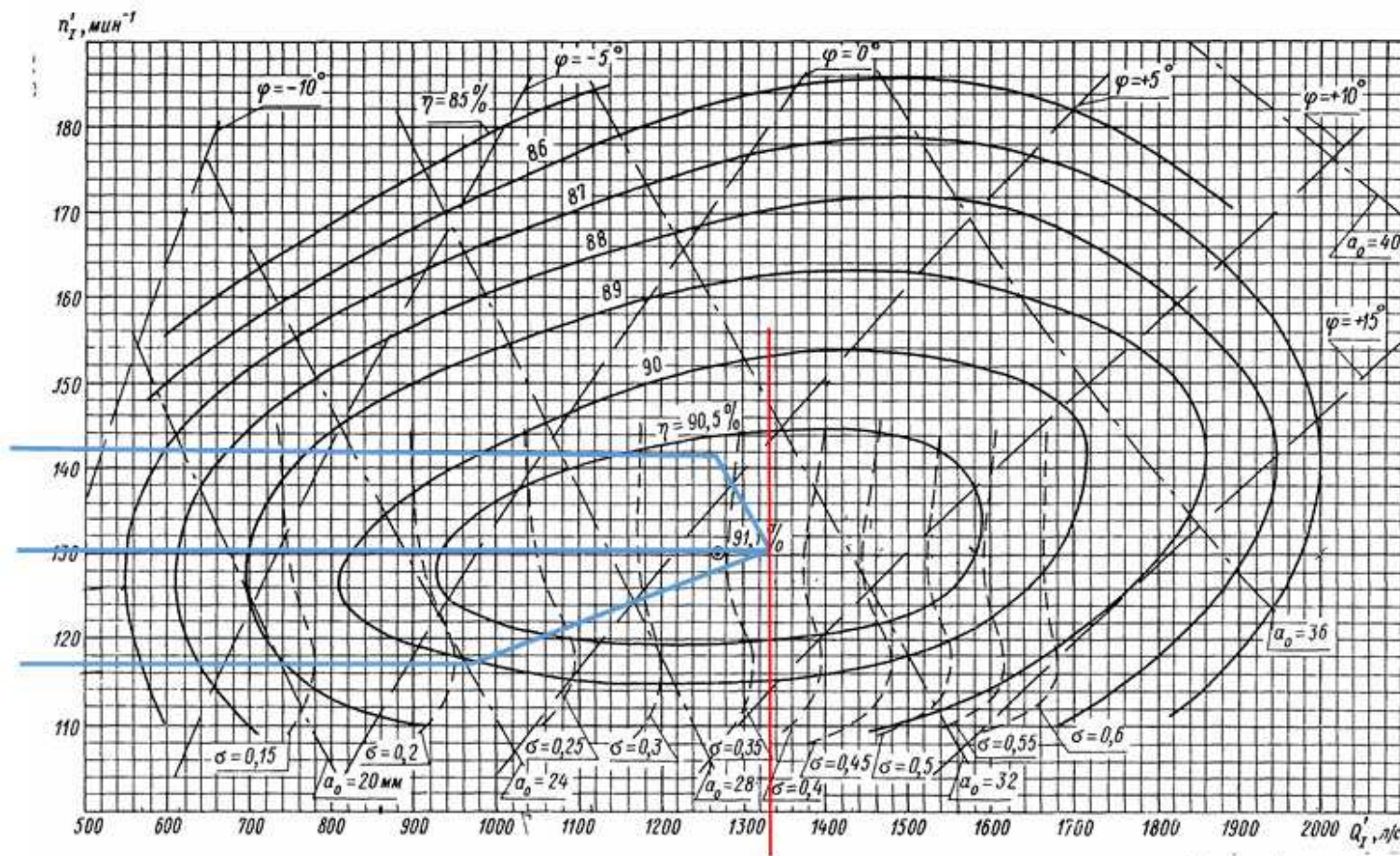


Рисунок Ж.1 – Универсальная характеристика ПЛ 30 – В – 850

Продолжение приложения Ж

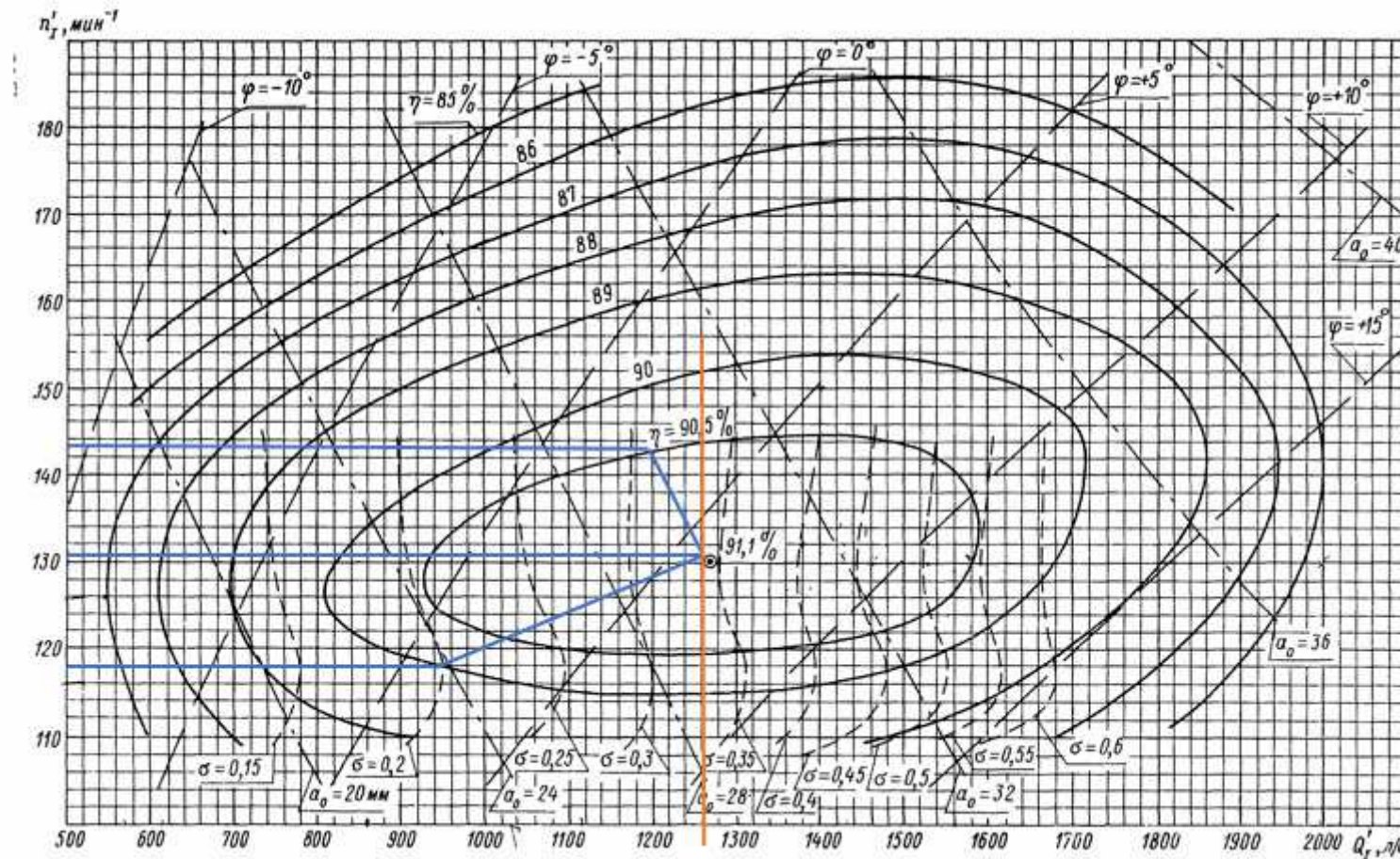


Рисунок Ж.2 – Универсальная характеристика ПЛ 30 – В – 500

Окончание приложения Ж

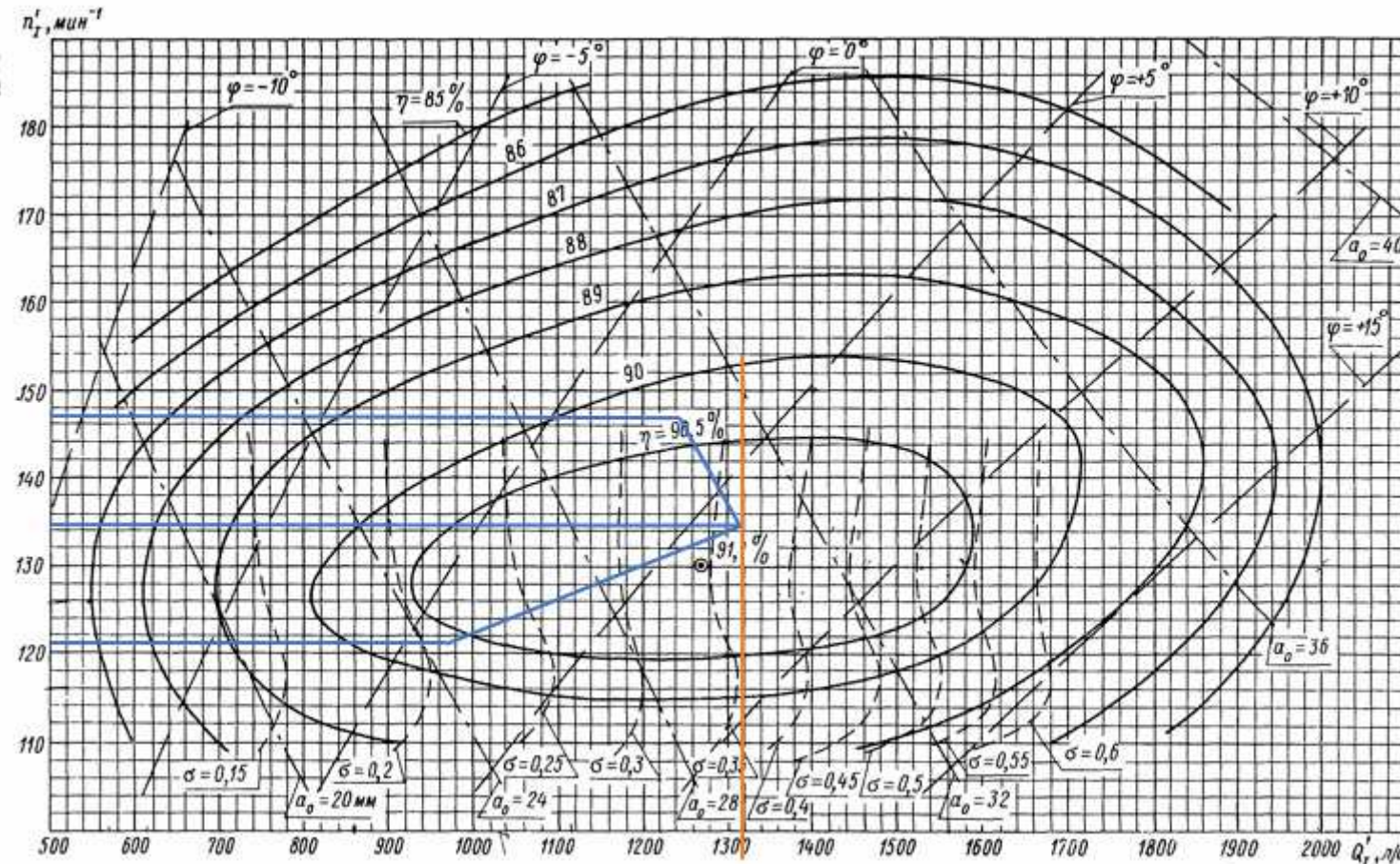


Рисунок Ж.3 - Универсальная характеристика ПЛ 30 – В – 600

ПРИЛОЖЕНИЕ И

Проточная часть турбины ПЛ 30 – В

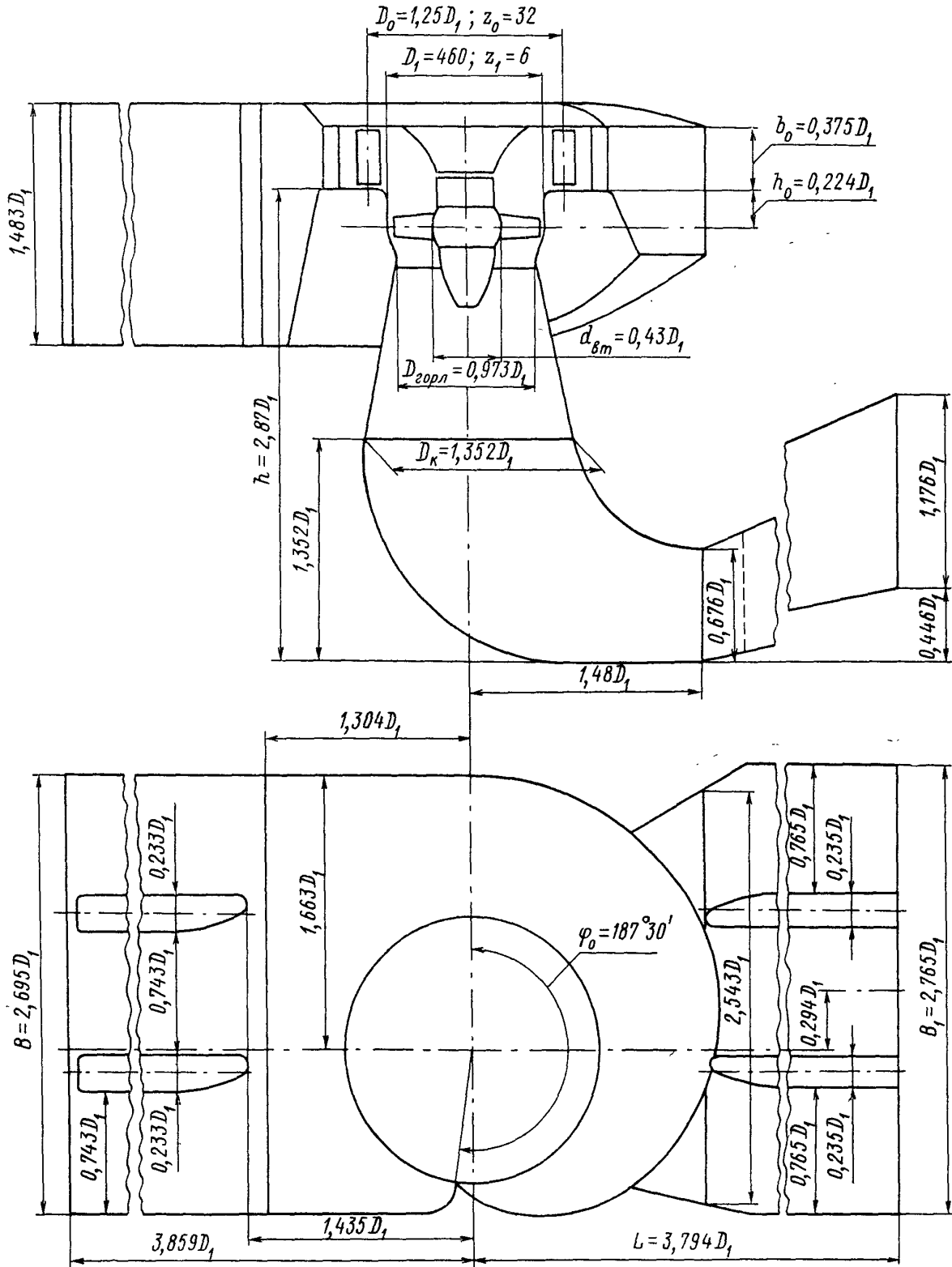


Рисунок И.1 – Проточная часть турбины

ПРИЛОЖЕНИЕ К
Уставки и матрицы отключений защит

Таблица К.1 – Уставки защит

Защиты		Уставки		
Наименование	Обозначение	Наименование	Относительные единицы	Именованные единицы
Диф. защита продольная	$I_{\Delta G}$	Ток срабатывания, $I_{CP,0}$	$0,15 \cdot I_H$	0,670 A
		Коэффициент торможения, K_T	0,3	-
		Уставка начального торможения, I_{HT}	$0,5 \cdot I_H$	2,235 A
		Тормозной ток, В	$1,5 \cdot I_H$	6,705 A
ЗЗГ	U_0	t_1	U_{01G}	- 5 B
		t_2	U_{02G}	- 10 B
		t_3	U_{0G}	- 15 B
	U_{03}	Коэффициент торможения, K_T	1,1	-
ЗПН	$U >$	2ступень	U_{CP2}	$1,4 \cdot U_H$ 140 B
		1 ступень	U_{CP1}	$1,2 \cdot U_H$ 120 B
Защита обратной последовательности от несимметричных к.з. и перегрузок	I_2	СО	$I_{2\text{СИГН}}$	$0,07 \cdot I_H$ 0,313 A
		ПО	$I_{2\text{ПУСК}}$	$0,18 \cdot I_H$ 0,805 A
		OTC I	$I_{2\text{С.З.}}$	$0,17 \cdot I_H$ 0,760 A
Защита от симметричных к.з. и перегрузок	I_1	СО	$I_{1\text{СИГН}}$	$1,07 \cdot I_H$ 4,783 A
		ПО	$I_{1\text{ПУСК}}$	$1,1 \cdot I_H$ 4,917 A
		OTC	$I_{1\text{OTC}}$	$1,224 \cdot I_H$ 5,471 A
ДЗ	$Z <$	1 ступень	Z_I	0,068 0,81 Ом
		2 ступень	Z_{II}	0,34 3,9 Ом
Защита ротора от перегрузки	I_p	СО	$I_{P\text{ СИГН.}}$	$1,07 \cdot I_{HOM,P}$ 4,152 A
		ПО	$I_{P\text{ ПУСК.}}$	$1,1 \cdot I_{HOM,P}$ 4,268 A
		Отсечка	$I_{P\text{ ПУСК.}}$	$2,19 \cdot I_{HOM,P}$ 8,457 A

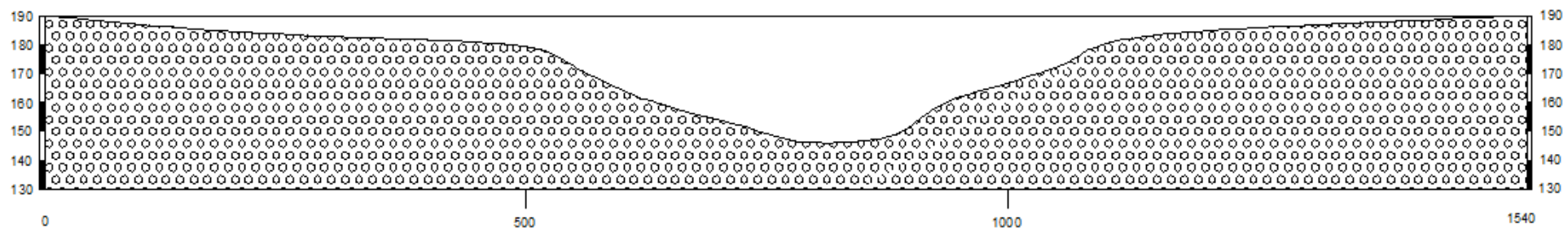
Окончание приложения К

Таблица К.2 – Матрица отключений защит

Защиты				Действие			
Наименование	Обозначение			Отключение В/Г			
Диф. Защита продольная	$I\Delta G$			+	+	Останов турбины и сброс АРЗ	Пуск ПЖТ ГГ
ЗЗГ	U_0	t_1					
		t_2					
		t_3		+	+	+	
ЗПН	$U >$	t		+	+	+	
		1 ступень t_1		+	+		
		2 ступень t_2		+	+		
Защита обратной последовательности от несимметричных к.з. и перегрузок	I_2	СО					
		ИО		+	+		
		OTC I	t_1				+
			t_2				+
			t_3	+	+		
Защита от симметричных к.з. и перегрузок	I_1	СО					
		ИО		+	+		
		OTC	t_1				+
			t_2				+
			t_3	+	+		
ДЗ	$Z <$	1 ступень	t_1				
			t_2				
			t_3	+	+		+
		2 ступень	t_1				
			t_2				
			t_3	+	+		
Защита ротора от перегрузки	I_p	СО					
		ИО		+	+		
		Отсечка		+	+		

ПРИЛОЖЕНИЕ Л

Геологический разрез створа Петровской ГЭС



В основании залегает Песок гравелистый

Рисунок Л.1 – Геологический разрез створа Петровской ГЭС

ПРИЛОДЕНИЕ М

Схема фильтрационного расчета. Эпюра фильтрационного давления.

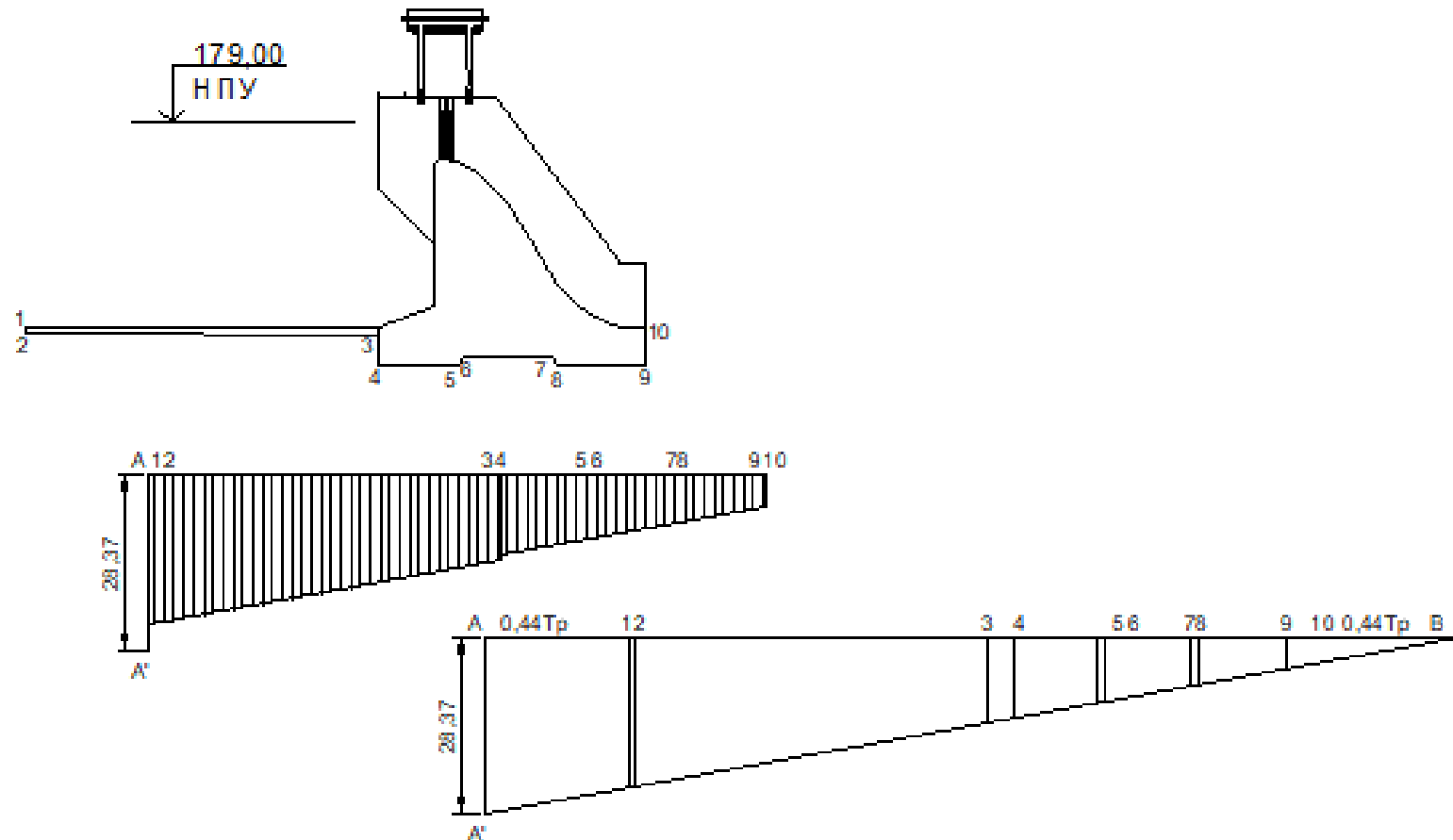


Рисунок М.1 – Схема фильтрационного расчета. Эпюра фильтрационного давления.

ПРИЛОЖЕНИЕ Н

Сбор нагрузок на тело плотины

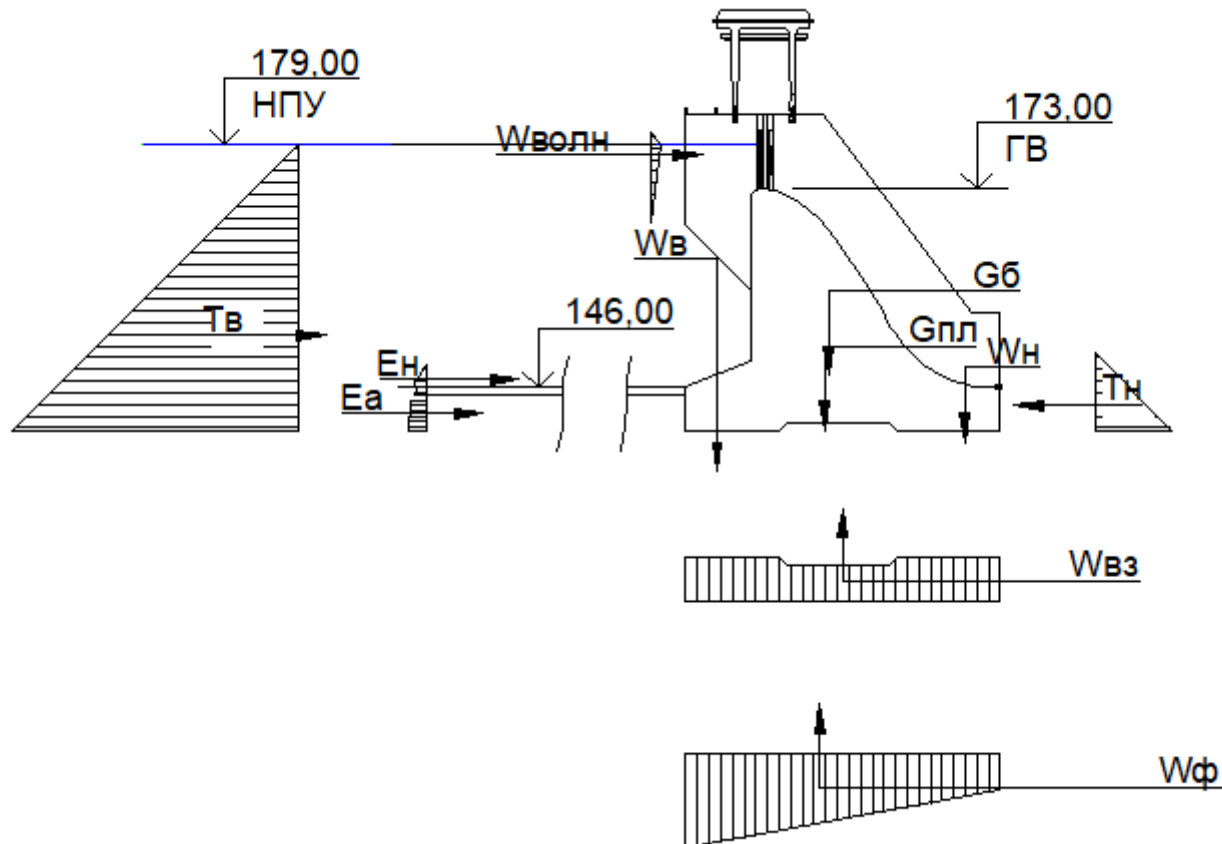


Рисунок Н.1 – Сбор нагрузок на тело плотины

ПРИЛОЖЕНИЕ П

Краевые напряжения в горизонтальных сечениях плотины

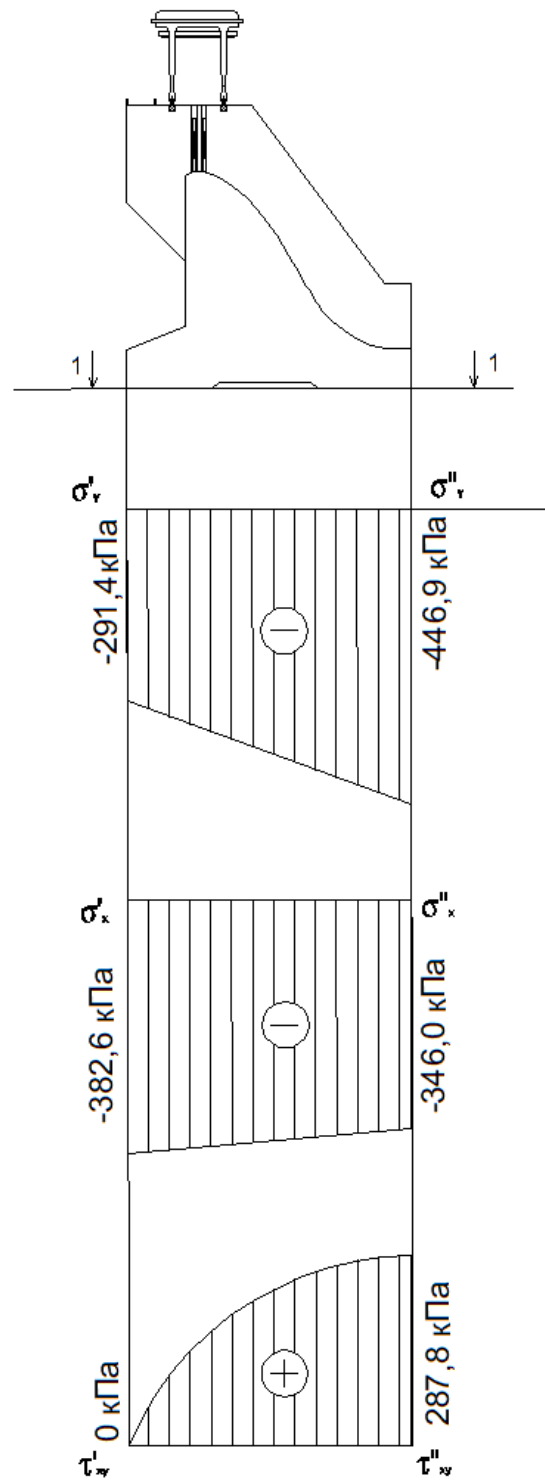
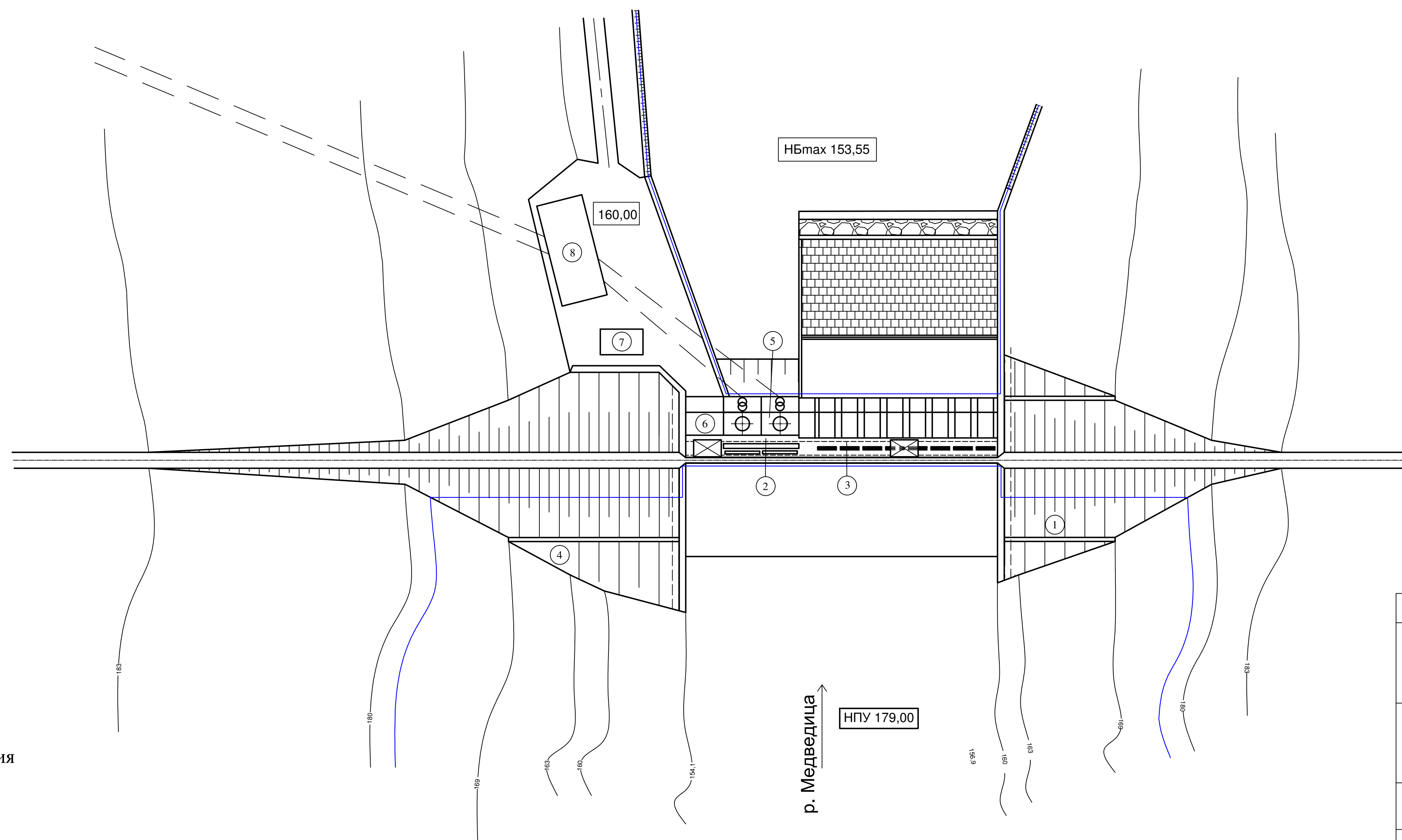


Рисунок П.1 - Краевые напряжения в горизонтальных сечениях плотины

Генеральный план

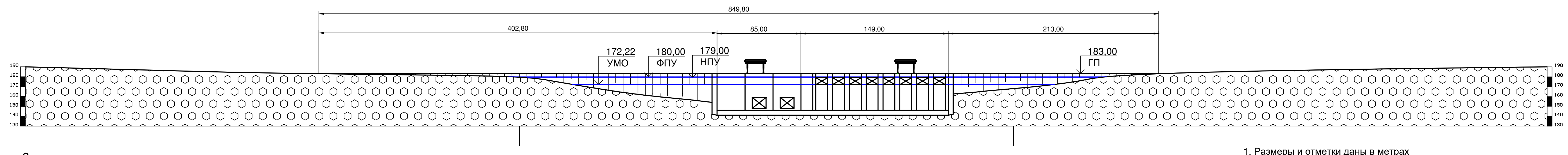
1:2000



Условные обозначения

- Гидрогенератор (Hydrogenerator)
- Трансформатор (Transformer)
- Автодорога (Road)
- Гравийно - песчаный грунт (Gravelly-sandy soil)
- Гравий (Gravel)

Вид с верхнего бьефа



1. Размеры и отметки даны в метрах					
Изм.	Кол.у	Пист	№док	Подпись	Дата
Разраб.		Шеломенцева			
Провер.		Ульянова			
Руковод.					
Проектирование Петровская			Стадия	Лист	Листов
ГЭС на реке Медведица				1	

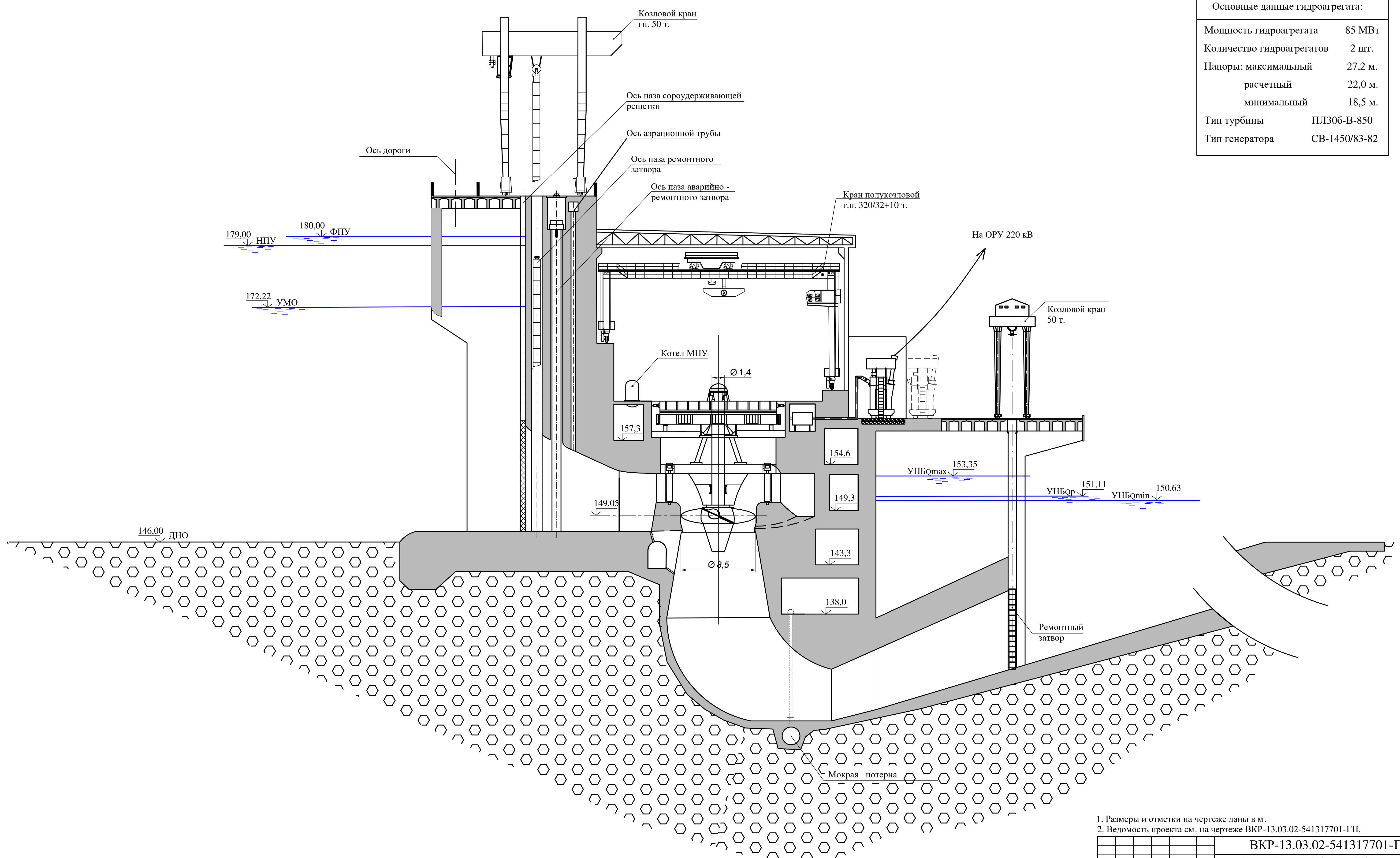
Экспликация зданий и сооружений

№	Наименование
1	Правобережная грунтовая плотина
2	Станционная часть бетонной плотины
3	Бетонная водосливная плотина
4	Левобережная грунтовая плотина
5	Машинный зал
6	Монтажная площадка
7	СТК
8	ОРУ 220 кВ

Ведомость состава проекта

№	Обозначение	Наименование
1	VKP-13.03.02-541317701-ГП	Генеральный план. Вид с верхнего бьефа. Экспликация зданий и сооружений. Ведомость состава проекта.
2	VKP-13.03.02-541317701-ГР1	Станционная плотина и здание ГЭС. Поперечный разрез. Основные характеристики ГА.
3	VKP-13.03.02-541317701-ГР2	Поперечный разрез водосливной плотины
4	VKP-13.03.02-541317701-ГР3	Сбор нагрузок на водосливную часть плотины
5	VKP-13.03.02-541317701-ЭС1	Главная электрическая схема соединений
6	VKP-13.03.02-541317701-ЭС2	Расчет защит релейной защиты

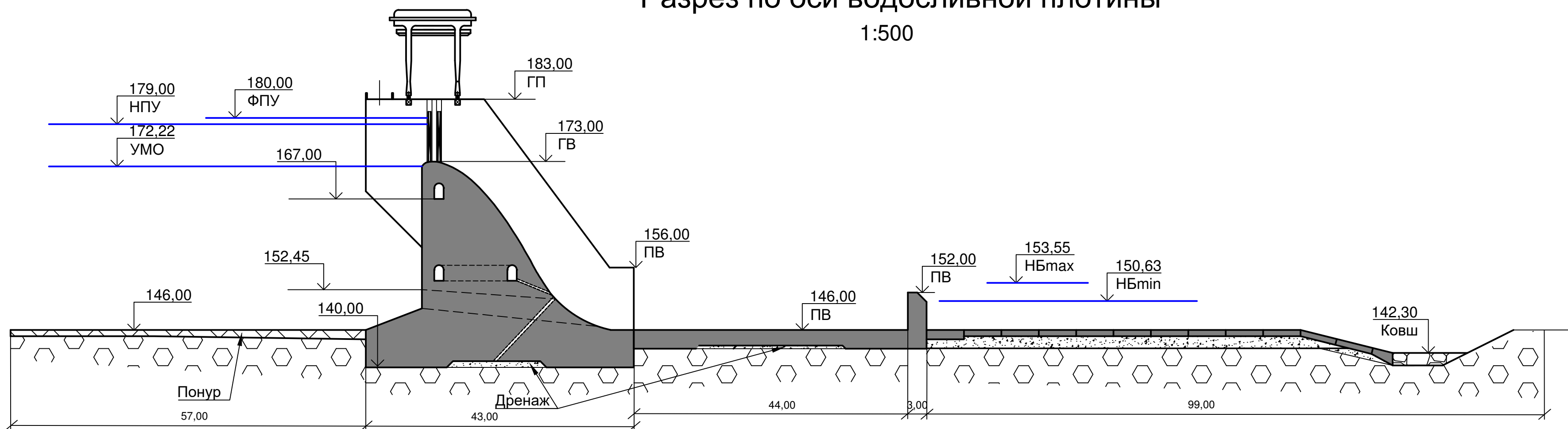
Разрез по оси агрегата
1:200



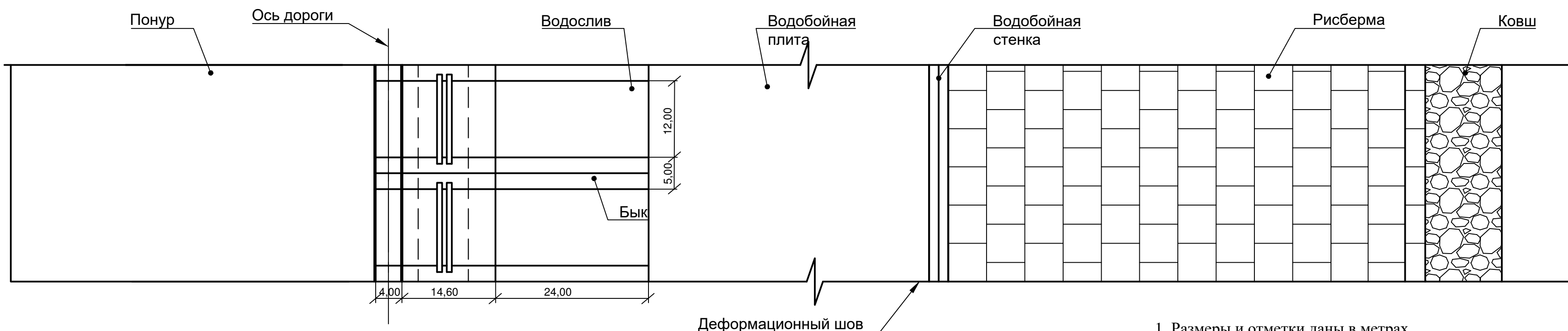
ВКР-13.03.02-541317701-ГР					
Саяно-Шушенский филиал Сибирского федерального университета					
Изм.	Кол.ч	Лист	Ходок	Подпись	Дата
Разраб.	Шеломенцева				
Провер.	Масленникова				
Руковод.					
Н.контр.					
Утв.					
Проектирование Петровской ГЭС на реке Медведица					
Стадия					
Лист					
Листов					
1					
Разрез по оси агрегата					
Кафедра ГМ 2018					

Разрез по оси водосливной плотины

1:500



План водосливной плотины

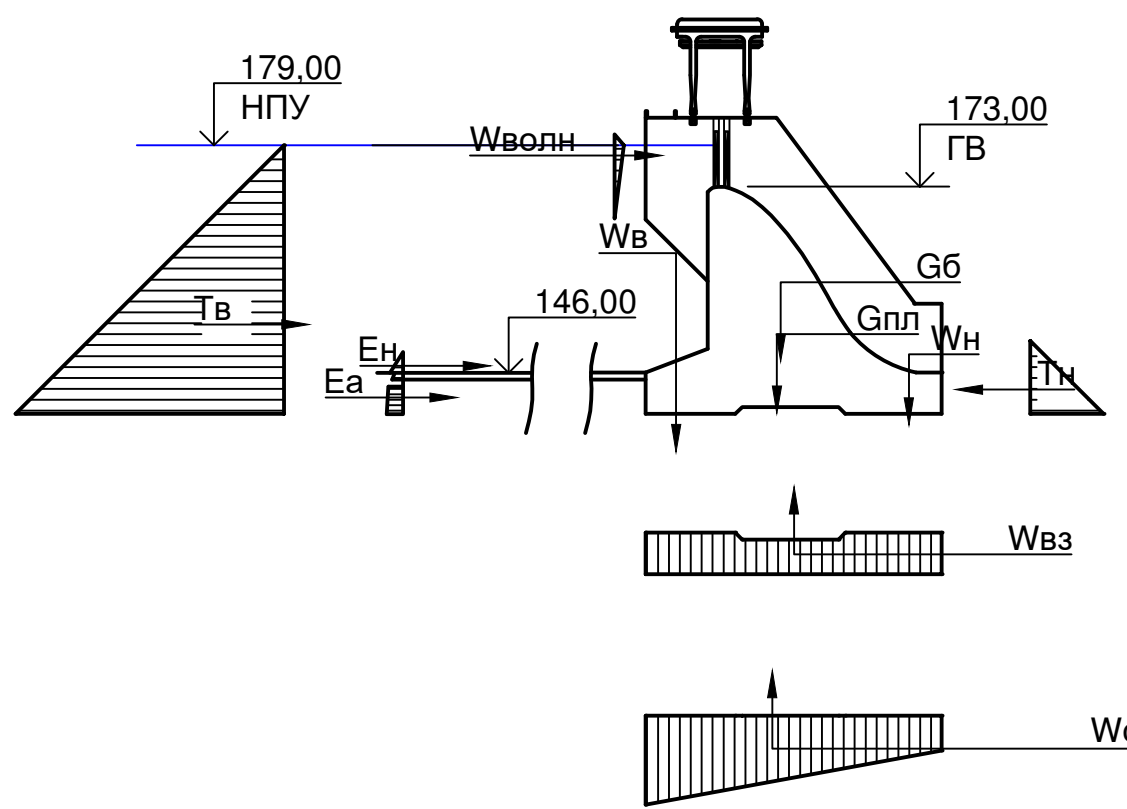
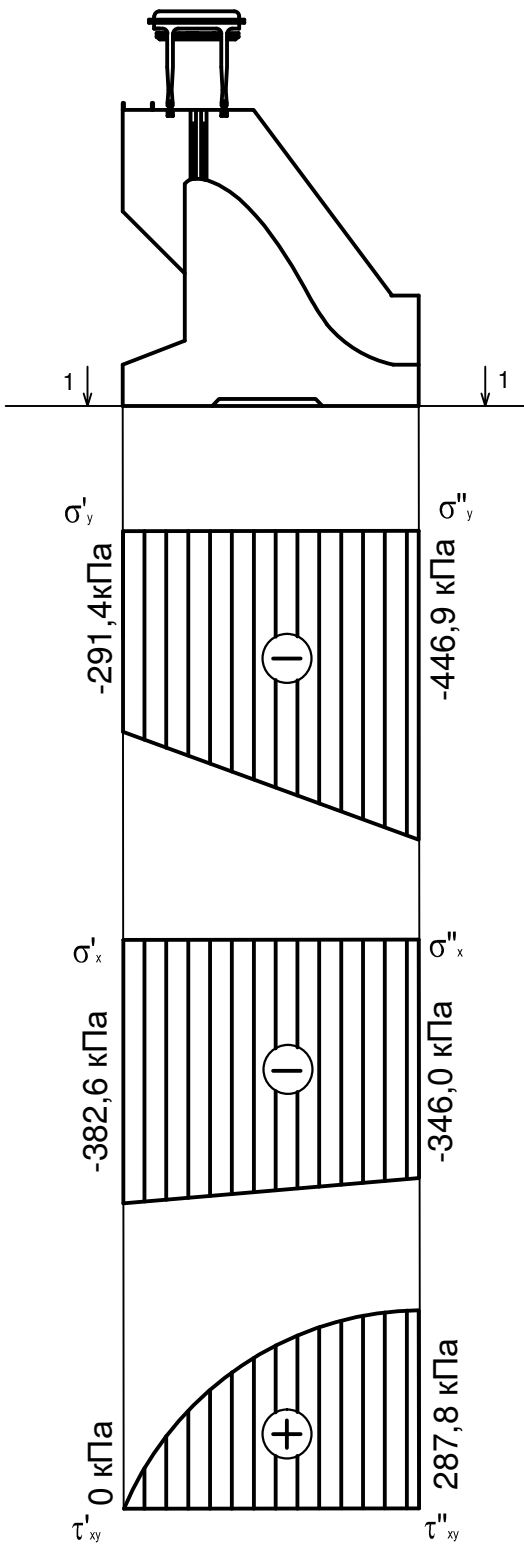


1. Размеры и отметки даны в метрах

ВКР- 13.03.02 - 541317701					
Саяно-Шушенский филиал Сибирского федерального университета					
Изм.	Кол.уч	Лист	Нодок	Подпись	Дата
Разраб.	Шеломенцева				
Провер.	Ульянова				
Руковод.					
Проектирование Петровская ГЭС на реке Медведица			Стадия	Лист	Листов

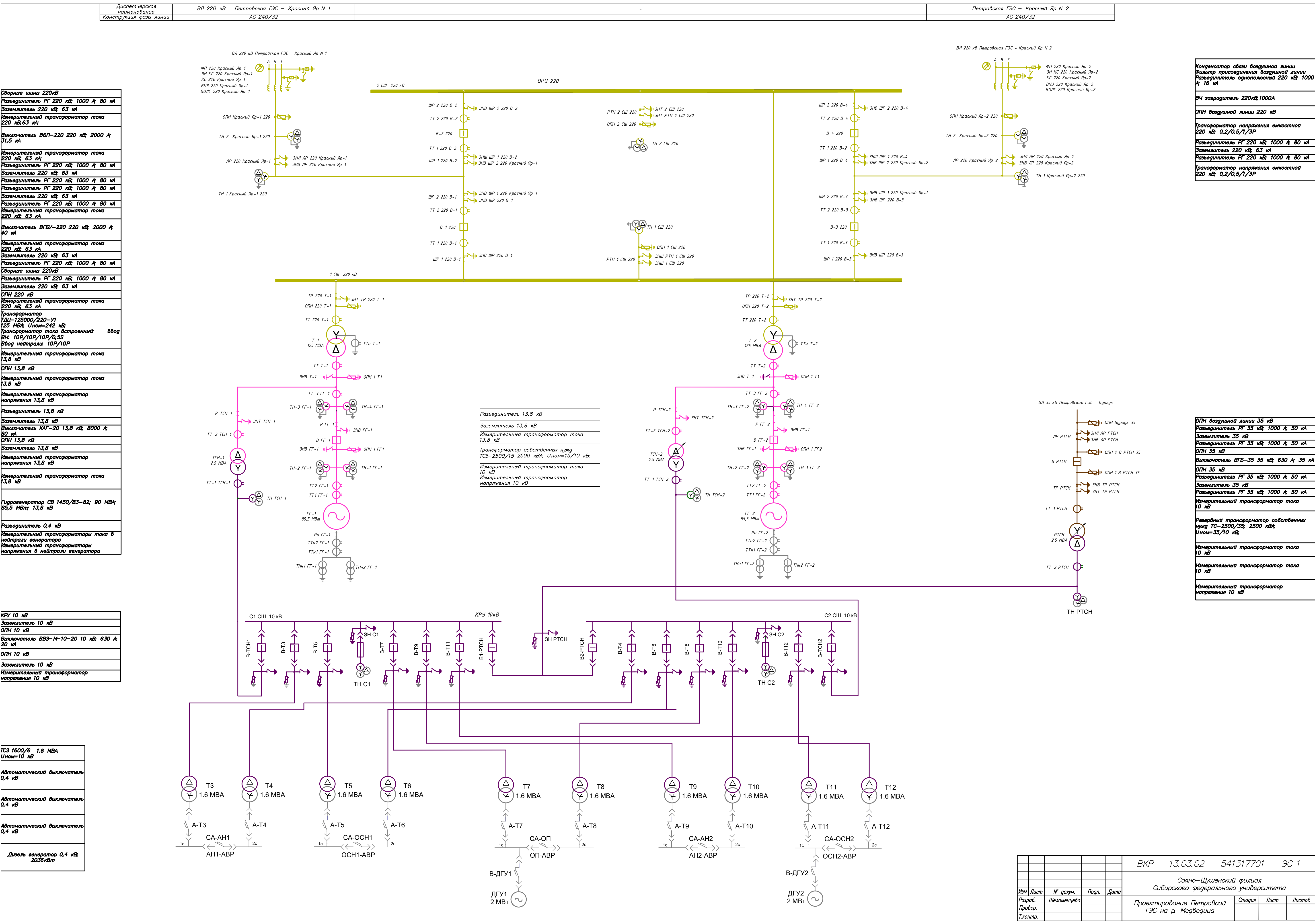
Сбор нагрузок на водоотводную часть плотины

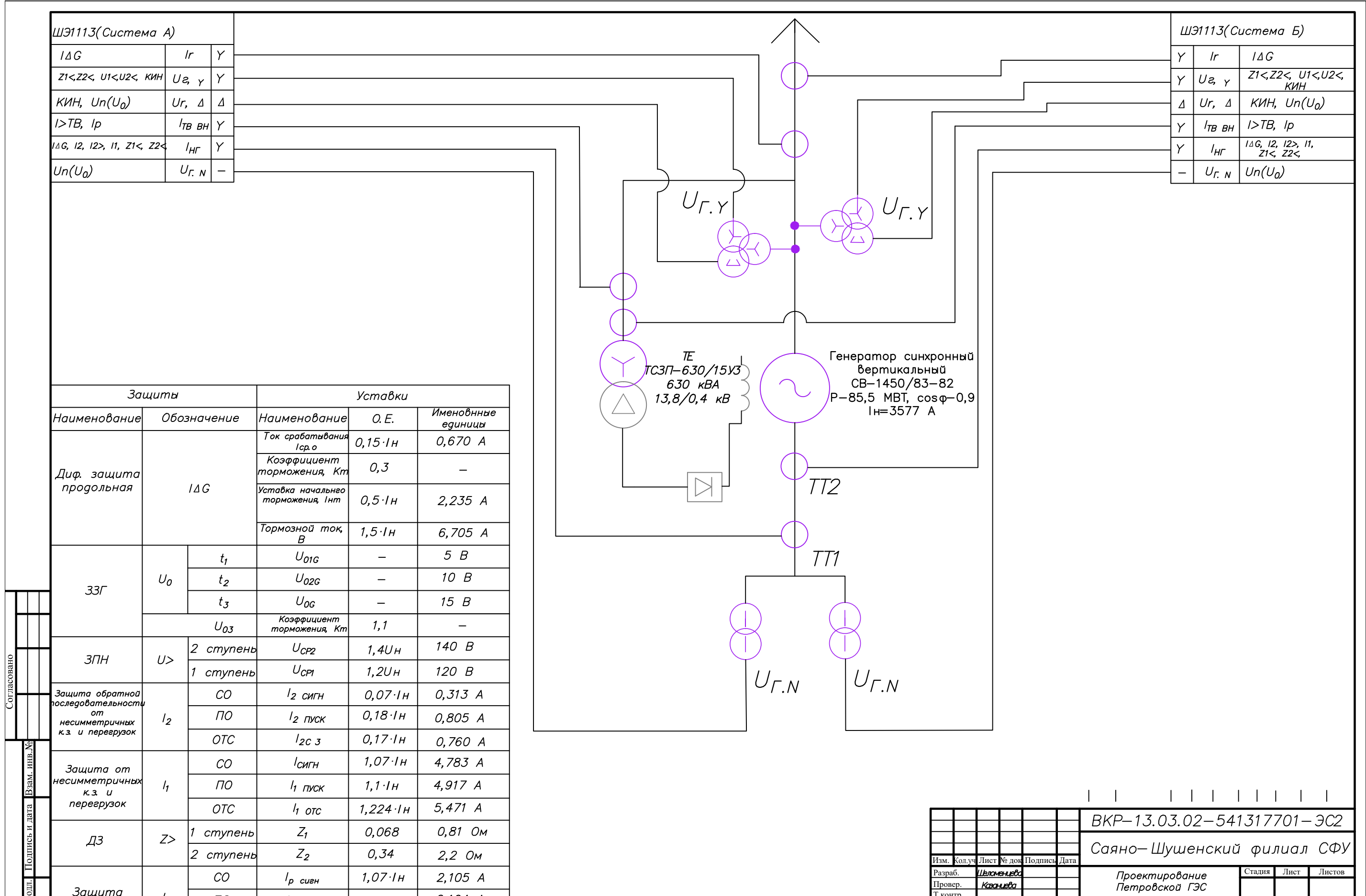
Масштаб 1:1000



1. Размеры и отметки даны в метрах
2. Ведомость проекта см. на чертеже ВКР-13.03.02-541317701-ГП.

ВКР- 13.03.02 - 541317701-ГРЗ					
Саяно-Шушенский филиал Сибирского федерального университета					
Изм.	Кол.у	Лист	№док	Подпись	Дата
Разраб.	Шеломенцева				
Провер.	Ульянова				
Руковод.					
Проектирование Петровской ГЭС на реке Медведица				Стадия	Лист
				Листов	





Петровская ГЭС на реке Медведица

Баланс энергии

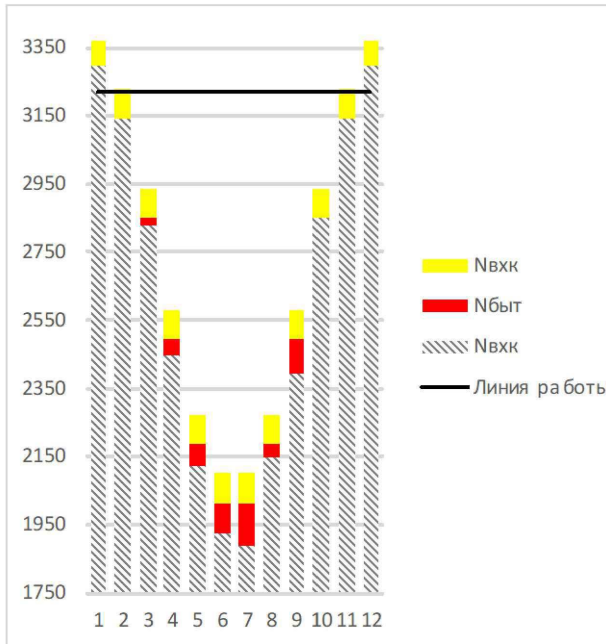
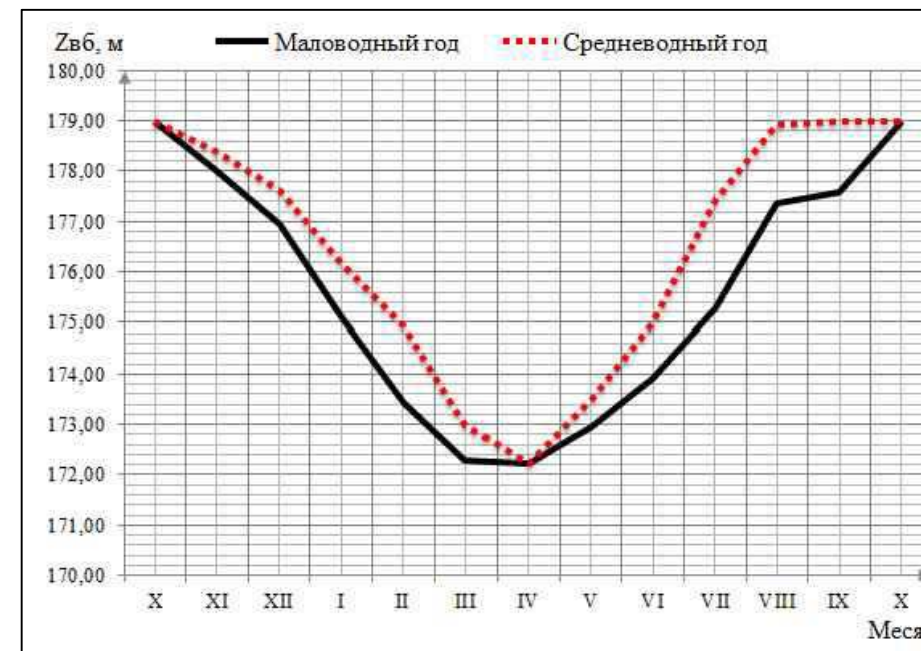


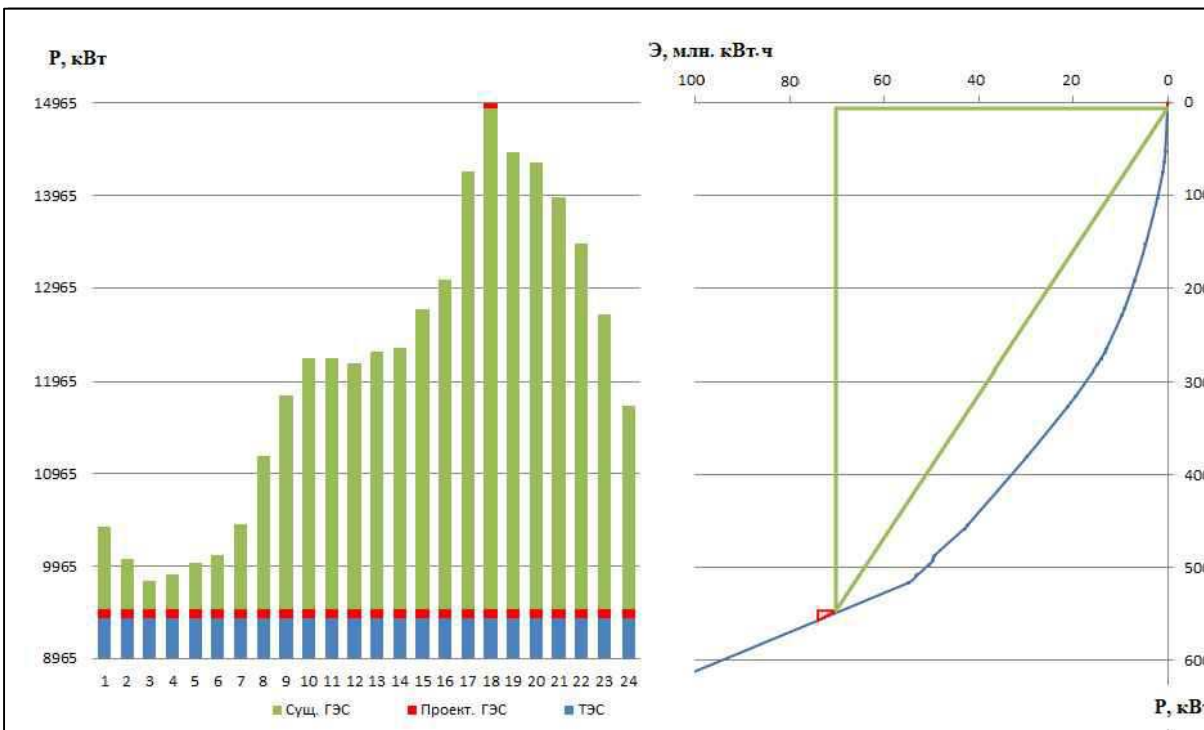
График сработки и наполнения водохранилища



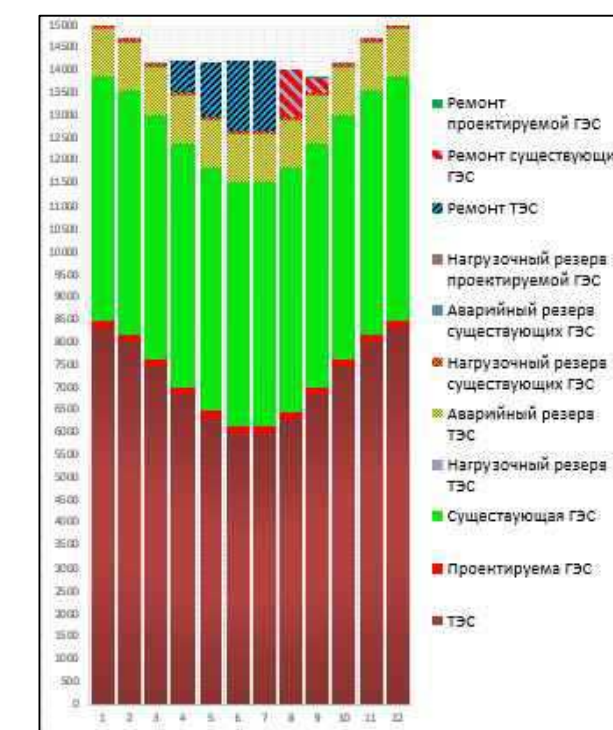
Установленная мощность
ГЭС - 171 МВт

Средняя многолетняя
выработка 1,029 млрд.кВт·ч

Суточный график нагрузки и ИКН зимнего периода



Баланс мощности энергосистемы в маловодном году



Федеральное государственное автономное
образовательное учреждение
высшего образования
«СИБИРСКИЙ ФЕДЕРАЛЬНЫЙ УНИВЕРСИТЕТ»
САЯНО-ШУШЕНСКИЙ ФИЛИАЛ

Кафедра «Гидроэнергетики, гидроэлектростанций, электроэнергетических
систем и электрических сетей»

УТВЕРЖДАЮ

Заведующий кафедрой

И.Ю. Погоняйченко

«15» 06 2018 г.

БАКАЛАВРСКАЯ РАБОТА

13.03.02- Электроэнергетика и электротехника

**Проектирование Петровской ГЭС на реке Медведица. Система
АИИС КУЭ, требования, схемы, датчики, системы сбора,
обработки и представление данных, отчетов, взаимодействие с
СО ЕЭС, ИП АТС**

Руководитель

подпись, дата

ст. преподаватель кафедры

ГГЭС СШФ СФУ

должность

А. М. Волошин

инициалы, фамилия

Выпускник

подпись, дата

М. Л. Шеломеницева

инициалы, фамилия